# (12) ОПИСАНИЕ ИЗОБРЕТЕНИЯ К ЕВРАЗИЙСКОМУ ПАТЕНТУ

(45) Дата публикации и выдачи патента

(51) Int. Cl. *C07K* 14/47 (2006.01)

2022.03.11

(21) Номер заявки

201892085

(22) Дата подачи заявки

2017.03.17

# (54) НОВЫЕ БЕЛКИ, ПОЛУЧЕННЫЕ ИЗ АЛЬФА-1-МИКРОГЛОБУЛИНА, И ИХ ПРИМЕНЕНИЕ

PA 2016 70158 (31)

WO-A2-2010006809 WO-A1-2014037390 (56)

(32) 2016.03.18

(33) DK

(43) 2019.02.28

(86) PCT/EP2017/056436

(87) WO 2017/158181 2017.09.21

(71)(73) Заявитель и патентовладелец:

ГАРД ТЕРАПЬЮТИКС ИНТЕРНЭШНЛ АЙБИ (SE)

(72) Изобретатель:

Розенлёф Лена Вестер, Хегервалль Аннели Эдстрем, Окерстрем Бо (SE)

(74) Представитель:

Медведев В.Н. (RU)

Данное изобретение относится к белку, полученному из альфа-1-микроглобулина, для применения (57) в медицине.

# Область техники, к которой относится изобретение

Настоящее изобретение относится к модифицированным вариантам белка α-1-микроглобулина человека с улучшенными свойствами и применению таких вариантов в лечении и диагностике в медицине. Заявители изобретения неожиданно обнаружили, что интродукция определенных аминокислотных замен и/или добавление определенных N-концевых удлинений обеспечивают улучшенные свойства альфа-1-микроглобулина в отношении стабильности, растворимости и связывания тема.

#### Уровень техники

А1М (α-1-микроглобулин) представляет собой низкомолекулярный белок с фильтрующей функцией для внеклеточной ткани (Ekstrom et al., 1977; Akerstrom and Gram, 2014). Он присутствует во всех тканях и органах у рыб, птиц, грызунов, млекопитающих и других позвоночных. А1М в основном синтезируется в печени, но также на более низком уровне в большинстве других клеток в организме. Он кодируется геном предшественника α1-микроглобулин-бикунина (AMBP) и транслируется во всех клетках и у всех видов как постоянный пептидный предшественник вместе с другим белком, бикунином (Каштеуег et al., 1986). Однако два белка разделяются расщеплением протеазой, процессируются и секретируются в кровь в виде двух разных белков с различными функциями (Lindqvist et al., 1992; Bratt et al., 1993). Причина повсеместного совместного синтеза А1М и бикунина пока неизвестна. В крови примерно 50% А1М находится в свободной мономерной форме, а остальные 50% в виде высокомолекулярных комплексов, ковалентно связанных с иммуноглобулином А, альбумином и протромбином (Berggard et al., 1997).

А1М является однодоменным, гликозилированным белком из 183 аминокислот. Недавно была опубликована кристаллическая структура большого фрагмента A1M, экспрессированного в E.coli (Meining and Skerra, 2012). На основании его структуры A1M относится к белкам семейства липокалинов, которое включает 50 и более членов животного, растительного и бактериального происхождения (Flower, 1996; Akerstrom et al., 2006). Липокалины имеют общую трехмерную структуру, состоящую из восьми антипараллельных β-тяжей, образующих "бочонок" с одним закрытым концом (внизу) и открытым концом (вверху). "Бочонок" функционирует в качестве кармана для гидрофобных лигандов у большинства липокалинов. Четыре петли (петля 1-4), которые составляют внешнюю оболочку открытого конца "бочонка", очень резко различаются по длине и составу между различными липокалинами. Было показано, что в А1М небольшое количество боковых групп аминокислот, расположенных в этих петлях или на внутренней стороне кармана, имеет важное значение для проявления установленных функций белка. Таким образом, свободный цистеин С34, расположенный в короткой спирали в петле 1, обладает отрицательным редокс-потенциалом и обеспечивает редуктазные свойства A1M (Allhorn et al., 2005). Было показано, что два остатка тирозина, Y22 и 132, ковалентно модифицируются продуктами свободнорадикального окисления in vitro (Åkerström et al., 2007). Четыре лизиновых остатка, K69, 92, 118 и 130, регулируют редуктазную активность (Allhorn et al., 2005), оказывают влияние на связывание свободных групп гема (Rutardottir et al., 2015) и ковалентно модифицируются в A1M, выделенном из мочи и амниотической жидкости человека низкомолекулярными желто-коричневыми гетерогенными веществами (Berggard et al., 1999; Sala et al., 2004).

За счет редуктазной активности, способности гасить радикалы и связывания гема, А1М функционирует в качестве антиоксиданта, который защищает клетки и ткани от окислительного повреждения. Показано, что А1М защищает in vitro культуры клеток крови, ткань плаценты и кожи от окислительного повреждения, вызванного гемоглобином, гемом и активными формами кислорода (ROS) (Olsson et al., 2008; May et al., 2011; Olsson et al., PloS One, 2011, Olsson et al., ARS 2012). А1М также показал протективные эффекты in vivo у крыс и кроликов от повреждения плаценты и почек после инфузии гемоглобина (Sverrison et al., 2014; Nääv et al., 2015). В серии сообщений было показано, что гемоглобин и окислительный стресс вовлечены в патогенез преэклампсии, серьезного осложнения при беременности (Centlow et al., 2008; Hansson et al., 2013), и уровни мРНК и белка А1М в печени, плаценте и плазме повышены у беременных женщин с преэклампсией (Olsson et al., 2010; Anderson et al., 2011). Следовательно, было высказано предположение, что А1М можно использовать в качестве терапевтического агента для лечения беременных женщин с преэклампсией в целях ослабления окислительного повреждения и, следовательно, клинических симптомов заболевания (Olsson et al., 2010).

Разработан способ получения рекомбинантного человеческого A1M в E.coli, и было показано, что он обладает редуктазными, связывающими радикалы и связывающими гем свойствами (Kwasek et al., Allhorn et al., 2002, 2005; Åkerström et al., 2007). Действительно, данный рекомбинантный вариант A1M показал терапевтические эффекты in vivo на модели преэклампсии на овцах (Wester-Rosenlöf et al., 2014). Однако, несмотря на то, что он является функциональным, в экспрессированном в E.coli рекомбинантном A1M отсутствует гликозилирование, и он обладает низкой растворимостью и стабильностью по сравнению с человеческим A1M, выделенным из мочи или плазмы. Отсутствие стабильности и растворимости белка ограничивает его применение в качестве лекарственного средства для использования человеку, главным образом, за счет трудностей с получением высококонцентрированных растворов и обеспечением длительного хранения в буферах в условиях физиологических значений рН и концентрации солей.

Следовательно, существует потребность в разработке белка со структурным сходством с человеческим А1М, но с улучшенными свойствами в отношение стабильности и растворимости. Более того, необходимо, чтобы белок было относительно легко получать в количествах, подходящих для терапевтического применения.

#### Подробное описание изобретения

Настоящее изобретение относится к новым белкам альфа-1-микроглобулина с улучшенными профилями стабильности и растворимости.

Сайт-направленный и аддитивный мутагенез использовали для получения генно-инженерных видов А1М с сохраненными или, возможно, более высокими функциональными свойствами, но с улучшенной стабильностью и растворимостью белка, которые обеспечивают длительное хранение при высоких концентрациях в физиологических буферах.

Как следует из приведенных здесь примеров, следовали четырем направлениям обоснования при выборе положений и идентичностей мутантных аминокислотных боковых групп.

- 1) Экспрессировали гомологи животных разных видов с различной предполагаемой экологической нагрузкой с точки зрения окислительного стресса, температуры, давления кислорода (N=12).
- 2) Вводили единичные аминокислотные замены, которые часто встречаются среди 56 секвенированных гомологов А1М в положениях, расположенных в петлях 1-4 или внутренней поверхности гидрофобного кармана, в конструкцию человеческого гена и экспрессировали варианты (N=3).
- 3) Добавляли или удаляли благоприятно расположенные остатки лизина или тирозина на основе гипотезы о том, что они могут оказывать влияние на pKa тиолила C35 (Allhorn et al., 2005) или служить в качестве сайтов захвата свободных радикалов (Berggård et al., 1999; Sala et al., 2004; Åkerström et al., 2007) (N=5).
- 4) Кроме того, исследовали влияние N-концевых, заряженных и гидрофильных удлинений в некоторых вариантах А1М. Обоснованием для конструирования тестируемых N-концевых удлинений было добавление 1) метки для очистки (например, His-метки), 2) линкера для отделения метки от белкового кора А1М, 3) нескольких (1-5) заряженных аминокислотных боковых групп, обеспечивающих гидрофильные свойства белка, для достижения максимальной стабильности и растворения в водных растворах, 4) без нарушения физиологических функций А1М.

Проект разделяли на три основных фазы.

Фаза I) экспрессия 27 вариантов A1M, описанных выше, с последующим анализом растворимости, стабильности и функции.

Фаза II) конструирование, экспрессия и анализ нескольких вариантов A1M с предполагаемыми оптимальными свойствами на основе результата фазы 1.

Фаза III) конструирование, экспрессия и анализ немутантного A1M дикого типа (wt) и наиболее успешного мутантного варианта А1М, имеющего N-концевые, заряженные и гидрофильные удлинения или без них.

Как здесь будет пояснено более подробно, настоящее изобретение относится к белку, полученному из A1M, имеющему аминокислотную последовательность формулы I:

```
X^{1}-X^{2}-X^{3}-X^{4}-X^{5}-X^{6}-X^{7}-X^{8}-X^{9}-X^{10}-X^{11}-X^{12}-X^{13}-X^{14}-GPVPTPPDN
X^{15}-IS
      RIYGKWYNLA IGSTCPWLKK I-X16-DRMTVSTL VLGEGATEAE ISMTST-X17-
     WRK GVCEETSGAY EKTDTDGKFL YHKSKW-X18-ITM ESYVVHTNYD EY-
     AIFLTKKF SRHHGPTITA KLYGRAPQLR ETLLQDFRVV AQGVGIPEDS IFT-
     MADRGEC VPGEQEPEPI LIPR (формула I)
```

где присутствует по меньшей мере один X и (в пояснении приведены предложения для дополнительных замен) и

```
X^1 отсутствует или представляет Met или N-формил-Met;
```

 $X^2$  отсутствует или представляет His;

X<sup>3</sup> отсутствует или представляет His;

 $X^4$  отсутствует или представляет His;

 $X^5$  отсутствует или представляет His;

 $X^6$  отсутствует или представляет His;

 $X^7$  отсутствует или представляет His;

X<sup>8</sup> отсутствует или представляет His;

X<sup>9</sup> отсутствует или представляет His;

X<sup>10</sup> отсутствует или выбран из Asp и Glu, Lys и Arg;

 $X^{11}$  отсутствует или выбран из Asp и Glu, Lys и Arg;

X<sup>12</sup> отсутствует или выбран из Asp и Glu, Lys и Arg;

X<sup>13</sup> отсутствует или выбран из Asp и Glu, Lys и Arg;

 $X^{14}$  отсутствует или представляет Lys или Glu, Asp или Arg или Met или N-формил-Met ;

```
X^{15} представляет Asp или Asn или Glu;
```

или его фармацевтически приемлемой соли,

при условии, что, когда все  $X^1$ - $X^{14}$  отсутствуют, то  $X^{15}$  представляет Asn,  $X^{16}$  представляет Met и  $X^{17}$  представляет Arg, то тогда  $X^{18}$  не может быть Asn.

Изобретение также обеспечивает производное A1M, т.е.  $X^{1}$ - $X^{14}$ -A1M, где A1M может быть любым А1М, полученным из видов, указанных в табл. 2 (т.е. человека, мыши, голого землекопа, лягушки, цыпленка, кролика, беличьей обезьяны, моржа, ламантина, камбалы и орангутанга). Заявители настоящего изобретения обнаружили, что включение X<sup>1</sup>-X<sup>14</sup> придает улучшенные свойства, по меньшей мере, человеческому А1М, и соответственно предполагается, что эта исходная последовательность также может придавать важные улучшенные свойства для A1M из других видов или рекомбинантному с видовой специфичностью А1М.

Настоящее изобретение также обеспечивает белок, полученный из A1M, имеющий аминокислотную последовательность формулы II:

```
X^{1}-X^{2}-X^{3}-X^{4}-X^{5}-X^{6}-X^{7}-X^{8}-X^{9}-X^{10}-X^{11}-X^{12}-X^{13}-X^{14}-GPVPTPPDN
X<sup>15</sup>-IS RIYGKWYNLA IGSTCPWLKK I-X<sup>16</sup>-DRMTVSTL VLGEGATEAE ISMTST-X<sup>17</sup>-
WRK GVCEETSGAY EKTDTDGKFL YHKSKW-X<sup>18</sup>-ITM ESYVVHTNYD
SRHHGPTITA
                   KLYGRAPQLR
                                      ETLLQDFRVV
                                                         AQGVGIPEDS
                                                                            I FTMADRGEC
VPGEQEPEPI (формула II)
```

где присутствует по меньшей мере один X и (в пояснении приведены предложения для дополнительных замен) и

```
X<sup>1</sup> отсутствует или представляет Met или N-формил-Met;
```

- $X^2$  отсутствует или представляет His;
- X<sup>3</sup> отсутствует или представляет His;
- X<sup>4</sup> отсутствует или представляет His;
- $X^5$  отсутствует или представляет His;
- $X^6$  отсутствует или представляет His:
- $X^7$  отсутствует или представляет His:
- $X^8$  отсутствует или представляет His;
- $X^9$  отсутствует или представляет His:
- X<sup>10</sup> отсутствует или выбран из Asp и Glu, Lys и Arg;
- X<sup>11</sup> отсутствует или выбран из Asp и Glu, Lys и Arg;
- $X^{12}$  отсутствует или выбран из Asp и Glu, Lys и Arg;
- $X^{13}$  отсутствует или выбран из Asp и Glu, Lys и Arg;
- ${\rm X}^{14}$  отсутствует или представляет Lys или Glu, Asp или Arg или Met или N-формил-Met;
- X<sup>15</sup> представляет Asp или Asn или Glu;
- $X^{16}$  представляет Меt или Lys или Arg;  $X^{17}$  представляет Arg или His или Lys;
- X<sup>18</sup> представляет Asp или Asn или Glu;

или его фармацевтически приемлемую соль,

при условии, что, когда все  $X^1$ - $X^{14}$  отсутствуют,  $X^{15}$  представляет Asn,  $X^{16}$  представляет Met и  $X^{17}$ представляет Arg, то тогда  $X^{18}$  не может быть Asn.

Изобретение также обеспечивает производное A1M, т.е.  $X^1$ - $X^{14}$ -A1M, где A1M может быть любым А1М, полученным из видов, указанных в табл. 2 (т.е. человека, мыши, голого землекопа, лягушки, курицы, кролика, беличьей обезьяны, моржа, ламантина, камбалы и орангутанга), где А1М усечен на С-конце таким образом, что последовательность С-концевого тетрапептида LIPR не является частью белка.

Как следует из приведенных здесь примеров, заявители настоящего изобретения обнаружили, что

- і) исходная последовательность  $X^{1}$ - $X^{14}$ , по-видимому, придает улучшенные свойства AIM;
- іі) точечная мутация M41K, R66H или N17,96D молекулы A1M придает повышенную стабильность с сохраненной функцией А1М;
- iii) мутации (M41K+R66H), (M41K+N17,96D), (R66H+N17,96D) и/или (M41K+R66H+N17,96D) придают повышенную растворимость и/или стабильность с сохраненной функцией;
- iv) мутация (R66H+N17,96D) обеспечивала наилучшую общую фунциональную активность в проведенных экспериментах;
  - v) тестировали A1M с мутациями (R66H+N17,96D) и исходные последовательности

MHHHHHHHGGGGGGGEGEG (M8H5GIEGR),

MHHHHHHDDDDK (M8H4DK),

X<sup>16</sup> представляет Met или Lys или Arg;

 $X^{17}$  представляет Arg или His или Lys;

X<sup>18</sup> представляет Asp или Asn или Glu;

# МНННННDDDDK (M6H4DK) или МННННННН (M8H)

в виде N-концевых последовательностей, и варианты белка с мутацией M8H4DK в виде N-концевой последовательности показали более высокую растворимость и/или стабильность по сравнению с другими N-концевыми удлинениями;

vi) усечение С-конца A1M, по-видимому, способствует улучшению связывания и деградации гема.

Интересно отметить, что последовательность данного N-концевого удлинения напоминает Hisметку с сайтом расщепления энтерокиназой, но она не обладает способностью отщеплять His-метку из A1M, поскольку не включена аминокислота Ala. Наличие Ala в DDDKA указывает на сайт расщепления энтерокиназой. Таким образом, предполагается, что сама N-концевая последовательность придает A1M улучшенные свойства в отношение стабильности и растворимости белка, когда за повторами Hisостатков следуют пять заряженных аминокислот.

Исходя из этих наблюдений, предполагается, что изменение белка A1M согласно указанным выше направлениям обеспечивает белки с функциональными свойствами A1M, но с улучшенными характеристиками относительно стабильности и/или растворимости.

Таким образом, настоящее изобретение относится ко всем возможным комбинациям A1M, содержащим  $X^1$ - $X^{18}$ , как описано выше.

Более конкретно, следующие белки, полученные из A1M, входят в объем настоящего изобретения, при этом все белки могут быть полноразмерными, соответствующими человеческому A1M дикого типа; или могут быть усечены на C-конце, т.е. без LIPR.

	Положение в hA1M						
Метка	Мутации		Соединен ие	X1	X2	Х3	X4
			1	Met/Oтсутств	His/Отсутствуе	His/Отсутстве	His/OTCYTCTB
Максималы	но широкое требование			yer	T	T	T
6-His	'в последовательности' могут быть любыми	мутации	2	(f)Met	His	His	His
8-His	'в последовательности' могут быть любыми	мутации	3	(f)Met	His	His	His
Без метки;	'в последовательности' могут быть любыми	мутации	4	Отсутствует	Отсутствует	Отсутствует	Отсутствует
Любая метка	M41K		5	Met/отсутств	His/отсутствет	His/отсутстве	His/orcyrcrs
Любая метка	N17,96D		6	Met/отсутств ет	His/отсутствет	His/отсутстве	His/orcyrcrs
Без метки	N17D		7	Отсутствует	Отсутствует	Отсутствует	Отсутствует
Без метки	N17,96D		8	Отсутствует	Отсутствует	Отсутствует	Отсутствует
Без метки	N96D		9	Отсутствует	Отсутствует	Отсутствует	Отсутствует
Без метки	N17,96D, R66H		10	Отсутствует	Отсутствует	Отсутствует	Отсутствует
Бер метки	M41K		11	Отсутствует	Отсутствует	Отсутствует	Отсутствует
Без метки	R66H		12	Отсутствует	Отсутствует	Отсутствует	Отсутствует
Без метки	N17,96D, M41K, R66H		13	Отсутствует	Отсутствует	Отсутствует	Отсутствует
Без метки	N17D, R66H		14	Отсутствует	Отсутствует	Отсутствует	Отсутствует
Без метки	R66H, N96D		15	Отсутствует	Отсутствует	Отсутствует	Отсутствует
Без метки	M41K, R66H		16	Отсутствует	Отсутствует	Отсутствует	Отсутствует
Без метки	N17,96D, M41K		17	Отсутствует	Отсутствует	Отсутствует	Отсутствует
Без метки	N17D, M41K		18	Отсутствует	Отсутствует	Отсутствует	Отсутствует
Без метки	M41K, N96D		19	Отсутствует	Отсутствует	Отсутствует	Отсутствует
Любая метка	N17,96D, R66H		20	Met/Oтсутств yer	His/Отсутствуе	His/OTCYTCTBY eT	His/OTCYTCTBY
	N17D, M41K, R66H		21	OTCYTCTBYET	Отсутствует	Отсутствует	Отсутствует
	M41K, R66H, N96D		22	Отсутствует	Отсутствует	Отсутствует	Отсутствует
6His	N17D		23	(f)Met	His	His	His
6His	N17,96D		24	(f)Met	His	His	His
6His	N96D		25	(f)Met	His	His	His
6His	N17,96D, R66H		26	(f)Met	His	His	His

	Положение	В	hA1M	
Метка	Мутации			

	Положение в hAlM							
<b>ј</b> етка	Мутации			Соединен ие	X1	X2	Х3	X4
His	M41K			27	(f)Met	His	His	His
His	R66H			28	(f)Met	His	His	His
His	N17,96D, M41K, R6	6Н		29	(f)Met	His	His	His
His	N17D, R66H			30	(f)Met	His	His	His
His	R66H, N96D			31	(f)Met	His	His	His
His	M41K, R66H			32	(f)Met	His	His	His
His	N17,96D, M41K			33	(f)Met	His	His	His
His	N17D, M41K			34	(f)Met	His	His	His
His	M41K, N96D			35	(f)Met	His	His	His
His	N17D, M41K, R66H			36	(f)Met	His	His	His
His	M41K, R66H, N96D			37	(f)Met	His	His	His
His	N17D			38	(f)Met	His	His	His
His	N17,96D			39	(f)Met	His	His	His
His	N96D			40	(f)Met	His	His	His
His	N17,96D, R66H			41	(f)Met	His	His	His
His	M41K			42	(f)Met	His	His	His
His	R66H			43	(f)Met	His	His	His
His	N17,96D, M41K, R6	6н		44	(f)Met	His	His	His
His	N17D, R66H			45	(f)Met	His	His	His
lis	R66H, N96D			46	(f)Met	His	His	His
lis	M41K, R66H			47	(f)Met	His	His	His
nis His	M41K, R66H N17,96D, M41K			48	(f)Met	His	His	His
iis His	N17,96D, M41K N17D, M41K			49	(f)Met	His	His	His
iis His				50	(f)Met	His	His	His
	M41K, N96D			51	(f)Met	His	His	His
lis	N17D, M41K, R66H			52	(f)Met	His	His	His
His	M41K, R66H, N96D	a-			(1)1100	1110	1113	1112
	Положение в hA1M	Соедин ение (продо		N-концева	я 'метка'			
Метка	Мутации	лжение )	Х5	Х6	х7	X8	Х9	X10
Максима требова		1	His/OTCYTCTB yet	His/OTCYTCTB yeT	His/OTCYTCT Byet	His/OTCYTCT ByeT	His/OTCYTCT Byet	Asp/OTCYTCTBYe T/Glu/Lys/Arg
6-His	последовательности мутации могут быть любыми	2	His	His	His	Отсутствует	Отсутствует	Asp
	в последовательности мутации могут быть	3	His	His	His	His	His	Asp
8-His	любыми в последовательности							
Без метки;	мутации могут быть	4	OTCYTCTBYET	OTCYTCTBYET	OTCYTCTBYET	OTCYTCTBYET		Отсутствует
Любая метка	M41K	5	yer	His/OTCYTCTB yeT	His/OTCYTCT ByeT	His/OTCYTCT ByeT	His/Orcyrcr Byer	Asp/OTCYTCTBYe T/Glu/Lys/Arg
Любая		6		His/Отсутств		His/OTCYTCT		Asp/Отсутствуе
метка Без	N17,96D		yer	ует	вует	вует	вует	T/Glu/Lys/Arg
метки	N17D	7	Отсутствует	Отсутствует	Отсутствует	Отсутствует	Отсутствует	Отсутствует
Без метки	N17,96D	8	Отсутствует	Отсутствует	Отсутствует	Отсутствует	Отсутствует	Отсутствует
Bes		9	Отсутствует	Отсутствует	Отсутствует	Отсутствует	OTCYTCTBVer	Отсутствует
метки Без	N96D							
метки	N17,96D, R66H	10	Отсутствует	Отсутствует	Отсутствует	Отсутствует	Отсутствует	Отсутствует
Без	MAIR	11	Отсутствует	Отсутствует	Отсутствует	Отсутствует	Отсутствует	Отсутствует
метки Без	M41K	12	Отсутствует	Отсутствует	Отсутствует	Отсутствует	Отсутствует	Отсутствует
метки Без	R66H	13	Отсутствует	Отсутствует	Отсутствует	Отсутствует		Отсутствует
метки Без	N17,96D, M41K, R66H							
метки	N17D, R66H	14	Отсутствует	Отсутствует	Отсутствует	Отсутствует	Отсутствует	Отсутствует
Без	R66H, N96D	15	Отсутствует	Отсутствует	Отсутствует	Отсутствует	Отсутствует	Отсутствует
метки								
		16	Отсутствует	Отсутствует	Отсутствует	Отсутствует	Отсутствует	OTCVTCTRVeT
Без	M41K, R66H	10	110,101byCT	110,101ByCT	110,101byCT		LICHLOIDYCT	,
метки		17	Отсутствует	Отсутствует	Отсутствует	Отсутствует	Отсутствует	Отсутствует
метки Без	N17,96D, M41K		0	Отсутствует	Отсутствует	Отсутствует	Отсутствует	OTCYTCTBVeT
метки Без метки Без		18	UTCYTCTRVET			,,		
метки Без метки Без метки	N17,96D, M41K N17D, M41K	18	Отсутствует					
метки Без метки Без		18 19	Отсутствует	Отсутствует	Отсутствует	Отсутствует	Отсутствует	OTCYTCTBYET
метки Без метки Без метки Без метки Любая метка	N17D, M41K				Отсутствует His/Отсутст вует	Отсутствует Ніs/Отсутст вует		Asp/OTCYTCTBYE T/Glu/Lys/Arg
метки Без метки Без метки Без метки Любая	N17D, M41K M41K, N96D	19	Отсутствует Ніs/Отсутств	His/OTCYTCTB	His/OTCYTCT	His/Orcyrcr	His/OTCYTCT	Asp/Oтсутствуе т/Glu/Lys/Arg
метки Без метки Без метки Без метки Любая метка Без метки	N17D, M41K M41K, N96D N17,96D, R66H N17D, M41K, R66H	19 20	Отсутствует Ніs/Отсутств ует	His/Oтсутств yet	His/OTCYTCT ByeT	His/Orcyrcr Byer	His/OTCYTCT ByeT	Asp/Oтсутствуе T/Glu/Lys/Arg Отсутствует
метки Без метки Без метки Без метки Любая метка Без метки Без метки	N17D, M41K M41K, N96D N17,96D, R66H N17D, M41K, R66H M41K, R66H, N96D	19 20 21 22	Отсутствует Ніѕ/Отсутств ует Отсутствует Отсутствует	His/Отсутств ует Отсутствует Отсутствует	His/OTCYTCT BYET OTCYTCTBYET OTCYTCTBYET	His/Отсутст вует Отсутствует Отсутствует	His/OTCYTCT ByeT OTCYTCTBYET OTCYTCTBYET	Asp/OTCYTCTBYE T/Glu/Lys/Arg OTCYTCTBYET OTCYTCTBYET
METKU E83 METKU E83 METKU E83 METKU INGAR METKA E83 METKU E83 METKU E84 METKU 6His	N17D, M41K M41K, N96D N17,96D, R66H N17D, M41K, R66H M41K, R66H, N96D N17D	19 20 21 22 23	Отсутствует Ніѕ/Отсутств ует Отсутствует Отсутствует Ніѕ	His/OTCYTCTB yeT OTCYTCTBYET OTCYTCTBYET His	His/OTCYTCT BYET OTCYTCTBYET OTCYTCTBYET His	His/OTCYTCT	His/Orcytct Byet OrcytctByet OrcytctByet OrcytctByet	Asp/OTCYTCTBYE T/Glu/Lys/Arg OTCYTCTBYET OTCYTCTBYET Asp
метки Без метки Без метки Без метки Любая метка Без метки Без	N17D, M41K M41K, N96D N17,96D, R66H N17D, M41K, R66H M41K, R66H, N96D	19 20 21 22	Отсутствует Ніѕ/Отсутств ует Отсутствует Отсутствует	His/Отсутств ует Отсутствует Отсутствует	His/OTCYTCT BYET OTCYTCTBYET OTCYTCTBYET	His/Отсутст вует Отсутствует Отсутствует	His/OTCYTCT ByeT OTCYTCTBYET OTCYTCTBYET	Asp/OTCYTCTBYE T/Glu/Lys/Arg OTCYTCTBYET OTCYTCTBYET Asp Asp

		Соединени		N-концева	ая 'метка'			
	Положение в hAlM	е (продолже	X5	Х6	x7	Х8	Х9	X10
Метка	Мутации	ние)				Отсутству		
6His	M41K	27	His	His	His	ет Отсутству	T	Asp
6His	R66H	28	His	His	His	ет	T	Asp
6His	N17,96D, M41K, R66H	29	His	His	His	Отсутству ет	T	Asp
6His	N17D, R66H	30	His	His	His	Отсутству ет	Отсутствуе т	Asp
6His	R66H, N96D	31	His	His	His	Отсутству ет	Отсутствуе т	Asp
6His	M41K, R66H	32	His	His	His	Отсутству ет	Отсутствуе т	Asp
		33	His	His	His	Отсутству	Отсутствуе	Asp
6His	N17,96D, M41K	34	His	His	His	ет Отсутству	т Отсутствуе	Asp
6His	N17D, M41K					ет Отсутству	т Отсутствуе	
6His	M41K, N96D	35	His	His	His	ет Отсутству	т Отсутствуе	Asp
6His	N17D, M41K, R66H	36	His	His	His	ет	T	Asp
6His	M41K, R66H, N96D	37	His	His	His	ет	Отсутствуе Т	Asp
8His	N17D	38 39	His His	His His	His His	His His	His His	Asp
8His 8His	N17,96D N96D	40	His	His	His	His	His	Asp Asp
8His	N17,96D, R66H	41	His	His	His	His	His	Asp
8His	M41K	42	His	His	His	His	His	Asp
8His 8His	R66H N17,96D, M41K, R66H	43 44	His His	His His	His His	His His	His His	Asp Asp
8His	N17D, R66H	45	His	His	His	His	His	Asp
8His	R66H, N96D	46 47	His His	His His	His His	His His	His His	Asp
8His 8His	M41K, R66H N17,96D, M41K	47	His	His	His	His	His	Asp Asp
		40					***	
8His 8His	N17D, M41K M41K, N96D	49 50	His His	His His	His His	His His	His His	Asp Asp
8His	N17D, M41K, R66H	51	His	His	His	His	His	Asp
8His	M41K, R66H, N96D	52	His	His	His	His	His	Asp
	Положение в hAlM	Соединени е						
Метка	Мутации	(продолже ние)	2	X11	X12	2	X13	
Максим	мально широкое требование	1		тствует/Gl vs/Ara			Asp/Отсутствуе Ага	T/Glu/Lys/
	мально широкое требование 'в последовательности могут быть любыми	1 мутации 2	u/L	тствует/Gl ys/Arg Asp	Asp/OTCYTC! /Lys/ Asp	Arg	Asp/Отсутствуе Arg Asp	T/Glu/Lys/
6-His	'в последовательности могут быть любыми в последовательности	Nama III a	u/L	ys/Arg	/Lys/	Arg	Arg	T/Glu/Lys/
6-His 8-His Bes	'в последовательности могут быть любыми в последовательности могут быть любыми в последовательности	мутации 2	u/Li	ys/Arg Asp	/Lys/ Asp	Arg p	Arg Asp	
6-His 8-His Без метки; Любая	'в последовательности могут быть любыми в последовательности могут быть любыми в последовательности могут быть любыми	мутации <sub>2</sub> мутации <sub>3</sub>	u/Li	ys/Arg Asp Asp TCTBYET VTCTBYET/Gl	/Lys/ Asp Asp OTCYTCS	Arg o o rbyet rbyet/Glu <i>i</i>	Arg Asp Asp Отсутсты Asp/Отсутствуе	зует
6-His 8-His Без метки; Любая метка Любая	'в последовательности могут быть любыми в последовательности могут быть любыми в последовательности быть любыми могут быть любыми	мутации <sub>2</sub> мутации <sub>3</sub> мутации <sub>4</sub> 5	u/Li	ys/Arg Asp Asp TCTBYET TCTBYET/Gl ys/Arg VTCTBYET/Gl	/Lys/ Asp Asp OTCYTC Asp/OTCYTC /Lys/ Asp/OTCYTC	Arg  p  rByet  rByet/Glu  Arg  rByet/Glu  i	Arg Asp Oтсутств Asp/Отсутствуе Arg Asp/Отсутствуе	syet T/Glu/Lys/
6-His 8-His Без метки; Любая метка	'в последовательности могут быть любыми в последовательности могут быть любыми в последовательности могут быть любыми	мутации 2 мутации 3 мутации 4 5	u/L OTCY Asp/OTCY u/L Asp/OTCY u/L	ys/Arg Asp Asp TCTBYET TCTBYET/G1 ys/Arg TCTBYET/G1 ys/Arg ys/Arg	/Lys/ Asp  OTCYTC: Asp/OTCYTC: /Lys/ Asp/OTCYTC: /Lys/	Arg  p  rByet  rByet/Glu i  Arg  rByet/Glu i  Arg	Arg Asp Asp OTCYTCTBYE Asp/OTCYTCTBYE Arg Asp/OTCYTCTBYE Arg	зует т/Glu/Lys/ т/Glu/Lys/
6-His 8-His Bes Metku; Любая Metka Любая Metka Без Metku	'в последовательности могут быть любыми в последовательности могут быть любыми в последовательности быть любыми могут быть любыми	мутации 2 мутации 3 мутации 4 5 6	u/L OTCY Asp/OTCY u/L Asp/OTCY u/L OTCY	ys/Arg Asp TCTBYET YTCTBYET/Gl ys/Arg YTCTBYET/Gl ys/Arg TCTBYET	/Lys/ Asp  Asp  Orcyte: Asp/Orcyte: /Lys/ Asp/Orcyte: /Lys/	Arg  Present for the second of	Arg Asp Orcyrcte Asp/OrcyrctBye Arg Asp/OrcyrcTBye Arg OrcyrcTE	syet T/Glu/Lys/ T/Glu/Lys/ syet
6-His 8-His Bes Metku; Любая Метка Любая Метка Без Метки Без Метки	'в последовательности могут быть любыми в последовательности могут быть любыми в последовательности могут быть любыми могут быть любыми митя быть любыми митя быть любыми	мутации 2 мутации 3 мутации 4 5 6 7	u/L	ys/Arg Asp Asp TCTBYET TCTBYET TCTBYET/G1 ys/Arg YCTBYET/G1 ys/Arg TCTBYET TCTBYET	/Lys/ Asi Asi OTCYTC: Asp/OTCYTC: /Lya/ Asp/OTCYTC: /Lya/ OTCYTC: OTCYTC:	Arg  D  TBYET  TBYET  TBYET/Glu i  Arg  TBYET/Glu i  TBYET  TBYET	Arg Asp Asp OTCYTCTEYE Arg Asp/OTCYTCTEYE Arg OTCYTCTE OTCYTCTE	syet T/Glu/Lys/ T/Glu/Lys/ Syet
6-His 8-His Bes Metru; Iloбая Metra Iloбая Metra Bes Metru Bes Metru Bes Metru	'в последовательности могут быть любыми в последовательности могут быть любыми в последовательности могут быть любыми могут быть любыми могут быть любыми м41к м17,96D	мутации 2 мутации 3 мутации 4 5 6 7 8 9	u/L	ys/Arg Asp TCTBYET YTCTBYET/Gl ys/Arg YTCTBYET/Gl ys/Arg TCTBYET	/Lys/ Asp  Asp  Orcyte: Asp/Orcyte: /Lys/ Asp/Orcyte: /Lys/	Arg  D  TBYET  TBYET  TBYET/Glu i  Arg  TBYET/Glu i  TBYET  TBYET	Arg Asp OTCYTCTE ASP/OTCYTCTBYE Arg ASP/OTCYTCTBYE Arg OTCYTCTE	syet T/Glu/Lys/ T/Glu/Lys/ Syet
6-His 8-His Bes метки; Любая метка Вез метки Без метки Без метки Без	'в последовательности могут быть любыми в последовательности могут быть любыми в последовательности могут быть любыми в последовательности могут быть любыми м41к м17,96D м17р	мутации 2 мутации 3 мутации 4 5 6 7	u/L OTCY Asp/OTCY u/L; Asp/OTCY U/L; OTCY OTCY	ys/Arg Asp Asp TCTBYET TCTBYET TCTBYET/G1 ys/Arg YCTBYET/G1 ys/Arg TCTBYET TCTBYET	/Lys/ Asi Asi OTCYTC: Asp/OTCYTC: /Lya/ Asp/OTCYTC: /Lya/ OTCYTC: OTCYTC:	Arg  P  P  P  P  P  P  P  P  P  P  P  P  P	Arg Asp Asp OTCYTCTEYE Arg Asp/OTCYTCTEYE Arg OTCYTCTE OTCYTCTE	syet T/Glu/Lys/ T/Glu/Lys/ syet syet
6-His 8-His Без метки; Любая метка Любая метки Без метки Без метки Без метки Без	'в последовательности могут быть любыми в последовательности могут быть любыми в последовательности могут быть любыми в последовательности могут быть любыми м41к м17,96D м17D м17,96D м96D	мутации 2 мутации 3 мутации 4 5 6 7 8 9	u/L; i OTCY ASP/OTCY u/L; OTCY OTCY OTCY	ys/Arg Asp Asp TCTBYeT 'TCTBYeT/Gl ys/Arg 'TCTBYeT/Gl ys/Arg TCTBYET TCTBYET	/Lys/ Asi Asi OTCYTC: Asp/OTCYTC: /Lys/ Asp/OTCYTC: /Lys/ OTCYTC: OTCYTC:	Arg  P  P  P  P  P  P  P  P  P  P  P  P  P	Arg Asp Asp OTCYTCTE Asp/OTCYTCTBye Arg Asp/OTCYTCTBye Arg OTCYTCTE OTCYTCTE	syer T/Glu/Lys/ T/Glu/Lys/ syer syer syer
6-His 8-His Без метки; Любая метка Любая метки Без метки Без метки Без метки Без	'в последовательности могут быть любыми в последовательности могут быть любыми в последовательности могут быть любыми могут быть любыми митя, 96D митя, 96D митя, 96D митя, 96D митя, 96D, как магата	мутации 2 мутации 4 5 6 7 8 9	u/L	ys/Arg Asp Asp TCTBYET 'TCTBYET/Gl ys/Arg TCTBYET/Gl ys/Arg TCTBYET TCTBYET TCTBYET TCTBYET	/Lys/ Asi Asi OTCYTC: Asp/OTCYTC: /Lys/ Asp/OTCYTC: /Lys/ OTCYTC: OTCYTC: OTCYTC:	Arg  P  P  P  P  P  P  P  P  P  P  P  P  P	Arg Asp Asp OTCYTCTE Asp/OTCYTCTBYE Arg OTCYTCTE OTCYTCTE OTCYTCTE	syer T/Glu/Lys/ T/Glu/Lys/ syer syer syer
6-His 8-His Bes метки; Любая метка Любая метка Без метки Без метки Без метки Без метки Без метки Без	'в последовательности могут быть любыми в последовательности могут быть любыми в последовательности могут быть любыми могут быть любыми м41к м17,96D м17D м17,96D м96D м17,96D, R66H м41к	мутации 2 мутации 3 мутации 4 5 6 7 8 9 10	u/L	ys/Arg Asp TCTBYET TCTBYET/TCTBYET/G1 ys/Arg TCTBYET/G1 ys/Arg TCTBYET TCTBYET TCTBYET TCTBYET TCTBYET	/Lys/ Asi Asi OTCYTC: Asp/OTCYTC: /Lys/ Asp/OTCYTC: /Lys/ OTCYTC: OTCYTC: OTCYTC: OTCYTC:	Arg  p  p  rByeT  rByeT/Glu  Arg  rByeT  rByeT  rByeT  rByeT  rByeT  rByeT  rByeT	Arg Asp Asp OTCYTCTE Asp/OTCYTCTBYE Arg OTCYTCTE OTCYTCTE OTCYTCTE OTCYTCTE	oyer T/Glu/Lys/ T/Glu/Lys/ Syer Syer Syer
6-His 8-His Без Метки; Любая метка Любая метка Без метки Без	'в последовательности могут быть любьми в последовательности могут быть любьми в последовательности могут быть любьми могут быть любьми могут быть любьми мини мини мини мини мини мини мини м	мутации 2 мутации 3 мутации 4 5 6 7 8 9 10 11	u/L	ys/Arg Asp Asp TCTBYET TCTBYET/Gl ys/Arg TCTBYET/Gl ys/Arg TCTBYET TCTBYET TCTBYET TCTBYET TCTBYET TCTBYET	/Lys/ Asi Asi Otcytc: Asp/Otcytc: /Lys/ Asp/Otcytc: /Lys/ Otcytc: Otcytc: Otcytc: Otcytc: Otcytc:	Arg  P  P  P  P  P  P  P  P  P  P  P  P  P	Arg Asp OTCYTCTE Asp/OTCYTCTBYe Arg OTCYTCTE OTCYTCTE OTCYTCTE OTCYTCTE OTCYTCTE OTCYTCTE OTCYTCTE	syet T/Glu/Lys/ T/Glu/Lys/ syet syet syet syet
8-His Bes Metky, IMOGAR Metka Bes Metky Bes	'в последовательности могут быть любьми в последовательности могут быть любьми в последовательности могут быть любьми могут быть любьми могут быть любьми митрут быть любьми митрут быть любьми митру бытру быть любьми митру быть любьми митру бытру быть любьми митру	мутации 2 мутации 3 мутации 4 5 6 7 8 9 10 11 12 13	u/L	ys/Arg Asp Asp TCTBYET 'TCTBYET/Gl ys/Arg 'TCTBYET TCTBYET TCTBYET TCTBYET TCTBYET TCTBYET TCTBYET TCTBYET	/Lys/ Asi Asi OTCYTC: Asp/OTCYTC: /Lys/ OTCYTC: OTCYTC: OTCYTC: OTCYTC: OTCYTC: OTCYTC: OTCYTC: OTCYTC:	Arg  P  P  P  P  P  P  P  P  P  P  P  P  P	Arg Asp Asp OTCYTCTE Asp/OTCYTCTBye Arg OTCYTCTE	syet T/Glu/Lys/ T/Glu/Lys/ syet syet syet syet syet
6-His 8-His Bes метки; Любая метка Пюбая метки Вез	'в последовательности могут быть любыми в последовательности могут быть любыми в последовательности это могут быть любыми минк мил, 96D	мутации 2 мутации 3 мутации 4 5 6 7 8 9 10 11 12 13 14	u/L	ys/Arg Asp Asp TCTBYET 'TCTBYET/Gl ys/Arg TCTBYET TCTBYET TCTBYET TCTBYET TCTBYET TCTBYET TCTBYET TCTBYET TCTBYET	/Lys/ Asi Asi OTCYTC: Asp/OTCYTC: /Lys/ Asp/OTCYTC: OTCYTC: OTCYTC: OTCYTC: OTCYTC: OTCYTC: OTCYTC: OTCYTC: OTCYTC: OTCYTC:	Arg  P  P  P  P  P  P  P  P  P  P  P  P  P	Arg Asp Asp OTCYTCTE Asp/OTCYTCTBYE Arg OTCYTCTE	ayer r/Glu/Lys/ r/Glu/Lys/ syer syer syer syer syer syer
8-His Bes Metku; Любая Метка Пюбая Метка Без Метки Без	'в последовательности могут быть любыми в последовательности могут быть любыми в последовательности быть любыми в последовательности быть любыми минк мил, 96D мил минк мил, 96D	мутации 2 мутации 4 5 6 7 8 9 10 11 12 13 14	u/L, i OTCY Asp/OTCY u/L, Asp/OTCY u/L, OTCY OTCY OTCY OTCY OTCY OTCY OTCY OTCY	ys/Arg Asp  TCTBYET  TCTBYET/TCTBYET/G1 ys/Arg  TCTBYET	/Lys/ Asi Asi OTCYTC: Asp/OTCYTC: /Lys/ Asp/OTCYTC: OTCYTC:	Arg  P  P  P  P  P  P  P  P  P  P  P  P  P	Arg Asp Asp OTCYTCTE Asp/OTCYTCTBYE Arg OTCYTCTE	nyer r/Glu/Lys/ r/Glu/Lys/ syer syer syer syer syer syer
8-His Bes Metri, Jiogas Metria Jiogas Metria Bes Metri Bes	'в последовательности могут быть любыми в последовательности могут быть любыми в последовательности могут быть любыми в последовательности могут быть любыми мизг, 96D мизг, 96	мутации 2 мутации 3 мутации 4 5 6 7 8 9 10 11 12 13 14 15 16 17	u/L, i OTCY ASP/OTCY u/L; ASP/OTCY u/L; OTCY OTCY OTCY OTCY OTCY OTCY OTCY OTCY	ys/Arg Asp Asp TCTBYET YCTBYET/Gl ys/Arg TCTBYET	/Lys/ Asi Asi Otcytc: Asp/Otcytc: /Lys/ Asp/Otcytc: /Lys/ Otcytc:	Arg  p  p  p  p  p  p  p  p  p  p  p  p  p	Arg Asp OTCYTCTE Asp/OTCYTCTBYe Arg OTCYTCTE	nyer T/Glu/Lys/ T/Glu/Lys/ Nyer Nyer Nyer Nyer Nyer Nyer Nyer Nyer
8-His Bes Metrin; Jiogas Metria Jiogas Metria Bes Metrin	'в последовательности могут быть любыми в последовательности могут быть любыми в последовательности быть любыми в последовательности быть любыми минк мил, 96D мил минк мил, 96D	мутации 2 мутации 3 мутации 4 5 6 7 8 9 10 11 12 13 14 15 16	u/L, i OTCY ASP/OTCY u/L; ASP/OTCY u/L; OTCY OTCY OTCY OTCY OTCY OTCY OTCY OTCY	ys/Arg Asp  TCTBYET  TCTBYET/TCTBYET/G1 ys/Arg  TCTBYET	/Lys/ Asi Asi OTCYTC: Asp/OTCYTC: /Lys/ Asp/OTCYTC: /Lys/ OTCYTC:	Arg  p  p  p  p  p  p  p  p  p  p  p  p  p	Arg Asp Asp OTCYTCTE Asp/OTCYTCTBYE Arg OTCYTCTE	nyer T/Glu/Lys/ T/Glu/Lys/ Nyer Nyer Nyer Nyer Nyer Nyer Nyer Nyer
8-His Bes Metri, Jiogas Metria Bes Metri Bes	'в последовательности могут быть любыми в последовательности могут быть любыми в последовательности могут быть любыми в последовательности могут быть любыми мизг, 96D мизг, 96	мутации 2 мутации 3 мутации 4 5 6 7 8 9 10 11 12 13 14 15 16 17	u/L, i OTCY: Asp/OTCY u/L, Asp/OTCY U/L, Asp/OTCY OTCY:	ys/Arg Asp Asp TCTBYET 'TCTBYET/Gl ys/Arg TCTBYET	/Lys/ Asi Asi OTCYTC: Asp/OTCYTC: /Lys/ OTCYTC:	Arg  P  P  P  P  P  P  P  P  P  P  P  P  P	Arg Asp Asp OTCYTCTE Asp/OTCYTCTBYE Arg OTCYTCTE	Byer T/Glu/Lys/ T/Glu/Lys/ Byer Byer Byer Byer Byer Byer Byer Byer
8-His Bes метки; Любая метка Вез метки Вез	'в последовательности могут быть любыми в последовательности могут быть любыми в последовательности телем быть любыми в последовательности телем быть любыми минк мину быть любыми минк мину быть любыми минк мину быть любыми минк мину быть любыми минк минк минк минк минк минк минк ми	мутации 2 мутации 3 мутации 4 5 6 7 8 9 10 11 12 13 14 15 16 17	u/L; i OTCY Asp/OTCY u/L; Asp/OTCY U/L; OTCY OTCY OTCY OTCY OTCY OTCY OTCY OTCY	ys/Arg Asp Asp TCTBYET 'TCTBYET/Gl ys/Arg TCTBYET	/Lys/ Asi Asi OTCYTC: Asp/OTCYTC: /Lys/ OTCYTC:	Arg  p  p  rByeT  rByeT/Glu  Arg  rByeT	Arg Asp  Asp  OTCYTCTE Asp/OTCYTCTBYE Arg OTCYTCTE	Byer T/Glu/Lys/ T/Glu/Lys/ Byer Byer Byer Byer Byer Byer Byer Byer
8-His Bes Metki; Ilodar Metka Bes Metki	'в последовательности могут быть любыми в последовательности могут быть любыми в последовательности могут быть любыми в последовательности могут быть любыми мизк могут мизк могут быть любыми могут быть любыми мизк могут быть любыми мизк могут быть любыми могут быть любыми могут быть любыми мизк могут быть любыми мизк могут быть любыми могут быть любыми мизк могут быть любыми мизк могут быть любыми мизк могут быть любыми мизк могут быть любыми могу	мутации 2 мутации 3 мутации 4 5 6 7 8 9 10 11 12 13 14 15 16 17 18	u/L, i OTCY Asp/OTCY u/L; Asp/OTCY u/L; OTCY OTCY OTCY OTCY OTCY OTCY OTCY OTCY	ys/Arg Asp Asp TCTByeT TCTByeT/Gl ys/Arg TCTByeT	/Lys/ Asi Asi Orcyrc: Asp/Orcyrc: /Lys/ Orcyrc: Asp/Orcyrc: Asp/Orcyrc:	Arg  p  p  p  p  p  p  p  p  p  p  p  p  p	Arg Asp Asp OTCYTCTE Asp/OTCYTCTBYe Arg OTCYTCTE	syer T/Glu/Lys/ T/Glu/Lys/ Syer Syer Syer Syer Syer Syer Syer Syer
8-His Bes Metrki, JNOGAS Metrka Bes Metrki	'в последовательности могут быть любьми в последовательности могут быть любьми в последовательности могут быть любьми в последовательности могут быть любьми мито могут быть любьми мито, мебы мито, мебы мито, мебы мито, мито мито мито мито мито мито мито мито	мутации 2 мутации 3 мутации 4 5 6 7 8 9 10 11 12 13 14 15 16 17 18	u/L, i OTCY ASP/OTCY u/L, ASP/OTCY u/L, OTCY OTCY OTCY OTCY OTCY OTCY OTCY OTCY	ys/Arg Asp Asp TCTBYET YCTBYET/Gl ys/Arg TCTBYET	/Lys/ Asi Asi Orcyte: Asp/Orcyte: /Lys/ Asp/Orcyte: /Lys/ Orcyte: Asp/Orcyte: /Lys/	Arg  p  p  rByeT  rByeT/Glu  Arg  rByeT  rBy	Arg Asp Asp OTCYTCTE Asp/OTCYTCTBYe Arg OTCYTCTE Asp/OTCYTCTSYE' Arg	ayer T/Glu/Lys/ T/Glu/Lys/ Syer Syer Syer Syer Syer Syer Syer Syer
8-Ніз Вез метки; Любая метка Вез метки	'в последовательности могут быть любыми в последовательности могут быть любыми в последовательности могут быть любыми в последовательности могут быть любыми мизк могут мизк могут быть любыми могут быть любыми мизк могут быть любыми мизк могут быть любыми могут быть любыми могут быть любыми мизк могут быть любыми мизк могут быть любыми могут быть любыми мизк могут быть любыми мизк могут быть любыми мизк могут быть любыми мизк могут быть любыми могу	мутации 2 мутации 3 мутации 4 5 6 7 8 9 10 11 12 13 14 15 16 17 18 19 20 21 22 23	u/L, i OTCY ASP/OTCY u/L, ASP/OTCY u/L, OTCY OTCY OTCY OTCY OTCY OTCY OTCY OTCY	ys/Arg Asp Asp TCTByeT TCTByeT/Gl ys/Arg TCTByeT	/Lys/ Asi Asi Orcyte: Asp/Orcyte: /Lys/ Orcyte:	Arg  p  p  rByeT  rByeT/Glu  Arg  rByeT  rBy	Arg Asp Asp OTCYTCTE Asp/OTCYTCTBYe Arg OTCYTCTE Asp/OTCYTCTBYe Arg	ayer T/Glu/Lys/ T/Glu/Lys/ Syer Syer Syer Syer Syer Syer Syer Syer
8-His Bes Metka, Inogan Metka Inogan Metka Bes	'в последовательности могут быть любьми в последовательности могут быть любьми в последовательности то могут быть любьми в последовательности то могут быть любьми митр митр быть любьми митр митр митр быть любьми митр митр быть любьми митр митр быть любьми митр митр митр быть любьми митр митр митр митр митр митр митр ми	мутации 2 мутации 3 мутации 4 5 6 7 8 9 10 11 12 13 14 15 16 17 18 19 20 21 22 23 24	u/L, i OTCY Asp/OTCY u/L, Asp/OTCY u/L, Asp/OTCY u/L, OTCY OTCY OTCY OTCY OTCY OTCY OTCY OTCY	ys/Arg Asp Asp TCTBYET 'TCTBYET/Gl ys/Arg TCTBYET	/Lys/ Asi Asi OTCYTC: Asp/OTCYTC: /Lys/ Asp/OTCYTC: /Lys/ OTCYTC: Asp/OTCYTCT Asp	Arg  P  P  P  P  P  P  P  P  P  P  P  P  P	Arg Asp  Asp  OTCYTCTE Asp/OTCYTCTBYE Arg OTCYTCTE Asp/OTCYTCTBYE* Asp Asp	ayer T/Glu/Lys/ T/Glu/Lys/ Syer Syer Syer Syer Syer Syer Syer Syer
8-His Bes Metka; Ilmodar Metka Bes Metka; Bes Metka Bes Bes Metka Bes	'в последовательности могут быть любыми в последовательности могут быть любыми в последовательности могут быть любыми в последовательности могут быть любыми мини могут быть любыми мини мини могут быть любыми мини мини мини мини мини мини мини м	мутации 2 мутации 3 мутации 4 5 6 7 8 9 10 11 12 13 14 15 16 17 18 19 20 21 22 23	u/L,	ys/Arg Asp Asp TCTBYET YCTBYET/Gl ys/Arg TCTBYET	/Lys/ Asi Asi Orcyrc: Asp/Orcyrc: /Lys/ Orcyrc: Asp/Orcyrc: Orcyrc: Asp/Orcyrc: Orcyrc: Orcyrc: Asp/Orcyrc: Orcyrc: Asp/Orcyrc: Asp	Arg  P  P  P  P  P  P  P  P  P  P  P  P  P	Arg Asp  Asp  OTCYTCTE Asp/OTCYTCTBYE Arg OTCYTCTE Arg OTCYTCTE Asp	ayer T/Glu/Lys/ T/Glu/Lys/ Syer Syer Syer Syer Syer Syer Syer Syer

	Полож	ение в hA1M	Соединение					
Метка	Мутац	ми (:	продолжение)	X11	X12		X13	
6His	M41K		27	Asp	Asp		Asp	
5His	R66H		28	Asp	Asp		Asp	
5His	N17,9	6D, M41K, R66H	29	Asp	Asp		Asp	
5His	N17D,	R66H	30	Asp	Asp		Asp	
6His	R66H,	N96D	31	Asp	Asp		Asp	
6His	M41K,	R66H	32	Asp	Asp		Asp	
6His	N17,9	6D, M41K	33	Asp	Asp		Asp	
6His	N17D,	M41K	34	Asp	Asp		Asp	
6His	M41K,	N96D	35	Asp	Asp		Asp	
6His	N17D,	M41K, R66H	36	Asp	Asp		Asp	
6His	M41K,	R66H, N96D	37	Asp	Asp		Asp	
BHis	N17D		38	Asp	Asp		Asp	
BHis	N17,9	6D	39	Asp	Asp		Asp	
BHis	N96D		40	Asp	Asp		Asp	
BHis	N17.9	6D, R66H	41	Asp	Asp		Asp	
BHis	M41K	•	42	Asp	Asp		Asp	
BHis	R66H		43	Asp	Asp		Asp	
His		6D, M41K, R66H	44	Asp	Asp		Asp	
BHis	N17D,		45	Asp	Asp		Asp	
BHis	R66H,		46	Asp	Asp		Asp	
BHis	M41K,		47	Asp	Asp		Asp	
BHis		6D, M41K	48	Asp	Asp		Asp	
BHis	N17D,		49	Asp	Asp		Asp	
BHis	M41K,		50	Asp	Asp		Asp	
His		M41K, R66H	51	Asp	Asp		Asp	
711110		R66H, N96D		-	=		_	
3His			52	Asp	Asp		Asp	
		Положение в hAlM	Соединение	Метка'/первая АА	17	41	66	96
			(продолжени	X14	X15	X16	X17	X18
Метка		Мутации	e)	X14	X15	X16	X17	X18
	ально ш	Мутации прокое требование		X14 Lys/(f)Met/Oтсутствует/G lu/Asp/Arg	X15 Asp/Asn	X16 Met/Lys/ Arg	X17 Arg/His/ Lys	
Максима	ально ш	ирокое требование 'в последовательности	e) 1	Lys/(f)Met/Oтсутствует/G lu/Asp/Arg	Asp/Asn	Met/Lys/ Arg Met/Lys/	Arg/His/ Lys Arg/His/	Asp/ sn Asp/
Максима	ально ш	ирокое требование 'в последовательности мутации могут быть любыми	e) 1 2	Lys/(f)Met/Oтсутствует/G lu/Asp/Arg Lys	Asp/Asn Asp/Asn	Met/Lys/ Arg Met/Lys/ Arg	Arg/His/ Lys Arg/His/ Lys	Asp/. sn Asp/. sn
Максима 6-His	ально ш	ирокое требование 'в последовательности	e) 1	Lys/(f)Met/Oтсутствует/G lu/Asp/Arg	Asp/Asn	Met/Lys/ Arg Met/Lys/ Arg	Arg/His/ Lys Arg/His/	Asp/. sn Asp/. sn
Maксима 6-His 8-His		ирокое требование 'в последовательности мутации могут быть любыми в последовательности мутации могут быть любыми в последовательности мутации	e) 1 2	Lys/(f)Met/Oтсутствует/G lu/Asp/Arg Lys Lys	Asp/Asn Asp/Asn Asp/Asn	Met/Lys/ Arg Met/Lys/ Arg Met/Lys/ Arg Met/Lys/	Arg/His/ Lys Arg/His/ Lys Arg/His/ Lys Arg/His/	Asp/sn Asp/sn Asp/sn Asp/sn Asp/sn
Maксима 6-His 8-His		ирокое требование  "в последовательности мутации могут быть любыми в последовательности мутации могут быть любыми	e) 1 2 3 4	Lys/(f)Met/Oтсутствует/G lu/Asp/Arg Lys Lys Oтсутствует	Asp/Asn Asp/Asn Asp/Asn Asp/Asn	Met/Lys/ Arg Met/Lys/ Arg Met/Lys/ Arg	Arg/His/ Lys Arg/His/ Lys Arg/His/ Lys	Asp/sn Asp/sn Asp/sn Asp/sn Asp/sn Asp/sn
Maксима 6-His 8-His Без мет	чки;	ирокое требование 'в последовательности мутации могут быть любыми в последовательности мутации могут быть любыми в последовательности мутации	e) 1 2 3	Lys/(f)Met/Oтсутствует/G lu/Asp/Arg Lys Lys	Asp/Asn Asp/Asn Asp/Asn	Met/Lys/ Arg Met/Lys/ Arg Met/Lys/ Arg Met/Lys/	Arg/His/ Lys Arg/His/ Lys Arg/His/ Lys Arg/His/	Asp/sn Asp/sn Asp/sn Asp/sn Asp/sn
Maксима 6-His 8-His Без мет Пюбая м	ски <b>;</b> метка	ирокое требование  'в последовательности мутации могут быть любыми в последовательности мутации могут быть любыми в последовательности мутации могут быть любыми  м41к	e) 1 2 3 4	Lys/(f)Met/OTCYTCTBYET/G lu/Asp/Arg Lys Lys OTCYTCTBYET Lys/(f)Met/OTCYTCTBYET/G lu/Asp/Arg Lys/(f)Met/OTCYTCTBYET	Asp/Asn Asp/Asn Asp/Asn Asp/Asn	Met/Lys/ Arg Met/Lys/ Arg Met/Lys/ Arg Met/Lys/ Arg	Arg/His/ Lys Arg/His/ Lys Arg/His/ Lys Arg/His/ Lys	Asp/sn Asp/sn Asp/sn Asp/sn Asp/sn Asp/sn
Maксима 5-His 3-His Без мет Тюбая м	гки; метка метка	ирокое требование  'в последовательности мутации могут быть любыми в последовательности мутации могут быть любыми в последовательности мутации могут быть любыми мигут быть любыми  митут быть любыми	1 2 3 4 5 6	Lys/(f)Met/Orcytctbyet/G lu/Asp/Arg Lys Lys Orcytctbyet Lys/(f)Met/Orcytctbyet/G lu/Asp/Arg Lys/(f)Met/Orcytctbyet/G Glu/Asp/Arg	Asp/Asn Asp/Asn Asp/Asn Asp/Asn Asp/Asn Asp	Met/Lys/ Arg Met/Lys/ Arg Met/Lys/ Arg Met/Lys/ Arg Met/Lys/ Lys Met	Arg/His/ Lys Arg/His/ Lys Arg/His/ Lys Arg/His/ Lys Arg	Asp/sn Asp/sn Asp/sn Asp/sn Asp/sn Asp/sn Asp
Makcuma 6-His 3-His Ges met Imbas m	еки; метка метка метка	ирокое требование  'в последовательности мутации могут быть любыми в последовательности мутации могут быть любыми в последовательности мутации могут быть любыми  м41к  N17,96D  N17D	1 2 3 4 5 6 7	Lys/(f)Met/OTCYTCTBYET/G lu/Asp/Arg Lys Lys  OTCYTCTBYET Lys/(f)Met/OTCYTCTBYET/G lu/Asp/Arg Lys/(f)Met/OTCYTCTBYET Glu/Asp/Arg (f)Met	Asp/Asn Asp/Asn Asp/Asn Asp/Asn Asn Asn Asp	Met/Lys/ Arg Met/Lys/ Arg Met/Lys/ Arg Met/Lys/ Arg Met/Lys/ Arg Met/Lys/ Arg Lys Met	Arg/His/ Lys Arg/His/ Lys Arg/His/ Lys Arg/His/ Lys Arg Arg	Asp/sn Asp/sn Asp/sn Asp/sn Asp/sn Asp/sn Asn Asn
Makcuma 5-His 3-His Ges met Tw6as m Tw6as met Ges met	еки; метка метка еки еки	ирокое требование  'в последовательности мутации могут быть любыми в последовательности мутации могут быть любыми в последовательности мутации могут быть любыми  м41к  м17,96D  м17,96D	1 2 3 4 5 6 7 8	Lys/(f)Met/OTCYTCTBYET/G lu/Asp/Arg Lys Lys  OTCYTCTBYET Lys/(f)Met/OTCYTCTBYET/G lu/Asp/Arg Lys/(f)Met/OTCYTCTBYET Glu/Asp/Arg (f)Met (f)Met	Asp/Asn Asp/Asn Asp/Asn Asp/Asn Asn Asn Asp	Met/Lys/ Arg Met/Lys/ Arg Met/Lys/ Arg Met/Lys/ Arg Lys Lys Met Met Met	Arg/His/ Lys Arg/His/ Lys Arg/His/ Lys Arg/His/ Lys Arg Arg Arg	Asp/. sn Asp/. sn Asp/. sn Asp/. sn Asp/. sn Asp/. Asn Asp
Makcuma 5-His 3-His 5e3 met Tw6aa m Tw6aa m Tw6aa met 6e3 met 6e3 met	еки; метка метка еки еки еки	ирокое требование  'в последовательности мутации могут быть любыми в последовательности мутации могут быть любыми в последовательности мутации могут быть любыми  м41к  м17,96D  м17,96D  м96D	1 2 3 4 5 6 7 8 9	Lys/(f)Met/OTCYTCTBYET/G lu/Asp/Arg Lys Lys OTCYTCTBYET Lys/(f)Met/OTCYTCTBYET/G lu/Asp/Arg Lys/(f)Met/OTCYTCTBYET Glu/Asp/Arg (f)Met (f)Met (f)Met	Asp/Asn Asp/Asn Asp/Asn Asp/Asn Asn Asn Asp Asp Asp Asp Asp	Met/Lys/ Arg Met/Lys/ Arg Met/Lys/ Arg Met/Lys/ Arg Met/Lys/ Arg Lys Met Met Met Met	Arg/His/ Lys Arg/His/ Lys Arg/His/ Lys Arg/His/ Lys Arg Arg Arg	Asp/sn Asp/sn Asp/sn Asp/sn Asp/sn Asp Asn Asp Asn Asp
Makcuma 6-His 8-His Ses met Пюбая м Без мет Без мет Без мет Без мет Без мет	PKU; METKA METKA PKU PKU PKU PKU	ирокое требование  'в последовательности мутации могут быть любыми в последовательности мутации могут быть любыми в последовательности мутации могут быть любыми  м41к  м17,96D  м17,96D  м17,96D  м17,96D, R66H	e)  1  2  3  4  5  6  7  8  9 10	Lys/(f)Met/OTCYTCTBYET/G lu/Asp/Arg Lys Lys OTCYTCTBYET Lys/(f)Met/OTCYTCTBYET/G lu/Asp/Arg Lys/(f)Met/OTCYTCTBYET Glu/Asp/Arg (f)Met (f)Met (f)Met (f)Met	Asp/Asn Asp/Asn Asp/Asn Asp/Asn Asp Asn Asp Asp Asp Asp Asp Asp Asp Asn Asp	Met/Lys/ Arg Met/Lys/ Arg Met/Lys/ Arg Met/Lys/ Arg Lys Met Met Met Met Met	Arg/His/ Lys Arg/His/ Lys Arg/His/ Lys Arg/His/ Lys Arg Arg Arg Arg Arg Arg	Asp// sn Asp// sn Asp// sn Asp// sn Asp/ Asn Asp Asp Asp
Makcuma 6-His 8-His Ees met Ilbooan m Ges met Ees met Ees met Ees met Ees met Ees met	PKU; METKA METKA PKU PKU PKU PKU	ирокое требование  'в последовательности мутации могут быть любыми в последовательности мутации могут быть любыми в последовательности мутации могут быть любыми митут быть л	e)  1  2  3  4  5  6  7  8  9  10  11	Lys/(f)Met/OTCYTCTBYET/G lu/Asp/Arg Lys Lys OTCYTCTBYET Lys/(f)Met/OTCYTCTBYET/G lu/Asp/Arg Lys/(f)Met/OTCYTCTBYET Glu/Asp/Arg (f)Met (f)Met (f)Met (f)Met (f)Met (f)Met	Asp/Asn Asp/Asn Asp/Asn Asp/Asn Asn Asp Asn Asp Asp Asp Asp Asn Asp Asn	Met/Lys/ Arg Met/Lys/ Arg Met/Lys/ Arg Met/Lys/ Arg Lys Met Met Met Met Met	Arg/His/ Lys Arg/His/ Lys Arg/His/ Lys Arg/His/ Lys Arg Arg Arg Arg Arg Arg	Asp// sn Asp// sn Asp// sn Asp// sn Asp/ Asn Asp Asn Asp Asn Asp Asp
Makcuma 6-His 8-His Ges met Modar m Modar m Ges met	etka; uetka uetka uetka uku uku uku uku uku	ирокое требование  'в последовательности мутации могут быть любыми в последовательности мутации могут быть любыми в последовательности мутации могут быть любыми могут быть любыми м41к N17,96D N17D N17,96D N17,96D N17,96D N17,96D, R66H M41к R66H	e)  1  2  3  4  5  6  7  8  9 10	Lys/(f)Met/OTCYTCTBYET/G lu/Asp/Arg Lys Lys OTCYTCTBYET Lys/(f)Met/OTCYTCTBYET/G lu/Asp/Arg Lys/(f)Met/OTCYTCTBYET/G Glu/Asp/Arg (f)Met (f)Met (f)Met (f)Met (f)Met (f)Met (f)Met (f)Met (f)Met	Asp/Asn Asp/Asn Asp/Asn Asp/Asn Asn Asp Asp Asp Asp Asp Asn Asp Asn Asp	Met/Lys/ Arg Met/Lys/ Arg Met/Lys/ Arg Met/Lys/ Arg Lys Met Met Met Met Met Lys Met Lys Met	Arg/His/ Lys Arg/His/ Lys Arg/His/ Lys Arg/His/ Lys Arg Arg Arg Arg Arg Arg	Asp//sn Asp//sn Asp//sn Asp//sn Asn Asp/ Asn Asp Asn Asp Asp Asp Asn
Makcuma 6-His 8-His Ges met Minofas m Minofas m Ges met	PKU;  WEKU;  WEKU	ирокое требование  'в последовательности мутации могут быть любыми в последовательности мутации могут быть любыми в последовательности мутации могут быть любыми мигут быть л	e)  1  2  3  4  5  6  7  8  9  10  11  12	Lys/(f)Met/OTCYTCTBYET/G lu/Asp/Arg Lys Lys OTCYTCTBYET Lys/(f)Met/OTCYTCTBYET/G lu/Asp/Arg Lys/(f)Met/OTCYTCTBYET Glu/Asp/Arg (f)Met (f)Met (f)Met (f)Met (f)Met (f)Met	Asp/Asn Asp/Asn Asp/Asn Asp/Asn Asn Asp Asp Asp Asp Asn Asp Asn Asp Asn Asp Asn	Met/Lys/ Arg Met/Lys/ Arg Met/Lys/ Arg Met/Lys/ Arg Lys Met Met Met Met Met	Arg/His/ Lys Arg/His/ Lys Arg/His/ Lys Arg/His/ Lys Arg Arg Arg Arg Arg Arg Arg His	Asp// sn Asp// sn Asp// sn Asp// sn Asp/ Asn Asp Asn Asp Asn Asp Asp
Makcuma 6-His 8-His 6e3 met Пюбая м Пюбая мет Бе3 мет	PKU;  METKA  METKA  MEKU  PKU  PKU  PKU  PKU  PKU  PKU  PKU	ирокое требование  'в последовательности мутации могут быть любыми в последовательности мутации могут быть любыми в последовательности мутации могут быть любыми митит быть любыми мититительности мутации могут быть любыми мититительности мутации могут быть любыми мититительности мутации митительности мутации мититите	e)  1  2  3  4  5  6  7  8  9  10  11  12  13	Lys/(f)Met/OTCYTCTBYET/G lu/Asp/Arg Lys Lys  OTCYTCTBYET  Lys/(f)Met/OTCYTCTBYET/G lu/Asp/Arg Lys/(f)Met/OTCYTCTBYET Glu/Asp/Arg (f)Met	Asp/Asn Asp/Asn Asp/Asn Asp/Asn Asn Asp Asp Asp Asp Asp Asn Asp Asn Asp	Met/Lys/ Arg Met/Lys/ Arg Met/Lys/ Arg Met/Lys/ Arg Lys Met Met Met Met Met Lys Met Lys Met Lys	Arg/His/ Lys Arg/His/ Lys Arg/His/ Lys Arg/His/ Lys Arg Arg Arg Arg Arg Arg Arg His Arg	Asp//sn Asp//sn Asp//sn Asp//sn Asn Asp Asn Asp Asn Asp Asp Asp Asp
Makcuma 5-His 3-His 6e3 me1 Immon me Immon me Ge3 me1	PKU;  METKA  METKA  PKU  PKU  PKU  PKU  PKU  PKU  PKU  P	ирокое требование  'в последовательности мутации могут быть любыми в последовательности мутации могут быть любыми в последовательности мутации могут быть любыми мити мити мити мити мити мити мити м	e)  1 2 3 4 5 6 7 8 9 10 11 12 13 14	Lys/(f)Met/OTCYTCTBYET/G lu/Asp/Arg Lys Lys  OTCYTCTBYET Lys/(f)Met/OTCYTCTBYET/G lu/Asp/Arg Lys/(f)Met/OTCYTCTBYET Glu/Asp/Arg (f)Met	Asp/Asn Asp/Asn Asp/Asn Asp/Asn Asn Asp Asp Asp Asp Asn Asp Asn Asp Asn Asp	Met/Lys/ Arg Met/Lys/ Arg Met/Lys/ Arg Met/Lys/ Arg Lys Met Met Met Met Met Met Lys Met Lys Met Lys	Arg/His/ Lys Arg/His/ Lys Arg/His/ Lys Arg/His/ Lys Arg Arg Arg Arg Arg Arg His Arg His	Asp//sn Asp//sn Asp//sn Asp//sn Asn Asp Asn Asp Asn Asp Asp Asn Asp
Makcuma 6-His 3-His 6es met Immon met 6es met	PKU;  METKA  METKA  PKU  PKU  PKU  PKU  PKU  PKU  PKU  P	ирокое требование  'в последовательности мутации могут быть любыми в последовательности мутации могут быть любыми в последовательности мутации могут быть любыми могут быть любыми мити могут быть любыми мити могут быть любыми мити могут быть любыми мити мити мити мити мити мити мити м	e)  1 2 3 4 5 6 7 8 9 10 11 12 13 14 15	Lys/(f)Met/OTCYTCTBYET/G lu/Asp/Arg Lys Lys OTCYTCTBYET Lys/(f)Met/OTCYTCTBYET/G lu/Asp/Arg Lys/(f)Met/OTCYTCTBYET Glu/Asp/Arg (f)Met	Asp/Asn Asp/Asn Asp/Asn Asp/Asn Asn Asp Asp Asp Asn	Met/Lys/ Arg Met/Lys/ Arg Met/Lys/ Arg Met/Lys/ Arg Lys Met Met Met Met Met Lys Met Lys Met Lys Met	Arg/His/ Lys Arg/His/ Lys Arg/His/ Lys Arg/His/ Lys Arg Arg Arg Arg Arg Arg Arg Arg His Arg His His His	Asp/. sn Asp/. sn Asp/. sn Asp/. sn Asp/. sn Asp Asn Asp
Makcuma 5-His 3-His 6-Es Met Iloбas M Iloбas M Ges Met 6-Es Met	PERU;  METKA  METKA  PEKU	ирокое требование  'в последовательности мутации могут быть любыми в последовательности мутации могут быть любыми в последовательности мутации могут быть любыми могут быть любыми мити могут быть любыми могут быть любыми мити могут быть любыми могут быть любы	e)  1  2  3  4  5  6  7  8  9  10  11  12  13  14  15  16	Lys/(f)Met/OTCYTCTBYET/G lu/Asp/Arg Lys Lys OTCYTCTBYET Lys/(f)Met/OTCYTCTBYET/G lu/Asp/Arg Lys/(f)Met/OTCYTCTBYET Glu/Asp/Arg (f)Met	Asp/Asn Asp/Asn Asp/Asn Asp/Asn Asn Asp Asp Asp Asp Asn Asp Asn Asp Asn Asp Asn Asp	Met/Lys/ Arg Met/Lys/ Arg Met/Lys/ Arg Met/Lys/ Arg Lys Met Met Met Met Met Met Lys	Arg/His/ Lys Arg/His/ Lys Arg/His/ Lys Arg/His/ Lys Arg Arg Arg Arg Arg Arg Arg His Arg His His His	Asp/sn Asp/sn Asp/sn Asp/sn Asp/sn Asp
Makcuma 5-His 3-His Ges met Immodan m Immodan	PKU;  METKA  METKA  PKU  PKU  PKU  PKU  PKU  PKU  PKU  P	ирокое требование  'в последовательности мутации могут быть любыми в последовательности мутации могут быть любыми в последовательности мутации могут быть любыми могут быть любыми мити могут быть любыми мо	e)  1  2  3  4  5  6  7  8  9  10  11  12  13  14  15  16  17	Lys/(f)Met/OTCYTCTBYET/G 1u/Asp/Arg Lys Lys OTCYTCTBYET Lys/(f)Met/OTCYTCTBYET/G 1u/Asp/Arg Lys/(f)Met/OTCYTCTBYET/G Glu/Asp/Arg (f)Met	Asp/Asn Asp/Asn Asp/Asn Asp/Asn Asn Asp Asp Asp Asn Asp Asn Asp Asn Asp Asn Asp Asp Asp	Met/Lys/ Arg Met/Lys/ Arg Met/Lys/ Arg Met/Lys/ Arg Lys Met Met Met Met Met Lys	Arg/His/ Lys Arg/His/ Lys Arg/His/ Lys Arg/His/ Lys Arg Arg Arg Arg Arg His His His His	Asp// sn Asp// sn Asp// sn Asp// sn Asn Asn Asp Asn Asp Asn Asp Asn Asn Asp
Makcuma  5-His  3-His  6-Bis met  Imma met  Ges met	еки; иетка иетка еки	ирокое требование  'в последовательности мутации могут быть любыми в последовательности мутации могут быть любыми в последовательности мутации могут быть любыми могут быть любыми мити мити мити мити мити мити мити м	e)  1  2  3  4  5  6  7  8  9  10  11  12  13  14  15  16  17  18  19	Lys/(f)Met/OTCYTCTBYET/G lu/Asp/Arg Lys Lys OTCYTCTBYET Lys/(f)Met/OTCYTCTBYET/G lu/Asp/Arg Lys/(f)Met/OTCYTCTBYET/G lu/Asp/Arg (f)Met	Asp/Asn Asp/Asn Asp/Asn Asp/Asn Asp Asp Asp Asp Asp Asn Asp Asp Asn Asp	Met/Lys/ Arg Met/Lys/ Arg Met/Lys/ Arg Met/Lys/ Arg Lys Mot Met Met Met Met Lys Lys Lys Lys Lys	Arg/His/ Lys Arg/His/ Lys Arg/His/ Lys Arg/His/ Lys Arg/His/ Arg Arg Arg Arg Arg Arg His His His His His Arg	Asp/ sn Asp/ sn Asp/ sn Asp/ sn Asp/ sn Asp Asp Asn Asp
Makcuma 5-His 3-His Ges met	PKU; METKA METKA PKU	ирокое требование  'в последовательности мутации могут быть любыми в последовательности мутации могут быть любыми в последовательности мутации могут быть любыми могут быть любыми митут быть л	e)  1  2  3  4  5  6  7  8  9  10  11  12  13  14  15  16  17  18  19  20	Lys/(f)Met/OTCYTCTBYET/G 1u/Asp/Arg  Lys  Lys  OTCYTCTBYET  Lys/(f)Met/OTCYTCTBYET/G 1u/Asp/Arg  Lys/(f)Met/OTCYTCTBYET/G 1u/Asp/Arg  Lys/(f)Met/OTCYTCTBYET/G (f)Met (f)Met/OTCYTCTBYET (Glu/Asp/Arg	Asp/Asn Asp/Asn Asp/Asn Asp/Asn Asp Asp Asp Asp Asp Asp Asn Asp	Met/Lys/ Arg Met/Lys/ Arg Met/Lys/ Arg Met/Lys/ Arg Lys Met Met Met Met Met Lys Met	Arg/His/ Lys Arg/His/ Lys Arg/His/ Lys Arg/His/ Lys Arg/His/ Lys Arg Arg Arg Arg Arg Arg His His His His His Arg Arg Arg His	Asp/ sn Asp/ sn Asp/ sn Asp/ sn Asp/ sn Asp Asp Asn Asp
Makcuma 5-His 3-His Ges met Immediate Ges met	CKU;  METKA  METKA  MEKU  MEKU	ирокое требование  "В последовательности мутации могут быть любыми в последовательности мутации могут быть любыми в последовательности мутации могут быть любыми могут быть любыми мигут быть л	e)  1 2 3 4 5 6 7 8 9 10 11 12 13 14 15 16 17 18 19 20 21	Lys/(f)Met/OTCYTCTBYET/G lu/Asp/Arg  Lys  Lys  OTCYTCTBYET  Lys/(f)Met/OTCYTCTBYET/G lu/Asp/Arg Lys/(f)Met/OTCYTCTBYET Glu/Asp/Arg (f)Met	Asp/Asn Asp/Asn Asp/Asn Asp/Asn Asp Asp Asp Asp Asn	Met/Lys/ Arg Met/Lys/ Arg Met/Lys/ Arg Met/Lys/ Arg Lys Met Met Met Met Met Lys Lys Lys Lys Lys Lys Lys Lys Lys	Arg/His/ Lys Arg/His/ Lys Arg/His/ Lys Arg/His/ Lys Arg/His/ Lys Arg Arg Arg Arg Arg Arg His His His His His His His Arg Arg Arg His	Asp/sn Asp/sn Asp/sn Asp/sn Asp/sn Asp
Makcuma 5-His 3-His 6-Bas met 106as met 6-Bas met	CKU;  METKA  METKA  MEKU  MEKU	ирокое требование  "В последовательности мутации могут быть любыми в последовательности мутации могут быть любыми в последовательности мутации могут быть любыми могут быть любыми мигут быть л	e)  1 2 3 4 5 6 7 8 9 10 11 12 13 14 15 16 17 18 19 20 21 22	Lys/(f)Met/OTCYTCTBYET/G lu/Asp/Arg Lys Lys Lys OTCYTCTBYET Lys/(f)Met/OTCYTCTBYET/G lu/Asp/Arg Lys/(f)Met/OTCYTCTBYET/G lu/Asp/Arg (f)Met	Asp/Asn Asp/Asn Asp/Asn Asp/Asn Asp Asp Asp Asp Asp Asn Asp	Met/Lys/ Arg Met/Lys/ Arg Met/Lys/ Arg Met/Lys/ Arg Lys Met Met Met Met Lys Lys Lys Lys Lys Lys Lys Lys	Arg/His/ Lys Arg/His/ Lys Arg/His/ Lys Arg/His/ Lys Arg Arg Arg Arg Arg Arg Arg His His His His His Arg Arg His	Asp/sn Asp/sn Asp/sn Asp/sn Asp/sn Asn Asp
Makcuma 5-His 6-His 6-His 6-His 6-His 6-His 6-His 6-S-Met	CKU;  METKA  METKA  MEKU  MEKU	ирокое требование  "В последовательности мутации могут быть любыми в последовательности мутации могут быть любыми в последовательности мутации могут быть любыми в последовательности мутации могут быть любыми м41к N17,96D N170 N17,96D N96D N17,96D, R66H M41K R66H N17,96D, M41K, R66H N17D, R66H R66H, N96D M41K, R66H N17,96D, M41K N17D, M41K M41K, N96D N17,96D, R66H N17D, M41K, R66H M41K, R66H, N96D N17D	e)  1 2 3 4 5 6 7 8 9 10 11 12 13 14 15 16 17 18 19 20 21 22 23	Lys/(f)Met/OTCYTCTBYET/G lu/Asp/Arg Lys Lys OTCYTCTBYET Lys/(f)Met/OTCYTCTBYET/G lu/Asp/Arg Lys/(f)Met/OTCYTCTBYET Glu/Asp/Arg (f)Met Lys/(f)Met (f)Met Lys/(f)Met Lys	Asp/Asn Asp/Asn Asp/Asn Asp/Asn Asp Asp Asp Asp Asn Asp Asp Asn Asp Asp Asn Asp Asn Asp	Met/Lys/ Arg Met/Lys/ Arg Met/Lys/ Arg Met/Lys/ Arg Lys Met Met Met Met Met Lys	Arg/His/ Lys Arg/His/ Lys Arg/His/ Lys Arg/His/ Lys Arg Arg Arg Arg Arg Arg His His His His His His Arg	Asp//sn Asp//sn Asp//sn Asp//sn Asp//sn Asp Asn Asp
Makcuma 6-His 8-His Ses met Illipoas met Ges met	CKU;  METKA  METKA  MEKU  MEKU	ирокое требование  'в последовательности мутации могут быть любыми в последовательности мутации могут быть любыми в последовательности мутации могут быть любыми в последовательности мутации могут быть любыми мити мити мити мити мити мити мити м	e)  1 2 3 4 5 6 7 8 9 10 11 12 13 14 15 16 17 18 19 20 21 22 23 24	Lys/(f)Met/OTCYTCTBYET/G 1u/Asp/Arg Lys Lys Lys OTCYTCTBYET Lys/(f)Met/OTCYTCTBYET/G 1u/Asp/Arg Lys/(f)Met/OTCYTCTBYET/G lu/Asp/Arg (f)Met Lys/(f)Met/OTCYTCTBYET Glu/Asp/Arg (f)Met Lys Lys Lys	Asp/Asn Asp/Asn Asp/Asn Asp Asp Asp Asp Asp Asn Asp Asp	Met/Lys/ Arg Met/Lys/ Arg Met/Lys/ Arg Lys Met Met Met Met Met Lys Met Met Lys Met Met Lys Met Met Lys Met Met Met Lys Met Met Lys Met Met Lys Lys Lys Lys Lys Lys Met	Arg/His/ Lys Arg/His/ Lys Arg/His/ Lys Arg/His/ Lys Arg Arg Arg Arg Arg Arg His His His His His His His Arg	Asp//sn Asp//sn Asp//sn Asp//sn Asp//sn Asp//sn Asp
MAKCUMA 6-His 8-His Bes Met IJNOGAS M Bes Met	CKU;  METKA  METKA  MEKU  MEKU	ирокое требование  "В последовательности мутации могут быть любыми в последовательности мутации могут быть любыми в последовательности мутации могут быть любыми в последовательности мутации могут быть любыми м41к N17,96D N170 N17,96D N96D N17,96D, R66H M41K R66H N17,96D, M41K, R66H N17D, R66H R66H, N96D M41K, R66H N17,96D, M41K N17D, M41K M41K, N96D N17,96D, R66H N17D, M41K, R66H M41K, R66H, N96D N17D	e)  1 2 3 4 5 6 7 8 9 10 11 12 13 14 15 16 17 18 19 20 21 22 23	Lys/(f)Met/OTCYTCTBYET/G lu/Asp/Arg Lys Lys OTCYTCTBYET Lys/(f)Met/OTCYTCTBYET/G lu/Asp/Arg Lys/(f)Met/OTCYTCTBYET Glu/Asp/Arg (f)Met Lys/(f)Met (f)Met Lys/(f)Met Lys	Asp/Asn Asp/Asn Asp/Asn Asp/Asn Asp Asp Asp Asp Asn Asp Asp Asn Asp Asp Asn Asp Asn Asp	Met/Lys/ Arg Met/Lys/ Arg Met/Lys/ Arg Met/Lys/ Arg Lys Met Met Met Met Met Lys	Arg/His/ Lys Arg/His/ Lys Arg/His/ Lys Arg/His/ Lys Arg Arg Arg Arg Arg Arg His His His His His His Arg	Asp// sn Asp/// sn Asp/// sn Asp/// sn Asp// sn Asp// sn Asp Asn Asp

	Положение в hAlM	Соединение	Метка'/первая АА	17	41	66	96
		(продолжени	X14	X15	X16	X17	X18
етка	Мутации	e) 27	Lys	Asn	Lys	Arg	Asn
His	M41K	28	Lys	Asn	Met	His	Asn
His His	R66H	29	Lys	Asp	Lys	His	Asp
iis Iis	N17,96D, M41K, R66H N17D, R66H	30	Lys	Asp	Met	His	Asn
lis		31	Lys	Asn	Met	His	Asp
iis Iis	R66H, N96D	32	Lys	Asn	Lys	His	Asn
	M41K, R66H	33	Lys	Asp	Lys	Arg	Asp
lis	N17,96D, M41K	34	Lys	Asp	Lys	Arg	Asn
lis 	N17D, M41K	35	Lys	Asp	Lys	Arg	Asp
lis 	M41K, N96D	36	=		_	His	_
lis	N17D, M41K, R66H	37	Lys	Asp	Lys		Asn
lis	M41K, R66H, N96D	38	Lys	Asn	Lys	His	Asp
is	N17D	39	Lys	Asp	Met Met	Arg	Asn
lis	N17,96D		Lys	Asp		Arg	Asp
lis	N96D	40	Lys	Asn	Met	Arg	Asp
is	N17,96D, R66H	41	Lys	Asp	Met	His	Asp
is	M41K	42	Lys	Asn	Lys	Arg	Asn
is	R66H	43	Lys	Asn	Met	His	Asn
lis	N17,96D, M41K, R66H	44	Lys	Asp	Lys	His	Asp
lis	N17D, R66H	45	Lys	Asp	Met	His	Asn
lis	R66H, N96D	46	Lys	Asn	Met	His	Asp
lis	M41K, R66H	47	Lys	Asn	Lys	His	Asn
is	N17,96D, M41K	48	Lys	Asp	Lys	Arg	Asp
lis	N17D, M41K	49	Lys	Asp	Lys	Arg	Asn
lis	M41K, N96D	50	Lys	Asn	Lys	Arg	Asp
His	N17D, M41K, R66H	51	Lys	Asp	Lys	His	Asn
lis	M41K, R66H, N96D	52	Lys	Asn	Lys	His	Asp
		Соединени	Комментарий				
	Положение в hAlM	e	Комментарий				
<u> 1</u> етка		е (продолже ние)					
Максима	Положение в hAlM  Mutations  льно широкое требование в последовательности мутации мотут быть	е (продолже	ON KOPUA BCE X1-X14 (				
6-His	Положение в hAlM  Mutations  льно широкое требование  'в последовательности мутации могут быть пюбыми в последовательности мутации могут быть	е (продолже ние) Пр усло	ои вии. когда все X1-X14 (				
Maксима 6-His 8-His Без	Положение в hAlM  Mutations  льно широкое требование  'в последовательности мутации могут быть любыми в последовательности мутации могут быть любыми в последовательности мутации могут быть мутации могут быть	е (продолже ние)  1 пр усло: 2  3 пр на	ои когда все X1-X14 с х17 представляют й	Arg, то тогда	1 X18 не мо	кет быть Аѕ	
Maксима 5-His 3-His Без метки;	Положение в hAlM  Mutations  льно широкое требование  'в последовательности мутации могут быть любыми в последовательности мутации могут быть любыми в последовательности в последовательности в последовательности	е (продолже ние)  1 пр усло:  2  3 4 Пр усло:	ои когда все X1-X14 с х17 представляют й	Arg, то тогда	1 X18 не мо	кет быть Аѕ	
Maксима. 5-His 3-His Geз Meтки; Iюбая	Положение в hAlM  Mutations  льно широкое требование  'в последовательности мутации могут быть любыми в последовательности мутации могут быть любыми в последовательности мутации могут быть мутации могут быть	е (продолже ние)  1 пр усло: 2  3 пр на	ои когда все X1-X14 с х17 представляют й	arg, то тогда	. X18 не мог	кет быть As	n
iakcuma.  -His -His Ges wetku; kodas ketka kodas	Положение в hAlM  Mutations  льно широкое требование  'в последовательности мутации могут быть любьми в последовательности мутации могут быть любьми в последовательности мутации могут быть любьми мутации могут быть любьми М41К	е (продолже ние)  1 Пр усло:  2  3 4 Пр усло: 5	ои когда все X1-X14 с X17 представляют й хим когда X15 представ	arg, то тогда	. X18 не мог	кет быть As	n
iakcuma.  -His  -His  -es  -es  -etku;  -etka  -etka  -etka  -etka  -etka  -etka	Положение в hAlM  Mutations  льно широкое требование  'в последовательности мутации могут быть любыми в последовательности мутации могут быть любыми в последовательности мутации могут быть любыми  M41K N17,96D	е (продолже ние)  1	ои когда все X1-X14 с X17 представляют й хим когда X15 представ	arg, то тогда	. X18 не мог	кет быть As	n
Alakcuma.  His  His  Es  Es  Es  Es  Es  Es  Es  Es  Es	Положение в hAlM  Mutations  льно широкое требование  'в последовательности мутации могут быть любыми в последовательности мутации могут быть любыми в последовательности мутации могут быть любыми  M41K  N17,96D  ки N17D	е (продолже ние)  1 пр усло:  2  3 4 пр усло:  5 6 7	ои когда все X1-X14 с X17 представляют й хим когда X15 представ	arg, то тогда	. X18 не мог	кет быть As	n
His His Ges Ges Ges Ges Ges Ges Ges Ges Ges Ge	Положение в hAlM  Mutations  льно широкое требование  'в последовательности мутации могут быть любыми в последовательности мутации могут быть любыми в последовательности мутации могут быть любыми м последовательности мутации могут быть любыми  M41K  N17,96D  ки N170  N17,96D	е (продолже ние)  1 пр усло:  2  3  4 Пр усло:  5  6  7  8	ои когда все X1-X14 с X17 представляют й хим когда X15 представ	arg, то тогда	. X18 не мог	кет быть As	n
Makcuma. 5-His 6-B	Положение в hAlM  Mutations  ЛЬНО ШИРОКОЕ ТРЕБОВАНИЕ  В ПОСЛЕДОВАТЕЛЬНОСТИ МУТАЦИИ МОГУТ БЫТЬ ЛЮБЬМИ В ПОСЛЕДОВАТЕЛЬНОСТИ МУТАЦИИ МОГУТ БЫТЬ ЛЮБЬМИ В ПОСЛЕДОВАТЕЛЬНОСТИ МУТАЦИИ МОГУТ БЫТЬ МУТАЦИИ МОГУТ БЫТЬ ЛЮБЬМИ  M41K  N17,96D КИ N17D КИ N17,96D КИ N17,96D	е (продолже ние)  1 пр усло:  2  3 4 Пр усло:  5 6 7 8 9	м когда все X1-X14 с X17 представляют й хи когда X15 представляют и X17 представляет и X17 представляет	krg, то тогда ыляет Asn, XI	. X18 не мо: .6 представ.	кет быть As	n
Iakcuma.  -His -His -His -His -His -His -His -Hi	Положение в hAlM  Mutations  льно широкое требование  'в последовательности мутации могут быть любьми в последовательности мутации могут быть любьми в последовательности мутации могут быть любьми могут быть любьми  M41K  N17,96D  КИ N17D  КИ N17D  КИ N17,96D  КИ N170  КИ N96D  КИ N96D  КИ N17,96D, R66H	е (продолже ние)  1 пр усло:  2  3  4 пр усло:  5  6  7  8  9  10	ои когда все X1-X14 с X17 представляют й хим когда X15 представ	krg, то тогда ыляет Asn, XI	. X18 не мо: .6 представ.	кет быть As	n
Iakcuma.  -His -His -His -His -His -His -His -Hi	Положение в hAlM  Mutations  льно широкое требование  в последовательности мутации могут быть любьми в последовательности мутации могут быть любьми в последовательности мутации могут быть любьми м41К N17,96D ки N17,96D ки N17,96D ки N17,96D ки N17,96D, R66H	е (продолже ние)  1	м когда все X1-X14 с X17 представляют й хи когда X15 представляют и X17 представляет и X17 представляет	krg, то тогда ыляет Asn, XI	. X18 не мо: .6 представ.	кет быть As	n
Makcuma  5-His  6-His  6-His  6-E  6-TKU;  Indar  4-TKA  10-E  6-E  6-E  6-E  6-E  6-E  6-E  6-E	Положение в hAlM  Mutations  льно широкое требование  'в последовательности мутации могут быть любьми в последовательности мутации могут быть любьми в последовательности мутации могут быть любьми  M41K  N17,96D ки N170 ки N17,96D ки N179 ки N17,96D	е (продолже ние)  1	м когда все X1-X14 с X17 представляют й х17 представляют й когда X15 представляет и X17 представляет	krg, то тогда ыляет Asn, XI	. X18 не мо: .6 представ.	кет быть As	n
ARCUMA  B-His  B	Положение в hAlM  Mutations  льно широкое требование  'в последовательности мутации могут быть любыми в последовательности мутации могут быть любыми в последовательности мутации могут быть любыми м41к N17,96D ки N17,96D ки N17,96D ки N96D ки N17,96D, R66H ки M41к ки R66H ки M41к ки R66H	е (продолже ние)  1 пр усло:  2  3  4 пр усло:  5  6  7  8  9  10  11  12  13	м когда все X1-X14 с X17 представляют й хи когда X15 представляют и X17 представляет и X17 представляет	krg, то тогда ыляет Asn, XI	. X18 не мо: .6 представ.	кет быть As	n
His	Положение в hAlM  Mutations  ЛЬНО ШИРОКОЕ ТРЕБОВАНИЕ  'В ПОСЛЕДОВАТЕЛЬНОСТИ МУТАЦИИ МОГУТ БЫТЬ ЛЮБЬМИ В ПОСЛЕДОВАТЕЛЬНОСТИ МУТАЦИИ МОГУТ БЫТЬ ЛЮБЬМИ В ПОСЛЕДОВАТЕЛЬНОСТИ МУТАЦИИ МОГУТ БЫТЬ ЛЮБЬМИ М41К  N17,96D КИ N17,96D КИ N17,96D КИ N17,96D КИ N17,96D, R66H КИ M41K M41K M41R КИ M66H КИ M17,96D, M41K, R66H КИ N17,96D, M41K, R66H	е (продолже ние)  1 пр усло:  2  3  4 пр усло:  5  6  7  8  9  10  11  12  13  14	м когда все X1-X14 с X17 представляют й х17 представляют й когда X15 представляет и X17 представляет	krg, то тогда ыляет Asn, XI	. X18 не мо: .6 представ.	кет быть As	n
HIS HIS HIS HIS HETKU; HOGAS HETKA HOGAS H	Положение в hAlM  Mutations  льно широкое требование  'в последовательности мутации могут быть любьми в последовательности мутации могут быть любьми в последовательности мутации могут быть любьми могут быть лю	е (продолже ние)  1 пр усло:  2  3  4 пр усло:  5  6  7  8  9  10  11  12  13  14  15	м когда все X1-X14 с X17 представляют й х17 представляют й когда X15 представляет и X17 представляет	krg, то тогда ыляет Asn, XI	. X18 не мо: .6 представ.	кет быть As	n
-His -His es etrki; wofas etrka wofas etrka es met	Положение в hAlM  Mutations  ЛЬНО ШИРОКОЕ ТРЕБОВАНИЕ  В ПОСЛЕДОВАТЕЛЬНОСТИ МУТАЦИИ МОГУТ БЫТЬ ЛЮБЬМИ В ПОСЛЕДОВАТЕЛЬНОСТИ МУТАЦИИ МОГУТ БЫТЬ ЛЮБЬМИ В ПОСЛЕДОВАТЕЛЬНОСТИ МУТАЦИИ МОГУТ БЫТЬ ЛЮБЬМИ М41К N17,96D КИ N17D КИ N17D КИ N1796D КИ N17,96D КИ N17,96D, R66H КИ М41К КИ R66H КИ N17,96C, M41K, R66H КИ N17,96C, M41K, R66H КИ N17,96C, M41K, R66H КИ R66H, N96D КИ M41K, R66H	е (продолже ние)  1	м когда все X1-X14 с X17 представляют й х17 представляют й когда X15 представляет и X17 представляет	krg, то тогда ыляет Asn, XI	. X18 не мо: .6 представ.	кет быть As	n
-His -His -His -His -His -His -His -His	Положение в hAlM  Mutations  ЛЬНО ШИРОКОЕ ТРЕБОВАНИЕ  'В ПОСЛЕДОВАТЕЛЬНОСТИ МУТАЦИИ МОГУТ БЫТЬ ЛЮБЬМИ В ПОСЛЕДОВАТЕЛЬНОСТИ МУТАЦИИ МОГУТ БЫТЬ ЛЮБЬМИ В ПОСЛЕДОВАТЕЛЬНОСТИ МУТАЦИИ МОГУТ БЫТЬ ЛЮБЬМИ  М41К  N17,96D КИ N17D КИ N17,96D КИ N17,96D, R66H КИ M41K КИ R66H КИ N17, R66H КИ N17D, R66H КИ M1K, R66H КИ M41K, R66H КИ M41K, R66H КИ М41K, R66H	е (продолже ние)  1	м когда все X1-X14 с X17 представляют й х17 представляют й когда X15 представляет и X17 представляет	krg, то тогда ыляет Asn, XI	. X18 не мо: .6 представ.	кет быть As	n
HIS HIS HIS HIS HETKU; KOGAR HETKA KOGAR HETKA KOGAR HETKA KOGAR HETKA KOGAR HETKA KOGAR HETKA HOGAR HETKA HOGAR HETKA HOGAR HETKA H	Положение в hAlM  Mutations  ЛЬНО ШИРОКОЕ ТРЕБОВАНИЕ  'В ПОСЛЕДОВАТЕЛЬНОСТИ МУТАЦИИ МОГУТ БЫТЬ ЛЮБЬМИ В ПОСЛЕДОВАТЕЛЬНОСТИ МУТАЦИИ МОГУТ БЫТЬ ЛЮБЬМИ В ПОСЛЕДОВАТЕЛЬНОСТИ МУТАЦИИ МОГУТ БЫТЬ ЛЮБЬМИ М41К N17,96D КИ N17D КИ N17D КИ N17D КИ N96D КИ N17,96D, R66H КИ M41K КИ R66H КИ N17,96D, M41K, R66H КИ N17D, R66H КИ M17D, M41K	е (продолже ние)  1	м когда все X1-X14 с X17 представляют й х17 представляют й когда X15 представляет и X17 представляет	krg, то тогда ыляет Asn, XI	. X18 не мо: .6 представ.	кет быть As	n
-His -His -His -His -His -His -His -His	Положение в hAlM  Mutations  ЛЬНО ШИРОКОЕ ТРЕБОВАНИЕ  'В ПОСЛЕДОВАТЕЛЬНОСТИ МУТАЦИИ МОГУТ БИТЬ ЛЮБЬМИ В ПОСЛЕДОВАТЕЛЬНОСТИ МУТАЦИИ МОГУТ БЫТЬ ЛЮБЬМИ В ПОСЛЕДОВАТЕЛЬНОСТИ МУТАЦИИ МОГУТ БЫТЬ ЛЮБЬМИ МАТК  М17,96D КИ N170 КИ N17,96D КИ N1796D КИ N17,96D КИ N17,96D, K66H КИ M41K КИ R66H КИ M41K R66H КИ N17,96D, M41K, R66H КИ N17,96D, M41K, R66H КИ N17,96D, M41K КИ R66H КИ N17,96D, M41K КИ M17,96D, M41K	е (продолже ние)  1	м когда все X1-X14 с X17 представляют й х17 представляют й когда X15 представляет и X17 представляет	krg, то тогда ыляет Asn, XI	. X18 не мо: .6 представ.	кет быть As	n
HIS  HIS  HIS  HIS  HIS  HETKU;  KNOGAR  HETKA  KNOGAR  HETKA  HES  HET  HES  HES	Положение в hAlM  Mutations  ЛЬНО ШИРОКОЕ ТРЕБОВАНИЕ  'В ПОСЛЕДОВАТЕЛЬНОСТИ МУТАЦИИ МОГУТ БЫТЬ ЛЮБЬМИ В ПОСЛЕДОВАТЕЛЬНОСТИ МУТАЦИИ МОГУТ БЫТЬ ЛЮБЬМИ В ПОСЛЕДОВАТЕЛЬНОСТИ МУТАЦИИ МОГУТ БЫТЬ ЛЮБЬМИ М41К N17,96D КИ N17D КИ N17D КИ N17D КИ N96D КИ N17,96D, R66H КИ M41K КИ R66H КИ N17,96D, M41K, R66H КИ N17D, R66H КИ M17D, M41K	е (продолже ние)  1	м когда все X1-X14 с X17 представляют й х17 представляют й когда X15 представляет и X17 представляет	krg, то тогда ыляет Asn, XI	. X18 не мо: .6 представ.	кет быть As	n
ARCUMA.  His  His  His  His  His  His  His  Hi	Положение в hAlM  Mutations  ЛЬНО ШИРОКОЕ ТРЕБОВАНИЕ  'В ПОСЛЕДОВАТЕЛЬНОСТИ МУТАЦИИ МОТУТ БИТЬ ЛЮБЬМИ В ПОСЛЕДОВАТЕЛЬНОСТИ МУТАЦИИ МОГУТ БЫТЬ ЛЮБЬМИ В ПОСЛЕДОВАТЕЛЬНОСТИ МУТАЦИИ МОГУТ БЫТЬ ЛЮБЬМИ  М41К  N17,96D КИ N170 КИ N17,96D КИ N17,96D, К66H КИ М41К КИ R66H КИ N17,96D, M41K, R66H КИ N17,96D, M41K КИ M41K, N96D  N17,96D, R66H КИ М41K, N96D N17,96D, R66H КИ М41K, N96D N17,96D, R66H КИ М17,96D, R66H	е (продолже ние)  1	м когда все X1-X14 с X17 представляют й х17 представляют й когда X15 представляет и X17 представляет	krg, то тогда ыляет Asn, XI	. X18 не мо: .6 представ.	кет быть As	n
HIS	Положение в hAlM  Mutations  ЛЬНО ШИРОКОЕ ТРЕБОВАНИЕ  'В ПОСЛЕДОВАТЕЛЬНОСТИ МУТАЦИИ МОГУТ БЫТЬ ЛЮБЬМИ В ПОСЛЕДОВАТЕЛЬНОСТИ МУТАЦИИ МОГУТ БЫТЬ ЛЮБЬМИ В ПОСЛЕДОВАТЕЛЬНОСТИ МУТАЦИИ МОГУТ БЫТЬ ЛЮБЬМИ МАТИ МОГОТОВАТЕЛЬНОСТИ МОГОТОВНОСТИ МОГОТОВНО	е (продолже ние)  1	м когда все X1-X14 с X17 представляют й х17 представляют й когда X15 представляет и X17 представляет	krg, то тогда ыляет Asn, XI	. X18 не мо: .6 представ.	кет быть As	n
ARCUMA.  3-His 3-H	Положение в hAlM  Mutations  ЛЬНО ШИРОКОЕ ТРЕБОВАНИЕ  'В ПОСЛЕДОВАТЕЛЬНОСТИ МУТАЦИИ МОГУТ БЫТЬ ЛЮБЬВИИ В ПОСЛЕДОВАТЕЛЬНОСТИ МУТАЦИИ МОГУТ БЫТЬ ЛЮБЬВИИ В ПОСЛЕДОВАТЕЛЬНОСТИ МУТАЦИИ МОГУТ БЫТЬ ЛЮБЬВИИ МАТК  М17,96D КИ N17,96D КИ N17,96D КИ N17,96D КИ N17,96D, R66H КИ M41K КИ R66H КИ M17,96D, M41K, R66H КИ N17D, R66H КИ M17,96D, M41K, R66H КИ N17D, M41K КИ M41K, N96D  М17,96D, M41K КИ M41K, N96D  N17,96D, R66H КИ M17,96D, M41K КИ M41K, N96D  N17,96D, R66H КИ M17D, M41K КИ M41K, N96D  N17,96D, R66H КИ M17D, M41K КИ M41K, N96D  N17,96D, R66H КИ M17D, M41K, R66H КИ M17D, M41K, R66H	е (продолже ние)  1 Пр усло:  2  3  4 Пр усло:  5  6  7  8  9  10  11  12  13  14  15  16  17  18  19  20  21  22  23	м когда все X1-X14 с X17 представляют й х17 представляют й когда X15 представляет и X17 представляет	krg, то тогда ыляет Asn, XI	. X18 не мо: .6 представ.	кет быть As	n
ARCUMA.  B-His  B-His  Ges  Ges  GetKu;  Important  Important  Ges  Met  Ges  Ges  Met  Ges  Met  Ges  Met  Ges  Met  Ges  Met  Ges  Met  Ges  Ges  Met  Ges	Положение в hAlM  Mutations  ЛЬНО ШИРОКОЕ ТРЕБОВАНИЕ  'В ПОСЛЕДОВАТЕЛЬНОСТИ МУТАЦИИ МОГУТ БЫТЬ ЛЮБЬВИИ В ПОСЛЕДОВАТЕЛЬНОСТИ МУТАЦИИ МОГУТ БЫТЬ ЛЮБЬВИИ В ПОСЛЕДОВАТЕЛЬНОСТИ МУТАЦИИ МОГУТ БЫТЬ ЛЮБЬВИИ МАТК  М17,96D КИ N17,96D КИ N17,96D КИ N17,96D, R66H КИ M41K КИ R66H КИ M17D, R66H КИ N17D, M41K КИ M41K, R66H КИ N17D, M41K КИ M41K, N96D N17,96D, R66H КИ N17D, M41K КИ M41K, R66H КИ N17D, M41K КИ M41K, R66H КИ N17D, M41K, R66H КИ M17D, M41K, R66H КИ M17D, M41K, R66H КИ M41K, R66H, N96D N17,96D	е (продолже ние)  1	м когда все X1-X14 с X17 представляют й х17 представляют й когда X15 представляет и X17 представляет	krg, то тогда ыляет Asn, XI	. X18 не мо: .6 представ.	кет быть As	n
AAKCUMA. 5-His 6-His 8-His 6-His 6-H	Положение в hAlM  Mutations  ЛЬНО ШИРОКОЕ ТРЕБОВАНИЕ  'В ПОСЛЕДОВАТЕЛЬНОСТИ МУТАЦИИ МОГУТ БЫТЬ ЛЮБЬВИИ В ПОСЛЕДОВАТЕЛЬНОСТИ МУТАЦИИ МОГУТ БЫТЬ ЛЮБЬВИИ В ПОСЛЕДОВАТЕЛЬНОСТИ МУТАЦИИ МОГУТ БЫТЬ ЛЮБЬВИИ МАТК  М17,96D КИ N17,96D КИ N17,96D КИ N17,96D КИ N17,96D, R66H КИ M41K КИ R66H КИ M17,96D, M41K, R66H КИ N17D, R66H КИ M17,96D, M41K, R66H КИ N17D, M41K КИ M41K, N96D  М17,96D, M41K КИ M41K, N96D  N17,96D, R66H КИ M17,96D, M41K КИ M41K, N96D  N17,96D, R66H КИ M17D, M41K КИ M41K, N96D  N17,96D, R66H КИ M17D, M41K КИ M41K, N96D  N17,96D, R66H КИ M17D, M41K, R66H КИ M17D, M41K, R66H	е (продолже ние)  1 Пр усло:  2  3  4 Пр усло:  5  6  7  8  9  10  11  12  13  14  15  16  17  18  19  20  21  22  23	м когда все X1-X14 с X17 представляют й х17 представляют й когда X15 представляет и X17 представляет	ыяет Asn, XI	. X18 не мо: .6 представ.	кет быть As	n

	Положение в hA1M	Соединение	Комментарий
	*** ****	(продолжени	
Метка	Мутации	e)	
6His	M41K	27	
6His	R66H	28	
6His	N17,96D, M41K, R66H	29	
6His	N17D, R66H	30	
6His	R66H, N96D	31	
6His	M41K, R66H N17,96D,	32	
6His	M41K	33	
6His	N17D, M41K	34	
6His	M41K, N96D	35	
6His	N17D, M41K, R66H	36	
6His	M41K, R66H, N96D	37	
8His	N17D	38	
8His	N17,96D	39	
8His	N96D	40	
8His	N17,96D, R66H	41	Предпочтительная мутация с 8His
8His	M41K	42	
8His	R66H	43	
8His	N17,96D, M41K, R66H	44	
8His	N17D, R66H	45	
8His	R66H, N96D	46	
8His	M41K, R66H	47	
8His	N17,96D, M41K	48	
8His	N17D, M41K	49	
8His	M41K, N96D	50	
8His	N17D, M41K, R66H	51	
8His	M41K, R66H, N96D	52	

Альфа-1-микроглобулин - общая исходная информация

А1М синтезируется в печени на высоком уровне, секретируется в кровоток и переносится через стенки сосудов во внесосудистый компартмент всех органов. Белок также синтезируется в других тканях (клетках крови, головном мозге, почках, коже), но на более низком уровне. За счет небольшого размера свободный А1М быстро фильтруется из крови в почках.

А1М является членом суперсемейства липокалинов, группы белков животных, растений и бактерий с консервативной трехмерной структурой, но очень разнообразными функциями. Каждый липокалин состоит из цепи 160-190 аминокислотных остатков, которая складывается в карман структуры β-бочонка с гидрофобной внутренней частью. Известно по меньшей мере двенадцать генов человеческих липокалинов. А1М представляет собой плазматический и тканевой белок с молекулярной массой 26 кДа, который к настоящему времени был обнаружен у млекопитающих, птиц, рыб и лягушек. Трехмерная структура А1М, определенная рентгеновской кристаллографией, показана на фиг. 10. А1М синтезируется в печени на высоком уровне, секретируется в кровоток и быстро (Т1/2=2-3 мин) переносится через стенки сосуда во внесосудистый компартмент всех органов. А1М обнаружен как в виде свободной мономерной формы, так и в виде ковалентных комплексов с более крупными молекулами (IgA, альбумином, протромбином) в крови и интерстициальных тканях. За счет небольшого размера, свободный А1М быстро фильтруется из крови в почках. Большая часть затем реадсорбируется, но значительные количества выделяются с мочой.

Антиоксиданты являются защитными факторами, которые удаляют окислители или предупреждают вредные последствия окислительных реакций. Организм человека может продуцировать антиоксиданты в ответ на окислительный стресс. Такие эндогенные антиоксиданты включают супероксиддисмутазу, фермент, разрушающий супероксиды (SOD), каталазу и глутатионпероксидазу, ферменты, разрушающие пероксиды водорода, и гемоксигеназу-1, фермент, разрушающий гем (HO-1). Недавно было показано, что A1M участвует в защите тканей от окислительного повреждения, функционируя в качестве акцептора свободных радикалов и гема, а также редуктазы и ингибитора окисления. В нескольких недавно опубликованных статьях было показано, что A1M защищает клеточные культуры и эксплантаты органов от окислительного повреждения, частично посредством накопления в митохондриях и защиты митохондриальной функции. Действительно, инфузия человеческого рекомбинантного A1M была успешно использована для лечения in vivo преэклампсии, связанной с окислительным стрессом, и индуцированных гемо-

глобином повреждений клубочкового аппарата на животных моделях. Последовательность и структурные свойства A1M.

Известна полная последовательность человеческого A1M. Белок состоит из полипептида с 183 аминокислотными остатками. Было обнаружено, выделено и/или секвенирвоано много дополнительных кДНК и/или белков A1M из других млекопитающих, птиц, амфибий и рыб. Длина пептидной цепи A1M незначительно различается среди видов, в основном за счет изменений на C-конце. Сравнение выравниванием различных выведенных аминокислотных последовательностей показывает, что процент идентичности варьируется в пределах примерно 75-80% между грызунами или представителями когорты Ferungulata и человеком, примерно на урове 45% между рыбами и млекопитающими. Свободная боковая цепь цистеина в положении 34 сохраняется. Показано, что эта группа участвует в редокс-реакциях (см. ниже), в сложном образовании с другими белками плазмы и в связывании с желто-коричневым хромофором. Трехмерная структура A1M показывает, что C34 является гидрофильным и расположенным около отверстия липокалинового кармана (см. фиг. 10).

В контексте настоящего изобретения термин " $\alpha_1$ -микроглобулин" предназначен для охвата  $\alpha_1$ -микроглобулина, последовательность которого показана в SEQ ID NO: 1 (человеческий A1M), SEQ ID NO: 2 (человеческий рекомбинантный A1M) и A1M от других видов, включая их гомологи, фрагменты или варианты, обладающие сходной терапевтической активностью. Таким образом, как здесь используется, термин A1M предназначен для обозначения белка, обладающего по меньшей мере 80% идентичностью последовательности с SEQ ID NO: 1 или SEQ ID NO: 2. Как здесь используется, предпочтительно, чтобы A1M обладал по меньшей мере 90% идентичностью последовательности с SEQ ID NO: 1 или SEQ ID NO: 2. Как здесь используется, еще более предпочтительно, чтобы A1M обладал по меньшей мере 95%, например 99% или 100% идентичностью последовательности с SEQ ID NO: 1 или SEQ ID NO: 2. В предпочтительном аспекте  $\alpha_1$ -микроглобулин соответствует SEQ ID NO: 1 или 2, как здесь определено. В списке последовательностей приведены аминокислотные последовательности человеческого A1M и человеческого рекомбинантного A1M (SEQ ID NO: 1 и 2 соответственно). Однако гомологи, варианты и фрагменты A1M, имеющие важные участки белков, определенные ниже, также входят в понятие термина A1M, как здесь используется. В отношение выравнивания/идентичности см. следующий абзац.

# Подробная информация о выравнивании/идентификации

Положения аминокислотных остатков здесь относятся к положениям в человеческом wt-A1M, который обнаружен в плазме крови человека (SEQ ID NO: 1). В отношение аминокислотных остатков в рекомбинантном A1M, который содержит остаток метионина или N-формилметионина, связанный на N-конце с остатком глицина, который является исходным остатком в wt-A1M (SEQ ID NO: 2), или в мутантном человеческом A1M или A1M из других видов, то специалист в данной области поймет, как идентифицировать остатки, соответствующие остаткам в человеческом wt-A1M (SEQ ID NO: 1), даже, когда положения смещены за счет, например, делеций или инсерций.

Когда продуцируются рекомбинантные белки, то чаще всего они начинаются с исходного остатка Меt, который может быть удален, например, при участии метионинаминопептидазы или другого фермента с аналогичной активностью. Представленные здесь варианты A1M могут быть с исходным остатком Меt или без него.

#### Гомологи А1М

Как указывалось выше, гомологи A1M также можно использовать в соответствии с описанием, представленным в настоящем документе. Теоретически A1M из всех видов может использоваться для описанных здесь целей, включая наиболее примитивные, найденные к настоящему времени, которые происходят из рыб (камбалы). A1M также доступен в выделенной форме от человека, орангутанга, белковой обезьяны, крысы, голого землекопа, мыши, кролика, морской свинки, коровы, лягушки, цыпленка, моржа, ламантина и камбалы.

В отношение гомологов, вариантов и фрагментов А1М, в качестве фрагментов белка, важных для антиокислительного эффекта, были идентифицированы следующие:

```
Y22 (тирозин, положение 22, п.о. 64-66);
```

С34 (цистеин, положение 34, п.о. 100-102);

К69 (лизин, положение 69, п.о. 205-207);

К92 (лизин, положение 92, п.о. 274-276);

К118 (лизин, положение 118, п.о. 352-354);

К130 (лизин, положение 130, п.о. 388-390);

Y132 (тирозин. положение 132, п.о. 394-396):

L180 (лейцин, положение 180, п.о. 538-540);

1181 (изолейцин, положение 181, п.о. 541-543);

P182 (пролин, положение 182, п.о. 544-546);

R183 (аргинин, положение 183, п.о. 547-549).

Нумерация аминокислот и нуклеотидов по всему тексту настоящего документа относится к SEQ ID 1; если используются другие A1M из других видов, аналоги A1M или их рекомбинантные последова-

тельности, то специалист в данной области будет знать, как идентифицировать аминокислоты, соответствующие аминокислотам в SEQ ID NO: 1.

Таким образом, в тех случаях, когда A1M, например, обладает 80% (или 90%, или 95%) идентичностью последовательности с одной из последовательностей SEQ ID NO: 1 или 2, то предпочтительно, чтобы вышеуказанные аминокислоты присутствовали в соответствующих участках в молекуле.

Человеческий A1M замещен олигосахаридами в трех положениях, двумя сиалилированными сложного типа, вероятно, диантенными углеводами, связанными с N17 и N96, и еще одним простым олигосахаридом, связанным с Т5. Содержание углеводов в белках A1M из разных видов сильно варьирует, начиная от отсутствия гликозилирования вообще в Xenopus leavis до спектра различных паттернов гликозилирования. Однако один сайт гликозилирования, соответствующий N96 у человека, сохраняется у млекопитающих, что указывает на то, что данный специфический углевод может быть более важной составляющей белка, чем два других олигосахарида.

A1M имеет желто-коричневый цвет при выделении из плазмы или мочи. Цвет обусловлен наличием гетерогенных соединений, ковалентно связанных с различными аминокислотными боковыми группами, преимущественно расположенными у входа в карман. Эти модификации представляют собой окисленные продукты деградации органических окислителей, ковалентно захваченных A1M in vivo, например гема, кинуренина и тирозильных радикалов.

А1М также является неоднородным по заряду и размеру, и более сильно окрашенные в коричневый цвет молекулы А1М являются более отрицательно заряженными. Вероятное объяснение такой неоднородности заключается в том, что различные боковые группы модифицируются в различной степени разными радикалами и что модификации изменяют суммарный заряд белка. Ковалентно связанные окрашенные соединения локализованы в С34 и К92, К118 и К130, последние с молекулярными массами от 100 до 300 Да. Метаболит кинуренинового пути обмена триптофана был обнаружен ковалентно присоединенным к остаткам лизина в А1М из мочи пациентов, находящихся на гемодиализе и, по-видимому, в этом случае является причиной коричневого цвета белка [6]. Окисленные фрагменты синтетического радикала АВТS (2,2'-азино-ди-(3-этилбензотиазолин)-6-сульфоновой кислоты) были связаны с боковыми пепями У22 и У132.

С34 представляет реактивный центр A1M. Он становится высокоэлектроотрицательным, означая, что он имеет высокий потенциал для отвода электронов посредством близости положительно заряженных боковых цепей K69, K92, K118 и K130, которые индуцируют депротонирование С34 тиоловой группы, что является необходимым условием окисления атома серы. Предварительные данные показывают, что С34 является одной из наиболее известных электроотрицательных групп.

Теоретически аминокислоты, которые определяют свойства A1M (C34, Y22, K92, K118, K130, Y132, L180, 1181, P182, R183), которые будут описаны более подробно ниже, могут располагаться в аналогичной трехмерной конфигурации в другой рамке считывания, например, белка с таким же общим фолдингом (другой липокалин) или полностью искусственной органической или неорганической молекулы, такой как синтетический полимер, наночастица или металл-полимер.

Трехмерное расположение некоторых этих аминокислот (синие эллипсы, лизины изображены "+"), A1M-рамка считывания ("бочонок"), электронный поток и захват радикалов на фиг. 10.

Следовательно, предпочтительными являются гомологи, фрагменты или варианты, содержащие структуру, включающую реактивный центр и его окружение, как показано выше.

Модификации и изменения были внесены в структуру полипептидов по настоящему изобретению, которые обеспечивали молекулу, имеющую аналогичные функциональные характеристики, как и исходный полипептид (например, консервативная аминокислотная замена). Например, некоторые аминокислоты могут быть заменены на другие аминокислоты в последовательности без существенной потери активности. Поскольку интерактивная способность и природа полипептида определяет биологическую функциональную активность полипептида, то можно ввести некоторые аминокислотные замены в полипептидную последовательность и тем не менее получить полипептид с аналогичными функциональными свойствами.

При осуществлении таких изменений может быть учтен гидропатический индекс аминокислот. Важность гидропатического индекса аминокислот в придании интерактивной биологической функции полипептиду хорошо известна в данной области. Известно, что некоторые аминокислоты могут быть замещены на другие аминокислоты, имеющие аналогичный гидропатический индекс или показатель, и по-прежнему приводя к получению полипептида с аналогичной биологической активностью. Каждой аминокислоте был присвоен гидропатический индекс на основании ее гидрофобности и характеристик заряда. Такими показателями являются: изолейцин (+4,5); валин (+4,2); лейцин (+3,8); фенилалаланин (+2,8); цистеин/цистеин (+2,5); метионин (+1,9); аланин (+1,8); глицин (-0,4); треонин (-0,7); серин (-0,8); триптофан (-0,9); тирозин (-1,3); пролин (-1,6); гистидин (-3,2); глутамат (-3,5); глутамин (-3,5); аспартат (-3,5); аспарагин (-3,5); лизин (-3,9); и аргинина (-4,5).

Полагается, что относительный гидропатический характер аминокислоты определяет вторичную структуру полученного полипептида, которая, в свою очередь, определяет взаимодействие полипептида с другими молекулами, такими как ферменты, субстраты, рецепторы, антитела, антигены и тому подоб-

ное. В данной области известно, что аминокислота может быть заменена другой аминокислотой, имеющей аналогичный гидропатический индекс, и все же можно получить функционально эквивалентный полипептид. При таких изменениях замена аминокислот, у которых гидропатические индексы находятся в пределах  $\pm 2$ , являются предпочтительными, особенно предпочтительными являются те, которые имеют данный показатель в пределах  $\pm 1$ , и наиболее предпочтительными в пределах  $\pm 0,5$ .

Замена подобных аминокислот также может быть сделана на основе гидрофильности, особенно где биологически функциональный эквивалентный полипептид или пептид, созданный таким образом, предназначен для применения в иммунологических вариантах осуществления. Аминокислотным остаткам были даны следующие значения гидрофильности: аргинин (+3,0); лизин (+3,0); аспартат  $(+3,0\pm1)$ ; глутамат  $(+3,0\pm1)$ ; серин (+0,3); аспарагин (+0,2); глутамин (+0,2); глицин (0); пролин  $(-0,5\pm1)$ ; треонин (-0,4); аланин (-0,5); гистидин (-0,5); цистеин (-1,0); метионин (-1,3); валин (-1,5); лейцин (-1,8); изолейцин (-1,8); тирозин (-2,3); фенилаланин (-2,5); триптофан (-3,4). Следует понимать, что аминокислота может быть заменена другой аминокислотой, имеющей сходное значение гидрофильности и все еще давая биологически эквивалентный, и в частности иммунологически эквивалентный полипептид. При таких изменениях замена аминокислот, у которых значения гидрофильности находятся в пределах  $\pm 2$ , являются предпочтительными, особенно предпочтительными являются те, которые имеют данный показатель в пределах  $\pm 1$ , и наиболее предпочтительными в пределах  $\pm 0,5$ .

Как указано выше, аминокислотные замены в основном основаны на относительном сходстве заместителей в боковой цепи аминокислоты, например их гидрофобности, гидрофильности, заряда, размера и тому подобное. Примеры замен, которые учитывают различные указанные выше характеристики, хорошо известны специалистам в данной области техники и включают, не ограничиваясь этим (исходный остаток:примерная замена)

(Ala:

```
Gly, Ser), (Arg: Lys), (Asn: Gln, His), (Asp: Glu, Cys, Ser), (Gln: Asn), (Glu: Asp), (Gly: Ala), (His: Asn, Gln), (Ile: Leu, Val), (Leu: Ile, VaI), (Lys: Arg), (Met: Leu, Tyr), (Ser: Thr), (Thr: Ser), (Trp: Tyr), (Tyr: Trp, Phe) и (Val: Ile, Leu).
```

Таким образом, варианты осуществления настоящего раскрытия включают функциональные или биологические эквиваленты полипептида, как указано выше. В частности, варианты осуществления полипептидов могут включать варианты, имеющие примерно 50, 60, 70, 80, 90 и 95% идентичности последовательности с представляющим интерес полипептидом.

В контексте настоящего изобретения гомология между двумя аминокислотными последовательностями или между двумя последовательностями нуклеиновых кислот описывается параметром "идентичность" (см. также выше). Выравнивание последовательностей и вычисление баллов гомологии может быть выполнено с использованием полного выравнивания Смита-Ватермана, пригодного как для выравнивания белков, так и для ДНК. Матрицы оценки по умолчанию BLOSUM50 и матрица идентичности используются для выравнивания белков и ДНК соответственно. Штраф за первый остаток в гэпе составляет -12 для белков и -16 для ДНК, тогда как штраф за дополнительные остатки в гэпе составляет -2 для белков и -4 для ДНК. Выравнивание можно проводить с версией пакета FASTA v20u6.

Множественные выравнивания белковых последовательностей могут быть сделаны с использованием алгоритма "ClustalW". Множественные выравнивания последовательностей ДНК могут быть выполнены с использованием выравнивания белка в качестве матрицы, заменяя аминокислоты соответствующим кодоном из последовательности ДНК.

Альтернативно для выравнивания аминокислотных последовательностей и последовательностей ДНК можно использовать другое программное обеспечение. Выравнивание двух аминокислотных последовательностей представляет собой, например, определение с помощью программы Needle из пакета EMBOSS (http://emboss.org) версии 2.8.0. Программа Needle реализует алгоритм глобального выравнивания. Используемая матрица замещения представляет BLOSUM62, штраф за открытие гэпа равен 10, и штраф за удлинение гэпа равен 0,5.

Степень идентичности между аминокислотной последовательностью, например SEQ ID NO: 1, и другой аминокислотной последовательностью (например, SEQ ID NO: 2) вычисляют в виде числа точных совпадений при выравнивании двух последовательностей, деленное на длину "SEQ ID NO: 1" или длину "SEQ ID NO: 2", в зависимости от того, какая последовательность является самой короткой. Результат выражается в процентах идентичности. См. выше информацию относительно выравнивания и идентичности.

Точное совпадение имеет место, когда две последовательности имеют одинаковые аминокислотные остатки в одинаковых положениях при наложении.

При необходимости степень идентичности между двумя нуклеотидными последовательностями может быть определена методом Уилбера-Липмана с использованием программного обеспечения LA-SER-GENE™ MEGALIGN™ (DNASTAR, Inc., Madison, WI) с таблицей идентификации и следующими многочисленными параметрами выравнивания: штраф за гэп 10 и штраф за длину гэпа 10 баллов. Парные параметры выравнивания представляют Ktuple=3, штраф за гэп=3 и окна=20.

Процент идентичности аминокислотной последовательности полипептида, с или к, аминокислотам SEQ ID NO: 1 может быть определен: і) выравниванием двух аминокислотных последовательностей с использованием программы Needle с матрицей замены BLOSUM62, штрафом за открытие гэпа 10 и штрафом за удлинение гэпа 0,5; іі) подсчетом числа точных совпадений при выравнивании; ііі) делением числа точных совпадений на длину самой короткой из двух аминокислотных последовательностей и іv) преобразованием результата деления ііі) в проценты. Процент идентичности, к или с, другим последовательностям по изобретению рассчитывается аналогичным образом.

В качестве примера полипептидная последовательность может быть идентична референсной последовательности, которая должна быть на 100% идентичной или может включать определенное целое число аминокислотных изменений по сравнению с референсной последовательностью, так что идентичность в % будет ниже 100%. Такие изменения выбраны из по меньшей мере, делеции одной аминокислоты, замены (включая консервативную и неконсервативную замену) или инсерции, и где указанные изменения могут иметь место в положениях на аминоконце или карбоксиконце референсной полипептидной последовательности или где-либо между этими концевыми положениями, располагаются либо индивидуально среди аминокислот в референсной последовательности, либо в одной или нескольких смежных группах в референсной последовательности.

Консервативные варианты аминокислот могут также включать неприродные аминокислотные остатки. Не встречающиеся в природе аминокислоты включают, без ограничения, транс-3-метилпролин, 2,4-метанопролин, цис-4-гидроксипролин, транс-4-гидроксипролин, N-метилглицин, аллотреонин, метилтреонин, гидроксиэтилцистеин, гидроксиэтилгомоцистеин, нитроглутамин, гомоглутамин, пипеколиновую кислоту, тиазолидинкарбоновую кислоту, дегидропролин, 3- и 4-метилпролин, 3,3диметилпролин, трет-лейцин, норвалин, 2-азафенилаланин, 3-азафенилаланин, 4-азафенилаланин и 4фторфенилаланин. В данной области известно несколько способов включения в белки не встречающихся в природе аминокислотных остатков. Например, можно использовать систему in vitro, в которой нонсенс-мутации подавляются с использованием химически аминоацилированных супрессорных тРНК. Способы синтеза аминокислот и аминоацилирующей тРНК известны в данной области. Транскрипцию и трансляцию плазмид, содержащих нонсенс-мутации, проводят в бесклеточной системе, содержащей экстракт ЕЗО Е. coli и коммерчески доступные ферменты и другие реагенты. Белки очищают хроматографией. Во втором способе трансляцию проводят в ооцитах Хепориѕ микроинъекцией мутированной мРНК и химически аминоацилированных супрессорных тРНК. В третьем способе клетки E. coli культивируют в отсутствие природной аминокислоты, которая должна быть заменена (например, фенилаланин), и в присутствии желаемой неприродной аминокислоты (аминокислот) (например, 2-азафенилаланина, 3азафенилаланина, 4-азафенилаланина или 4-фторфенилаланина). Не встречающаяся в природе аминокислота вводится в белок вместо ее природного аналога. Встречающиеся в природе аминокислотные остатки могут быть превращены в не встречающиеся в природе виды химической модификацией in vitro. Химическую модификацию можно объединить с сайт-направленным мутагенезом для дальнейшего расширения ряда замен.

Альтернативные химические структуры, обеспечивающие трехмерную структуру, достаточную для поддержания антиокислительных свойств A1M, могут быть обеспечены другими технологиями, например, искусственными скаффолдами, аминокислотными заменами и тому подобное. Кроме того, структуры, имитирующие активные сайты A1M, как указано выше, рассматриваются как имеющие аналогичную терапевтическую или физиологическую функцию, что и A1M.

Фармацевтические композиции и дозировка

Настоящее изобретение также обеспечивает набор, включающий

- і) фармацевтическую композицию, содержащую контрастное вещество, и
- ii) фармацевтическую композицию, содержащую A1M с любой из последовательностей SEQ ID NO: 1-10 и 17, или любой из белков, полученных из A1M, указанных здесь (или мутант, аналог, фрагмент или вариант, как здесь определено).

Ниже приводится список последовательностей. Изобретение охватывает все возможные варианты, например такие, как приведенные здесь.

```
SEQ ID NO: 1: wt hA1M
SEQ ID NO: 2: rhA1M (т.е. Met-A1M)
SEQ ID NO: 3: предпочтительная мутация без «удлинения» -
```

```
N17,96D, R66H
    SEQ ID NO: 4: без удлинения, М41К
     SEQ ID NO: 5: предпочтительная мутация с 6His, N17,96D,
R66H
    SEQ ID NO: 6: 6His, M41K
    SEQ ID NO: 7: предпочтительная мутация с удлинением 8His,
N17,96D, R66H
    SEQ ID NO: 8: 8His, M41K
     SEQ ID NO: 9: удлинение+wt hA1M
    SEO ID NO: 10: идентичный А1М с возможными удлинениями
     SEQ ID NO: 11-16: сегменты wt hA1M
    SEQ ID NO: 17: идентичный А1М, усеченный на С-конце, с
возможными удлинениями
     SEQ ID NO: 18: предпочтительная мутация без «удлинения» -
N17,96D, R66; усеченный на С-конце
     SEQ ID NO: 19: без удлинения, М41К; усеченный на С-конце
    SEQ ID NO: 20: предпочтительная мутация с 6His, N17,96D,
R66H; усеченный на C-конце
    SEO ID NO: 21: 6His, M41K; усеченный на С-конце
    SEQ ID NO: 22: предпочтительная мутация с удлинением 8His,
N17,96D, R66H; усеченный на С-конце
    SEQ ID NO: 23: 8His, M41K; усеченный на С-конце.
```

Набор находится в форме одной упаковки, содержащей две вышеуказанные композиции.

Фармацевтическая композиция, содержащая контрастное вещество, обычно представляет собой композицию, уже представленную на рынке.

Фармацевтическая композиция, содержащая A1M (или его аналог, фрагмент или вариант, как здесь определено), предназначена для в/в введения. Следовательно, A1M может быть формулирован в жидкости, например в растворе, дисперсии, эмульсии, суспензии и т.д.

Для парентерального применения подходящими растворителями являются вода, растительные масла, пропиленгликоль и органические растворители, обычно разрешенные для таких целей. В общем, специалист в данной области может найти указания в "Remington's Pharmaceutical Science" под редакцией Gennaro et al. (Mack Publishing Company), в "Handbook of Pharmaceutical Excipients" под редакцией Rowe et al. (PhP Press) и в официальных монографиях (например, Ph.Eur. или USP), в разделах, касающихся соответствующих эксципиентов для конкретных типов составов, и к способам получения конкретного состава.

А1М будет вводиться в виде одной или более доз в сочетании с введением контрастного вещества. Предпочтительно каждая доза будет вводиться в/в либо в виде разовой дозы, в виде разовой дозы с последующей медленной инфузией в течение короткого периода времени до 60 мин или только в виде медленной инфузии в течение короткого периода времени до 60 мин. Первая доза может вводиться одновременно с контрастным веществом или в течение периода продолжительностью от 0-60 мин до 0-30 мин после инъекции контрастного вещества. Могут вводиться дополнительные дозы А1М, но они могут быть необязательными, после инъекции контрастного вещества. Каждая доза содержит количество А1М, которое зависит от массы тела пациента: 1-15 мг А1М/кг пациента.

# Свободный текст перечня последовательностей:

SEQ ID NO: 1

<223> человеческий А1М дикого типа, без мутаций

SEQ ID NO: 2

<223> rhA1M, т.е. N-концевой Met

SEQ ID NO: 3

<223> hA1M, без метки, N-концевой Met, N17,96D; R66H

SEQ ID NO: 4

<223> hA1M, без метки, N-концевой Met, M41K

SEQ ID NO: 5

<223> 6His, N17,96D; R66H

SEQ ID NO: 6

<223> hA1M, 6His, M41K

SEQ ID NO: 7

<223> 8His, N17,96D; R66H

SEQ ID NO: 8

<223> hA1M, 8His, M41K

SEQ ID NO: 9

<223> hA1M, 8His, без мутации SEQ ID NO: 10 <211> 193 <212> БЕЛОК <213> Homo sapiens <220> <221> ВАРИАНТ <222> 1 <223> Xaa=Met или отсутствует <220> <221> ВАРИАНТ <222> 1 <223> Хаа=Мет или отсутствует <220> <221> ВАРИАНТ <222> 2 <223> Хаа=Ніѕ или отсутствует <220> <221> ВАРИАНТ <222> 2 <223> Хаа=Ніѕ или отсутствует <220> <221> ВАРИАНТ <222> 3 <223> Хаа=Ніѕ или отсутствует <220> <221> ВАРИАНТ <222> 3 <223> Хаа=Ніѕ или отсутствует <220>

<221> ВАРИАНТ

<221> ВАРИАНТ

<223> Хаа=Ніѕ или отсутствует

<222> 4

<220>

<223> Хаа=Ніѕ или отсутствует <220> <221> ВАРИАНТ <222> 5 <223> Хаа=Ніѕ или отсутствует <220> <221> ВАРИАНТ <222> 5 <223> Хаа=Ніѕ или отсутствует <220> <221> ВАРИАНТ <222> 6 <223> Хаа=Ніѕ или отсутствует <220> <221> ВАРИАНТ <222> 6 <223> Xaa=His или отсутствует <220> <221> ВАРИАНТ <222> 7 <223> Xaa=His или отсутствует <220> <221> ВАРИАНТ <222> 7 <223> Хаа=Ніѕ или отсутствует <220> <221> ВАРИАНТ <222> 8 <223> Xaa=His или отсутствует <220> <221> ВАРИАНТ <222> 8 <223> Xaa=His или отсутствует <220> <221> ВАРИАНТ

<223> Хаа=Ніѕ или отсутствует <220> <221> ВАРИАНТ <222> 9 <223> Хаа=Ніѕ или отсутствует <220> <221> ВАРИАНТ <222> 10 <223> Xaa=Asp, Glu, Lys, Arg или отсутствует <220> <221> ВАРИАНТ <222> 10 <223> Xaa=Asp, Glu, Lys, Arg или отсутствует <221> ВАРИАНТ <222> 11 <223> Xaa=Asp, Glu, Lys, Arg или отсутствует <220> <221> ВАРИАНТ <222> 11 <223> Xaa=Asp, Glu, Lys, Arg или отсутствует <220> <221> ВАРИАНТ <222> 12 <223> Xaa=Asp, Glu, Lys, Arg или отсутствует <220> <221> ВАРИАНТ <222> 12 <223> Xaa=Asp, Glu, Lys, Arg или отсутствует <220> <221> ВАРИАНТ <222> 13 <223> Xaa=Asp, Glu, Lys, Arg или отсутствует <220> <221> ВАРИАНТ

```
<223> Xaa=Asp, Glu, Lys, Arg или отсутствует
<220>
<221> ВАРИАНТ
<222> 14
<223> Xaa=Asp, Glu, Lys, Arg или отсутствует
<221> ВАРИАНТ
<222> 14
<223> Xaa=Asp, Glu, Lys, Arg или отсутствует
<221> ВАРИАНТ
<222> 31
<223> Xaa=Asn или Asp
<220>
<221> ВАРИАНТ
<222> 55
223> Xaa=Met или Lys
<220>
<221> ВАРИАНТ
<222> 80
<223> Xaa=Arg или His
<220>
<221> ВАРИАНТ
<222> 110
<223> Xaa=Asn или Asp
SEQ ID NO: 11
<223> Y1
SEQ ID NO: 12
<223> Y2
SEQ ID NO: 13
<223> Y3
SEQ ID NO: 14
<223> Y4
SEQ ID NO: 15
```

<223> Y5

SEQ ID NO: 16

<223> Y5 SEQ ID NO: 17 <211> 197 <212> БЕЛОК <213> Homo sapiens <220> <221> ВАРИАНТ <222> 1 <223> Хаа=Меt или отсутствует <220> <221> ВАРИАНТ <222> 1 <223> Xaa=Met или отсутствует <220> <221> ВАРИАНТ <222> 2 <223> Хаа=Ніѕ или отсутствует <220> <221> ВАРИАНТ <222> 2 <223> Хаа=Ніѕ или отсутствует <220> <221> ВАРИАНТ <222> 3 <223> Хаа=Ніѕ или отсутствует <221> ВАРИАНТ <222> 3 <223> Хаа=Ніѕ или отсутствует

<220>

<222> 4

<220>

<222> 4

<221> ВАРИАНТ

<221> ВАРИАНТ

<223> Хаа=Ніѕ или отсутствует

- 20 -

<223> Xaa=His или отсутствует <220> <221> ВАРИАНТ <222> 5 <223> Хаа=Ніѕ или отсутствует <220> <221> ВАРИАНТ <222> 5 <223> Хаа=Ніѕ или отсутствует <220> <221> ВАРИАНТ <222> 6 <223> Хаа=Ніѕ или отсутствует <220> <221> ВАРИАНТ <222> 6 <223> Хаа=Ніѕ или отсутствует <221> ВАРИАНТ <222> 7 <223> Хаа=Ніѕ или отсутствует <220> <221> ВАРИАНТ <222> 7 <223> Xaa=His или отсутствует <220> <221> ВАРИАНТ <222> 8 <223> Хаа=Ніѕ или отсутствует <220> <221> ВАРИАНТ <222> 8

<223> Xaa=His или отсутствует

<220>

<222> 9

<221> ВАРИАНТ

<223> Хаа=Ніѕ или отсутствует <220> <221> ВАРИАНТ <222> 9 <223> Хаа=Ніѕ или отсутствует <220> <221> ВАРИАНТ <222> 10 <223> Xaa=Asp, Glu, Lys, Arg или отсутствует <221> ВАРИАНТ <222> 10 <223> Xaa=Asp, Glu, Lys, Arg или отсутствует <220> <221> ВАРИАНТ <222> 11 <223> Xaa=Asp, Glu, Lys, Arg или отсутствует <221> ВАРИАНТ <222> 11 <223> Xaa=Asp, Glu, Lys, Arg или отсутствует <220> <221> ВАРИАНТ <222> 12 <223> Xaa=Asp, Glu, Lys, Arg или отсутствует <220> <221> ВАРИАНТ <222> 12 <223> Xaa=Asp, Glu, Lys, Arg или отсутствует <220> <221> ВАРИАНТ <222> 13 <223> Xaa=Asp, Glu, Lys, Arg или отсутствует <220> <221> ВАРИАНТ

```
<223> Xaa=Asp, Glu, Lys, Arg или отсутствует
     <220>
     <221> ВАРИАНТ
     <222> 14
     <223> Xaa=Asp, Glu, Lys, Arg или отсутствует
     <220>
    <221> ВАРИАНТ
     <222> 14
     <223> Xaa=Asp, Glu, Lys, Arg или отсутствует
     <220>
     <221> ВАРИАНТ
    <222> 31
     <223> Xaa=Asn или Asp
    <220>
    <221> ВАРИАНТ
     <222> 55
    <223> Xaa=Met или Lys
    <220>
    <221> ВАРИАНТ
     <222> 80
     <223> Xaa=Arg или His
    <220>
    <221> ВАРИАНТ
     <222> 110
     <223> Xaa=Asn или Asp
    SEQ ID NO: 18
     <223> hA1M, без метки, N-концевой Met, N17,96D; R66H;
усеченный
     SEQ ID NO: 19
     <223> hA1M, без метки, N-концевой Met, M41K; усеченный
     SEQ ID NO: 20
     <223> 6His, N17,96D; R66H; усеченный
     SEQ ID NO: 21
     <223> hA1M, 6His, M41K; усеченный
     SEQ ID NO: 22
     <223> 8His, N17,96D; R66H; усеченный
```

SEQ ID NO: 23

<223> hA1M, 8His, M41K; усеченный

SEQ ID NO: 24

<223> 1.М8Н5GIEGR-мышь

SEQ ID NO: 25

<223> 2. М8H5GIEGR-голый землекоп

SEQ ID NO: 26

<223> 3. М8Н5GIEGR-лягушка

SEQ ID NO: 27

<223> 4. M8H5GIEGR-цыпленок

SEQ ID NO: 28

<223> 5. M8H5GIEGR-кролик

SEQ ID NO: 29

<223> 6. М8Н5GIEGR-беличья обезьяна

SEQ ID NO: 30

<223> 7. M8H5GIEGR-морж

SEQ ID NO: 31

<223> 8. M8H5GIEGR-ламантин

SEQ ID NO: 32

<223> 9. M8H5GIEGR-камбала

SEQ ID NO: 33

<223> 10. M8H5GIEGR-орангутанг

SEQ ID NO: 34

<223> 11. M8H5GIEGR-человек Р35K

SEQ ID NO: 35

<223> 12. M8H5GIEGR-человек M41K

SEQ ID NO: 36

M8H5GIEGR-человек R66H

SEQ ID NO: 37

<223> 14. M8H5GIEGR-человек Т75К

SEQ ID NO: 38

<223> 15. M8H5GIEGR-человек Т75Y

SEQ ID NO: 39

<223> 16. M8H5GIEGR-человек M99K

SEQ ID NO: 40

<223> 17. M8H5GIEGR-человек S101Y

- SEQ ID NO: 41
- <223> 18. M8H5GIEGR-человек K69.92.118.130R
- SEQ ID NO: 42
- <223> 19. М8Н5GIEGR-латимерия
- SEQ ID NO: 43
- <223> 21. M8H5GIEGR-человек L89T
- SEQ ID NO: 44
- <223> 22. M8H5GIEGR-человек N1796D
- SEQ ID NO: 45
- <223> 23. M8H5GIEGR-человек Т45К
- SEQ ID NO: 46
- <223> 24. M8H5GIEGR-человек A135E
- SEQ ID NO: 47
- <223> 25. M8H5GIEGR-человек V170S
- SEQ ID NO: 48
- <223> 26. М8H5GIEGR-человек
- SEQ ID NO: 49
- <223> 27. M8H5GIEGR-человек G172Q
- SEO ID NO: 50
- <223> 33. М8Н4DK-человек М41К+
- SEQ ID NO: 51
- <223> 34. М8Н4DK-человек М41K+N1796D 34
- SEQ ID NO: 52
- <223> 35. М8Н4DК-человек R66H+N1796D
- SEQ ID NO: 53
- <223> 36. М8Н4DK-человек М41K+R66H+N1796D
- SEQ ID NO: 54
- <223> 38. М8Н4DK-человек R66H
- SEQ ID NO: 55
- <223> 39.М8Н4DK-человек
- SEQ ID NO: 56
- <223> 40. М8H-человеческий wt
- SEQ ID NO: 57
- <223> 41. М8Н-человек R66H+N1796D
- SEQ ID NO: 58
- <223> 60. М8Н4DK-человеческий wt

SEQ ID NO: 59

<223> 1.М8Н5GIEGR-мышь

SEQ ID NO: 60

<223> 2. М8Н5GIEGR-голый землекоп

SEQ ID NO: 61

<223> 3. М8Н5GIEGR-лягушка

SEO ID NO: 62

<223> 4. M8H5GIEGR-цыпленок

SEQ ID NO: 63

<223> 5. M8H5GIEGR-кролик

SEQ ID NO: 64

<223> 6. М8Н5GIEGR-беличья обезьяна

SEQ ID NO: 65

<223> 7. М8H5GIEGR-морж

SEQ ID NO: 66

<223> 8. M8H5GIEGR-ламантин

SEQ ID NO: 67

<223> 9. M8H5GIEGR-камбала

SEQ ID NO: 68

<223> 10. M8H5GIEGR-орангутанг

SEQ ID NO: 69

<223> 11. M8H5GIEGR-человек Р35К

SEQ ID NO: 70

<223> 12. M8H5GIEGR-человек M41K

SEQ ID NO: 71

<223> 13. М8Н5GIEGR- человек R66H

SEQ ID NO: 72

<223> 14. M8H5GIEGR-человек Т75K

SEQ ID NO: 73

<223> 15. M8H5GIEGR-человек Т75Y

SEQ ID NO: 74

<223> 16. M8H5GIEGR-человек M99K

SEQ ID NO: 75

<223> 17. M8H5GIEGR-человек S101Y

SEQ ID NO: 76

<223> 18. М8H5GIEGR-человек K69.92.118

SEQ ID NO: 77 <223> 19. M8H

<223> 19. М8Н5GIEGR-латимерия

SEQ ID NO: 78

<223> 21. M8H5GIEGR- человек L89T

SEQ ID NO: 79

<223> 22. M8H5GIEGR-человек N1796D

SEQ ID NO: 80

<223> 23. M8H5GIEGR-человек Т45K

SEO ID NO: 81

<223> 24. M8H5GIEGR-человек A135E

SEQ ID NO: 82

<223> 25. M8H5GIEGR-человек V170S

SEQ ID NO: 83

<223> 26. M8H5GIEGR-человек V148D

SEQ ID NO: 84

<223> 27. M8H5GIEGR-человек G172Q

SEQ ID NO: 85

<223> 33. М8Н4DK-человек М41K+R66H

SEQ ID NO: 86

<223> 34. М8Н4DK-человек М41K+N1796D

SEQ ID NO: 87

<223> 35. М8Н4DK-человек R66H+N1796D

SEQ ID NO: 88

<223> 36. М8Н4DK-человек М41К+R66H+N1796D

SEQ ID NO: 89

<223> 37. М8Н4DK-человек М41К

SEQ ID NO: 90

<223> 38. М8Н4DK-человек R66H

SEQ ID NO: 91

<223> 39. М8Н4DK-человек N1796D

SEO ID NO: 92

<223> 40. М8H-человеческий wt

SEQ ID NO: 93

<223> 41. М8Н-человек R66H+N1796D

SEQ ID NO: 94

<223> 42. без метки, человек R66H+N1796D

SEQ ID NO: 95

<223> 61. без метки, человеческий wt

Сокращенные обозначения:

А1М: альфа-1-микроглобулин;

ІВ: тельца включения;

wt: дикий тип;

R66H: точечная мутация в гене A1M, приводящая к экспрессии His вместо Arg в положении 66;

N17,96D: точечные мутации в гене A1M, приводящие к экспрессии Asp вместо Asn в положениях 17 и 96:

M8H4DK: пептид с аминокислотной последовательностью МННННННННDDDK;

M6H4DK: пептид с аминокислотной последовательностью МННННННDDDDK;

М8Н: пептид с аминокислотной последовательностью МНННННН; M8H5GIEGR:

пептид с аминокислотной последовательностью МНННННННGGGGGGIEGR;

CV: объем колонки;

SEC: эксклюзионная хроматография; DLS: динамическое рассеяние света;

DSF: дифференциальная сканирующая флуориметрия;

Gu-HCl: гуанинидин гидрохлорид;

ORAC: объем поглощения кислородных радикалов;

SD: стандартное отклонение;

PAGE: электрофорез в полиакриламидном геле.

Определения

В описании и формуле раскрытого предмета изобретения будет использоваться следующая терминология в соответствии с определениями, изложенными ниже. Если не указано иное, то все технические и научные термины, используемые здесь, имеют то же значение, которое обычно понимается специалистом обычной квалификации в области, к которой относится настоящее раскрытие. В некоторых случаях обычно понимаемые значения определены в данной заявке для пояснения и/или для готовой справки, и включение таких определений не требует интерпретации того, что представляют существенные отличия от того, что обычно понимается в этой сфере знаний. Методики и процедуры, описанные или упомянутые здесь, хорошо понятны и обычно используются с применением общепринятой методологии специалистами в данной области. При необходимости процедуры, связанные с использованием коммерчески доступных наборов и реагентов, обычно выполняются в соответствии с описанными изготовителем протоколами и/или параметрами, если не указано иное. Несмотря на то, что на практике или при испытании настоящего изобретения могут использоваться любые способы и материалы, подобные или эквивалентные описанным здесь способам и материалам, здесь приводится описание предпочтительных способов и материалов.

В настоящем описании, если не указано иное, то "а" или "ап" означает "один или более".

Термины "лечение или профилактика" в их различных грамматических формах в контексте настоящего изобретения относятся к предупреждению, излечению, реверсии, ослаблению, облегчению, улучшению состояния, ингибированию, минимизации, подавлению или остановке (1) патологических эффектов расстройства, (2) прогрессирования расстройства или (3) развития возбудителя расстройства.

Термин "эффективное количество" в контексте настоящего изобретения относится к такому количеству, которое обеспечивает терапевтический эффект для данного патологического состояния и режима введения. Это заранее определенное количество активного вещества, рассчитанное для получения желаемого терапевтического эффекта в сочетании с необходимыми добавками и разбавителями; т.е. носителем или растворителем для введения. Кроме того, данный термин предназначен для обозначения количества, достаточного для снижения и наиболее предпочтительно предупреждения клинически значимого дефицита активности, функции и ответа хозяина. Альтернативно терапевтически эффективное количество является достаточным, чтобы вызвать улучшение клинически значимого состояния у хозяина. Как понятно специалистам в данной области, количество соединения может варьироваться в зависимости от его специфической активности. Подходящие дозировки могут содержать заранее определенное количество активной композиции, рассчитанное так, чтобы обеспечивать желаемый терапевтический эффект в сочетании с необходимым разбавителем, т.е. носителем или добавкой. Кроме того, вводимая дозировка будет варьироваться в зависимости от активного вещества или активных веществ, которые должны использоваться, возраста, массы тела и т.д. пациента, подвергающегося лечению, но обычно будет находиться в пределах от 0,001 до 1000 мг/кг массы тела/сутки. Кроме того, доза зависит от пути введения.

Термин "полипептиды" включает белки и их фрагменты. Полипептиды раскрыты здесь в виде последовательностий аминокислотных остатков. Данные последовательности представлены слева направо в направлении от аминогруппы к карбоксиконцу. В соответствии со стандартной номенклатурой последовательности аминокислотных остатков обозначены трехбуквенным или однобуквенным кодом, как указано ниже: аланин (Ala, A), аргинин (Arg, R), аспарагин (Asn, N), аспарагиновая кислота (Asp, D), цистеин (Cys, C), глутамин (Gln, Q), глутаминовая кислота (Glu, E), глицин (Glyl G), гистидин (His, H), изолейцин (Ile, I), лейцин (Leu, L), лизин (Lys, K), метионин (Met, M), фенилаланин (Phe, F), пролин (Pro, P), серин (Ser, S), треонин (Thr, T), триптофан (Trp, W), тирозин (Туг, Y) и валин (Val, V).

"Вариант" относится к полипептиду или полинуклеотиду, который отличается от референсного полипептида или полинуклеотида, но сохраняет основные свойства. Типичный вариант полипептида отличается по аминокислотной последовательности от другого референсного полипептида. Как правило, различия ограничиваются таким образом, что последовательности референсного полипептида и варианта в целом очень сходны (гомологичны) и во многих областях идентичны. Вариант и референсный полипеп-

тид могут отличаться по аминокислотной последовательности одной или более модификациями (например, заменами, добавлениями и/или делециями). Замененный или вставленный аминокислотный остаток может кодироваться или может не кодироваться генетическим кодом. Вариант полипептида может встречаться в природе, такой как аллельный вариант, или он может быть вариантом, который, как известно, не встречается в природе.

Изобретение далее иллюстрировано (но не ограничивается) фигурами.

#### Пояснения к фигурам

Фиг. 1. Выравнивание аминокислотной последовательности А1М из 12 различных видов.

Аминокислотную последовательность человеческого wt A1M и 11 дополнительных видов, исследофазе І проекта, выравнивали с использованием программного обеспечения http://www.ebi.ac.uk/Tools/msa/clustalw2/. Идентичность различных последовательностей с человеческой последовательностью представлена в виде процентов. Аминокислоты, идентичные между всеми видами, выделены желтым цветом. Кроме того, выделены аминокислоты, которые считаются важными в человеческом А1М: неспаренный остаток цистеина (С34), важный для проявления восстановительных и антиоксидантных свойств (Allhorn et al., 2005), а также связывания гема, выделены розовым цветом (Mening and Skerra, 2012). Аспарагины, которые, как известно, являются гликозилированными (N17 и 96), отмечены зеленым цветом (Escribano et al., 1990). Четыре лизина (К69, 92, 118 и 130), которые были обнаружены модифицированными в A1M из мочи (Åkerström et al., 1995; Berggård et al., 1999) и считаются важными для проявления редуктазной активности (Allhorn et al., 2005), отмечены голубым цветом. Н123, который предположительно участвует в связывании гема (Meining and Skerra, 2012), выделен серым цветом, и, наконец, тирозины (Ү22 и 132), которые, как показано, участвуют в гашении свободных радикалов (Åkerström et al., 2007), выделены в темно-синим цветом.

Фиг 2. SDS-PAGE экспрессированных белков в фазе III. Равное количество бактериального лизата из неиндуцированных образцов (обозначено 0) и образцов, отобранных через 1-4 ч после индукции (обозначены 1, 2, 3, 4), разделяли электрофорезом SDS-PAGE. В этих образцах полоса чуть ниже 25 кДа экспрессируется в возрастающих количествах во времени. Интенсивность полос достигает максимума через 3 ч после индукции. М8Н-меченные wt-A1M и R66K+N17,96D-A1M экспрессируются с молекулярными массами несколько ниже, чем соответствующие полосам М8Н4DK, но и в данном случае уровень экспрессии достигает максимума примерно через 3 ч. Немеченные wt-A1M и R66H+N17,96D-A1M присутствуют в виде еще более мелких полос, но в данном случае интенсивность полос выше на 4 ч, чем на 3 ч, что указывает на несколько замедленную экспрессию, в частности для wt A1M.

Фиг. 3. Выход, чистота и агрегация вариантов фазы III.

- А. Сравнивали выходы выделенных A1M всех вариантов фазы III. Все варианты были получены с высокими выходами, с несколько более низким выходом немеченного wt-A1M.
- В. Чистоту определяли разделением 10 мкг всех вариантов электрофорезом SDS-PAGE. Чистоту определяли с помощью денсиометрического анализа основной полосы мономера по сравнению со всеми полосами с использованием программного обеспечения Image от Bio-Rad. Все варианты с гистидиновыми метками показали очень высокую чистоту, в то время как чистота немеченных вариантов была несколько ниже (примерно 90%).
- С. Присутствие крупных агрегатов анализировали разделением 20 мкг каждого варианта нативным PAGE. Интенсивность основной полосы мономера и вещества, оставшегося в щели для нанесения (очень крупный агрегированный), определяли денситометрией. Большинство вариантов демонстрировали низкие количества крупных агрегатов, за исключением M8H-wt-A1M и немеченных вариантов, которые имеют несколько более высокий процент. Все варианты кодированы номером, указанным на панели A.
  - Фиг. 4. Анализ агрегации 100 мкМ и 1 мМ растворов вариантов фазы III в различных буферах.

Тенденцию к агрегации после концентрирования из 100 мкМ до 1 мМ в разных буферах исследовали анализом нативным PAGE. 20 мкг белка разделяли в каждой полосе. Процент крупных агрегатов рассчитывали с использованием денситометрического анализа по интенсивности отдельных полос.

- А. Все варианты концентрировали из 100 мкМ до 1 мМ в Трис-буфере с рН 8,0 или 7,4 и разделяли РАGE. М8H4DK-wt, R66H+N1796D, M41K, R66H, N1796D обозначены как 60, 35, 37, 38 и 39 соответственно, М8H-wt и М8H-R66H+N1796D обозначены как 40 и 41 и немеченные wt и R66H+N1796D обозначены как 61 и 42.
- В. Варианты концентрировали до 1 мМ в Трис-буфере с pH 8,0 и 7,4 и в PBS с pH 7,4, подвергали одному циклу замораживания-оттаивания и затем разделяли PAGE и анализировали, как описано выше.

Фиг. 5. Анализ редуктазной и антиоксидантной активности вариантов фазы III.

А. Редуктазную активность анализировали по восстановлению ABTS-радикала. 0-2 мкМ A1M добавляли в двух повторностях к 56 мкМ ABTS-радикала. Восстановление оценивали по уменьшению поглощения при 405 нм в течение 95 с. Рассчитывали площадь под кривой (AUC) для каждой концентрации, и общую AUC рассчитывали вычитанием AUC только буфера. Строили график зависимости среднего значения общей AUC+SEM по двум повторностям против концентрации. Все варианты М8Н4DK имеют примерно такую же активность, как wt A1M, с тенденцией к снижению активности для М41К и R66H. М8Н и немеченные варианты также демонстрируют полную активность с наличием небольшой

тенденции к повышению активности для вариантов R66H+N1796D по сравнению с wt A1M.

В. Антиоксидантную активность исследовали в анализе ORAC. Активность вариантов A1M сравнивали со стандартом Тролокс и выражали в виде количества эквивалентов Тролокс. Каждый анализ проводили в трех повторностях и результат для M84DK-wt устанавливали на 100%. Антиоксидантную активность всех других вариантов выражали по отношению к нему. Вариант M8H4DK-R66H+N17,96D показал достоверно более высокую активность, чем M8H4DK-wt A1M. Когда метки были укорочены или удалены, то разница была меньше. Приведенные данные представляют объединенные результаты двух независимых экспериментов.

Фиг. 6. Анализ редуктазной активности и связывания гема вариантов фазы III.

А. Способность вариантов A1M восстанавливать цитохром С исследовали смешиванием серийных разведений (0-10 мкМ) A1M с 100 мкМ цитохрома С+100 мкМ NADH и оценкой увеличения оптической плотности при 550 нм в течение 20 мин. Анализ проводили в двух повторностях. АUC рассчитывали для каждой концентрации и общую AUC рассчитывали вычитанием AUC только буфера. Данные представлены в виде общая AUC+SEM по двум независимым экспериментам. В качестве отрицательного контроля использовали овальбумин. Большинство вариантов A1M показали несколько более низкую способность к восстановлению по сравнению с A1M дикого типа в более низких концентрациях. Для N17,96D-A1M и R66H+N17,96D-A1M эта тенденция была достоверной (при 0,3-0,6 мкМ). Укорочение и удаление метки не повлияло на эту активность.

В. Включение гема в варианты A1M анализировали по появлению пика поглощения между 410-420 нм и величиной красного смещения пика (Karnaukhova et al., 2014; Rutardottir et al., 2016); 44 мкМ белковых растворов смешивали с 40 мкМ гема в двух повторностях и инкубировали в течение 2 ч при комнатной температуре. Смеси анализировали сканированием при длинах волн в интервале 270-450 нм. Вычисляли положение максимального пика и отношение 413:386. Все варианты М8Н4DK имеют примерно одинаковое красное смещение и отношение, что и wt-A1M, в то время как М8Н-меченные варианты имеют достоверно более высокое отношение. Немеченные варианты не имеют активности красного смещения, что подтверждает ранее полученные результаты (Karnaukhova et al., 2014).

С. Связывание A1M с гем-гарозой. Специфическое связывание A1M анализировали смешиванием серийных разведений A1M или контрольного овальбумина с гем-гарозой или контрольной агарозой. Анализ проводили в двух повторностях. Количественное определение белка исходного материала и проточных фракций с инкубации с гем-агарозой и контрольной агарозой определяли с использованием ВСА. По этим данным можно определить количество белка, специфически связанного с гем-агарозой, для каждого образца. Строили график зависимости связанного белка против добавленного белка, и была показана линейная корреляция для всех вариантов. Наклон линии рассчитывали линейной регрессией, и показано среднее значение для двух повторностей. Все варианты связывают гем в этом методе примерно в одинаковой степени.

Фиг. 7. Спасение клеток К562 от гибели, индуцированной гемом.

Клетки К562 подвергали воздействию 100 мкМ гема в присутствии серийных разведений А1М (0-10 мкМ) в течение 1 ч. Затем определяли гибель клеток по высвобождению ЛДГ в среду. Значение поглощения от живых клеток вычитали и сигнал клеток, инкубированных с гемом без А1М, устанавливали на 100%. Рассчитывали значения инкубации с А1М относительно этого значения. Анализ проводили в двух повторностях. Средний результат трех независимых экспериментов (среднее значение+SEM) показан на фигуре. Отсутствовала достоверная разница между вариантами, за исключением немеченного R66H+N17,96D-A1M, который имел более низкую активность, чем немеченный wt-A1M.

Фиг. 8. Разделение по размеру и редуктазная активность M8H4DK-R66H+N17,96D-A1M и M8H4DK-wt-AlM после хранения при +4°C и комнатной температуре.

М8Н4DK-Wt-A1M и M8H4DK-R66H+N17,96D-A1M представлены в виде "wt" и "варианта 35" и показаны соответственно на верхней и нижней панелях. Агрегацию анализировали SEC-FPLC. Мономерный A1M и крупные агрегаты элюировались примерно при 15 мл и 8 мл соответственно. Небольшое плечо, видимое примерно при 13-14 мл, вероятно, представляет димерный A1M. Процент крупных агрегатов рассчитывали по площади под пиком, соответствующим 8 мл, в сравнении с общей площадью пика. Выделение белка (%, показанное курсивом) после воздействия напряжения рассчитывали по общим площадям пиков по сравнению с общей площадью пика исходного материала. Восстановительную активность ABTS анализировали в 2 мкМ растворах A1M. Данные представлены в виде среднего значения для двух повторностей. Только размороженные 100 мМ растворы A1M показаны в (A), 100 мкМ раствор A1M, подвергнутый пяти циклам замораживания-оттаивания (B), 1 мМ раствор A1M, хранящийся при +4°C в течение нечели (С), 1 мМ раствор A1M, хранящийся при +4°C в течение недели (Б), и 1 мМ раствор A1M, хранящийся при комнатной температуре в течение недели (Е), и 1 мМ раствор A1M, хранящийся при комнатной температуре в течение недели (Б) и хранение при комнатной температуре (Е и F).

Фиг. 9. Разделение по размеру и редуктазная активность 1 мМ М8H4DK-wt-A1M и М8H4DK-

R66H+N17,96D-A1M после хранения при +37°C.

Wt-A1M и R66H+N17,96D-A1M обозначены в виде "ht2014" и "35" и показаны соответственно на верхней и нижней панелях. Агрегацию анализировали SEC-FPLC. Мономерный A1M и крупные агрегаты элюируются примерно на 20 мин и 12 мин соответственно. Небольшое плечо, наблюдаемое примерно на 18-19 мин, вероятно, является димерным A1M. Процент крупных агрегатов рассчитывали по площади под пиком на 12 мин по сравнению с общей площадью пика. Выделение белка (%, показанное курсивом) после приложения напряжения рассчитывали по общим площадям пиков по сравнению с общей площадью пика исходного материала. Редуктазную активность для ABTS анализировали в 2 мкМ растворах A1M. Данные представлены в виде среднего значения для двух повторностей. 1 мМ растворы A1M, хранящиеся в течение 1,5 ч (В), 2,5 ч (С) и 4,5 ч (D), сравнивали с 1 мМ исходным материалом A1M (А). М8Н4DK-wt на 4,5 ч полностью выпадал в осадок, и его анализ не проводили. Данные свидетельствуют о том, что М8Н4DH-R66H+N1796D лучше выдерживает хранение при +37°C, чем М8Н4DK-wt.

- Фиг. 10. Модель структуры А1М. Модель была подготовлена, как описано ранее (ссылка 29). Восемь β-тяжей, показанных в виде лент, образуют слегка конусообразный цилиндр с гидрофобной внутренней частью: "липокалиновый карман". Одна сторона липокалинового кармана открыта (показана стрелкой), т.е. обеспечивает вхождение небольших молекул. Обратная сторона закрыта. Две α-спирали показаны в виде цилиндров. Показаны положения трех углеводных фрагментов (Т5; N17; N96) и четырех боковых цепей, участвующих в проявлении редуктазной активности (С34; К92, К118, К130).
- Фиг. 11. Связывание гема анализировали по изменению миграции/гашению флуоресценции нативным РАGE (A и B) и спектрофотометрией по поглощению в УФ-свете (C).
- А. Пятнадцать мкг M8H4DK-wt A1M (wt-A1M) или M8H4DK-35-A1M (35-A1M) инкубировали с различными количествами тема в течение 30 мин при 20°C, разделяли нативным PAGE и гель анализировали флуоресценцией триптофана (Flourescence) и сканированием денситометрией после окрашивания кумасси (краситель).
- В. Изображения преобразовывали в цифровую форму с помощью программного обеспечения Image Lab<sup>TM</sup> (Bio-Rad). Строили график зависимости связывания тема, измеренного в виде гашения флуоресценции (черный) и расстояния миграции (синий), против молярного отношения A1M:гем. Представлены средние значения для двух экспериментов, wt-A1M (закрашенные символы), 35-A1M (незакрашенные символы).
- С. А1М и гем смешивали (32 и 19 мкМ соответственно), инкубировали в течение 2 ч при 20°С и сканировали. Для сравнения показано поглощение только белков в концентрации 32 мкМ. Поглощение буфера (20 мМ Трис-HCl, pH 8,0+0,15 M NaCl) вычитали из всех сканов в качестве контроля.
- Фиг. 12. Сравнение ферментативных свойств M8H4DK-wt A1M (wt-A1M) и M8H4DK-35-A1M (35-A1M).
- А. Свежевыделенные wt-A1M (■) или 35-A1M (○) в различных концентрациях смешивали с ABTS-радикалом в 56 мкМ в 25 мМ натрий-фосфатном буфере с рН 8,0 в лунках микротитрационного планшета, после чего определяли скорость восстановления на ридере по поглощению при 405 нм в течение 95 с. Строили график зависимости поглощения для каждой концентрации против времени и рассчитывали площадь под кривой (AUC) между 0 и 95 с для каждой концентрации. Общую AUC рассчитывали вычитанием AUC только буфера. Показаны значения для трех повторностей ± SEM.
- В. Скорость восстановления ABTS определяли, как описано в A, но с использованием wt-A1M (■) или 35-A1M (○) после хранения в течение 7 суток при 4°C или комнатной температуре и концентрации 0,1 или 1 мМ. Показаны отдельные эксперименты.
- С. Восстановление цитохрома С исследовали смешиванием серийных разведений (0-10 мкМ) wt-A1M (■) или 35-A1M (○) с 100 мкМ цитохрома С+100 мкМ NADH и последующим мониторингом повышения оптической плотности при 550 нм в течение 20 мин. Анализ проводили в двух повторностях. AUC рассчитывали для каждой концентрации и общую AUC рассчитывали вычитанием AUC только буфера. Данные представлены в виде общая AUC±SEM для двух независимых экспериментов. В качестве отрицательного контроля использовали овальбумин.
- D. Антиоксидантную активность определяли в анализе ORAC. Активность вариантов A1M в концентрации 5 мкМ сравнивали со стандартом Тролокс и выражали в виде количества эквивалентов Тролокс. Каждый анализ проводили в трех повторностях, и результат wt-A1M устанавливали на 100%.

Представленные данные представляют собой среднее значение для двух независимых экспериментов  $\pm$  SEM.

Фиг. 13. Клетки K562, культивированные из расчета  $10^5$  клеток на лунку в 96-луночном микротитрационном планшете, подвергали воздействию 100 мкМ гема в присутствии серийных разведений M8H4DK-wt A1M (wt-A1M) или M8H4DK-35-A1M (35-A1M) (0-10 мкМ) в течение 1 ч. Гибель клеток определяли по высвобождению ЛДГ в среду. Значение ЛДГ для живых клеток вычитали и сигнал клеток, инкубированных с гемом без A1M, устанавливали на 100%, и значения для инкубации с A1M рассчитывали по отношению к этому значению. Анализ проводили в двух повторностях. Показано среднее значение для трех независимых экспериментов (среднее значение $\pm$ SEM). Wt-A1M ( $\blacksquare$ ) или 35-A1M ( $\circ$ ).

Фиг. 14. Клетки НК-2 подвергали воздействию смеси 200 мкМ (NH<sub>4</sub>)  $Fe(SO_4)_2$ , 400 мкМ перекиси водорода и 2 мМ аскорбата (реакция Фентона, показано на A и B) или 0-30 мкМ гема (показано на C и D), с одновременным добавлением 0-20 мкМ М8H4DK-wt A1M (wt-A1M) (показано в виде ■ и черных столбцов) или M8H4DK-35-A1M (35-A1M) (показано в виде  $\circ$  и белых столбцов) в течение 6 ч.

После инкубации клетки анализировали на жизнеспособность с использованием WST-1 (показано на А и С) или экспрессии мРНК НО-1 и Hsp70 (показано на В и D), как описано в разделе "Материалы и методы". Жизнеспособность клеток (А и С) нормализовали к контрольным образцам, представляющим необработанные клетки.

Результаты представляют данные трех параллельных экспериментов и представлены в виде среднего значения  $\pm$  SEM. Экспрессию мРНК HO-1 и Hsp70 (В и D) нормализовали к GAPDH и представляли в виде кратного изменения. Значения кратного изменения рассчитывали нормализацией к контрольным образцам, представляющим необработанные клетки. Результаты представляют данные трех параллельных экспериментов и представлены в виде среднего значения  $\pm$  SEM. Различия между соответствующими экспозициями и контрольными условиями анализировали с использованием одностороннего ANOVA с апостериорной поправкой Бонферрони.

\*указывает статистическое сравнение по сравнению с реакцией Фкнтона (показано на B) или гемом (показано на D). \* P < 0.05, \*\* P < 0.01, \*\*\* P < 0.001. При сравнении wt-A1M и 35-A1M достоверной разницы не наблюдали.

Фиг. 15. Клиренс из плазмы крови (фармакокинетика, показано на A) и биораспределение (показано на B) M8H4DK-wt A1M (wt-A1M) и M8H4DK-35-A1M (35-A1M) определяли после внутривенного введения животным.

А. Wt-A1M (■) или 35-A1M (○) вводили (в дозе 5 мг/кг) крысам Вистар и отбирали образцы крови через регулярные промежутки времени. Концентрацию A1M определяли анализом RIA с использованием определенного варианта A1M в качестве стандарта. Каждая точка происходит от трех животных и представлена в виде среднего значения ±SEM. В. Wt-A1M или 35- вводили внутривенно в дозе 5 мг/кг мышам C57BL/6NRj, которых подвергали эвтаназии через 10 и 30 мин после инъекции. Органы отбирали, взвешивали и гомогенизировали. Концентрацию введенного (человеческого) A1M определяли с помощью сэндвич ELISA. Каждый столбец соответствует трем животным и представлен в виде среднего значения ±SD. Wt-A1M, 10 мин (черный) и 30 мин (темно-серый); 35-A1M, 10 мин (белый) и 30 мин (светло-серый).

Фиг. 16. Мышам самкам C57BL/6 вводили глицерин (в дозе 2,0 мл/кг, в/м) и затем в/в М8H4DK-35-A1M (wt-A1M) (темно-серые столбцы, n=10), М8H4DK-35-A1M (35-A1M) (белые столбцы, n=10) или буфер, который использовали в качестве растворителя (контроль плацебо, серые столбцы, n=6) через 30 мин после инъекции глицерина. Через 4 ч (после введения глицерина) животных подвергали эвтаназии и извлекали почки, замораживали и затем анализировали на экспрессию мРНК НО-1 (A) и Hsp70 (B) с использованием ПЦР в режиме реального времени, как описано в разделе "Материалы и методы". Экспрессию мРНК нормализовали к показателям экспрессии GAPDH, и значения кратных изменений рассчитывали нормализацией к контрольным образцам от необработанных животных (контролей).

Результаты представлены в виде коробчатых графиков, отображающих медианы и 25-й и 75-й процентили. Статистическое сравнение между группами проводили с помощью ANOVA с апостериорной поправкой Бонферрони. \*указывает статистическое сравнение против глицерина. \* P < 0.05, \*\* P < 0.01. При сравнении wt-A1M и 35-A1M достоверной разницы не наблюдали.

Далее изобретение будет иллюстрировано следующими примерами. Примеры являются иллюстративными, и никоим образом не ограничивают объем изобретения.

Экспериментальный раздел

Экспериментальная работа была разделена на три основные фазы.

Фаза I): экспрессия 27 вариантов A1M, описанных выше, с последующим анализом растворимости, стабильности и функциональных свойств.

Фаза II): конструирование, экспрессия и анализ нескольких вариантов A1M с предполагаемыми оптимальными свойствами на основе результата фазы 1.

Фаза III): конструирование, экспрессия и анализ wt-A1M и наиболее эффективного мутированного варианта A1M, имеющего N-концевые метки или без них.

В фазе I использовали четыре направления обоснования при выборе положений и идентичности мутированных аминокислотных боковых групп: 1) экспрессировали гомологи животных разных видов с различной предполагаемой экологической нагрузкой с точки зрения окислительного стресса, температуры, давления кислорода (N=12); 2) вводили единичные аминокислотные замены, которые часто встречаются среди 56 секвенированных гомологов A1M в положениях, расположенных в петлях 1-4 или внутренней поверхности гидрофобного кармана, в конструкцию человеческого гена и экспрессировали варианты (N=3); 3) добавляли или удаляли благоприятно расположенные остатки лизина или тирозина на основе гипотезы о том, что они могут оказывать влияние на pКа тиолила C35 (Allhorn et al., 2005) или служить в качестве сайтов захвата свободных радикалов (Berggård et al., 1999; Sala et al., 2004; Åkerström

et al. , 2007) (N=5); 4) гидрофобные $\rightarrow$ гидрофильные замены на поверхности белка, без прогнозируемого влияния на функцию или фолдинг (N=7).

### Материалы и методы Экспрессия

Последовательности вариантов A1M были предоставлены компании DNA2.0, Inc. (США), которая провела синтез и клонирование генов в экспрессионный вектор PJ401Express (промотор T5, резистентность к канамицину). Последовательность ДНК подтверждали секвенированием. Векторы трансформировали в компетентные E. coli (BL21 Star (DE3) (Invitrogen, Life technologies corp, USA)) в соответствии с инструкциями изготовителя и четыре отдельных клона каждого варианта тестировали на микроэкспрессию. Получали клон с самой высокой экспрессией каждого варианта в виде стокового материала в глицерине, который использовали для продукционной экспрессии.

Экспрессионные клоны варианта A1M культивировали в полной среде NYAT (15 мМ (NH<sub>4</sub>)<sub>2</sub>SO<sub>4</sub>, 84 мМ  $K_2$ HPO<sub>4</sub>, 23 мМ NaH<sub>2</sub>PO<sub>4</sub>×H<sub>2</sub>O, 2,2 мМ (NH<sub>4</sub>)<sub>2</sub>H-цитрат, 1% (мас./об.), 2 мМ MgSO<sub>4</sub>, 9 мкМ CaCl<sub>2</sub>×2H<sub>2</sub>O, 85 мкМ FeCl<sub>3</sub>×6 H<sub>2</sub>O, 1,3 мкМ ZnSO<sub>4</sub>×7 H<sub>2</sub>O, 1,3 мкМ CuSO<sub>4</sub>×5 H<sub>2</sub>O, 1,8 мкМ MnSO<sub>4</sub>×H<sub>2</sub>O, 1,5 мкМ CoCl<sub>2</sub>×6 H<sub>2</sub>O, 10<sup>8</sup> мкМ ЭДТА, 50 мкг/мл канамицина) до оптической плотности OD600 1,5. Затем экспрессию белка индуцировали добавлением 1 мМ IPTG. Продукция продолжалась 4 ч. Образцы для анализа SDS-PAGE отбирали перед индукцией и через 1, 2, 3 и 4 ч после индукции.

#### Очистка

Бактерии из культур собирали центрифугированием при 5000 об/мин, в течение 15 мин. Бактериальные осадки лизировали в пяти циклах замораживания-оттаивания, разводили в 3 раза 20 мМ Трис-HCl буфером, рН 8,0, и обрабатывали ультразвуком. Тельца включения (IB) собирали центрифугированием при 6000 об/мин, в течение 30 мин и отмывали тремя циклами ресуспендирования и центрифугирования. Для экстракции тельца включения ресуспендировали в 6 М растворе гуанидина гидрохлорида, 20 мМ Трис-HCl, pH 8,0 (6 M Gu-HCl) и инкубировали при перемешивании в течение ночи при +4°C. Экстракт осветляли высокоскоростным центрифугированием при 26000 g в течение 60 мин. Супернатант сохраняли для дальнейшего осветления, в то время как осадок подвергали еще одному циклу экстракции. Супернатанты экстрактов объединяли и дополнительно осветляли фильтрацией на глубинном фильтре (фильтр К700Р, помещенный поверх фильтра KS50P, Pall Corp., США). A1M в осветленном экстракте очищали с использованием Ni-агарозной смолы (Sigma-Aldrich, США). Вкратце, смолу упаковывали в одноразовую хроматографическую колонку объемом 10 мл (Bio-Rad, США) и уравновешивали 6M Gu-HCl. Экстракт А1М наносили на колонку с использованием свободного потока и протока. Колонку промывали пятью объемами колонки 6M Gu-HCl и затем элюировали четырьмя объемами 6M Gu-HCl+0,5 М имидазола. Исходный материал, проточные фракции и элюированные фракции осаждали этанолом, растворяли в загрузочном буфере 1× SDS-PAGE и разделяли SDS-PAGE. Процедуру очистки повторяли, если проточная фракция содержала значительные количества А1М. Содержание белка в экстракте определяли поглощением при 280 нм.

Элюаты с Ni-агарозы разбавляли до оптической плотности A280 примерно 5,0 и охлаждали до +4°C перед рефолдингом. Затем элюат смешивали с 2/3 объемами 0,275 М L-цистеина в 20 мМ Трис-HCl, рН 9,5+0,1 М NaCl. Затем быстро добавляли 16,7 объемов буфера для рефолдинга. Конечная концентрация компонентов буфера составляла: (0,2 мг/мл A1M, 0,1 М Трис, 0,6 М NaCl, 0,45 М L-аргинина, 2 мМ ЭД-ТА, 10 мМ L-цистеина и 1 мМ L-цистеина, рН 9,5). Затем смесь перемешивали в течение 1 ч при +4°C и раствор концентрировали до исходного объема раствора A1M с использованием устройства для ультрафильтрации Centricon plus 70, 10К (Merck Millipore, США). После концентрирования раствор A1M подвергали диафильтрации с 20 мМ Трис-HCl, рН 8,0, используя те же устройства, в 10 последовательных циклах 2,5× разбавления/концентрирования. После диафильтрации раствор осветляли центрифугированием при 15000 g в течение 15 мин и затем пропускали через фильтр 0,2 мкм.

Подвергшийся рефолдингу A1M сразу наносили на 5-мл картридж Bio-Scale Mini UNOspere Q (Bio-Rad), уравновешенный 20 мМ Трис-HCl, pH 8,0. Колонку анализировали на системе для очистки ÄКТА 10 (GE Healthcare, США) в соответствии с инструкцией Bio-Rad для картриджей. После нанесения образца колонку промывали пятью объемами колонки (CV) 20 мМ Трис-HCl, pH 8,0, перед элюированием линейным градиентом 20 CV от 0 до 0,35 M NaCl. Наконец, колонку промывали тремя CV 1 M NaCl. Проточные фракции и выбранные фракции, собранные во время линейного градиента, анализировали с помощью SDS-PAGE. Проточную фракцию с оставшимся A1M немедленно анализировали повторно на новой колонке и фракции, содержащие A1M, объединяли, концентрировали до 100 мкМ, стерилизовали фильтрованием и замораживали в аликвотных порциях при -20°C.

Гель-электрофорез SDS-PAGE проводили, как описано Laemmli (Laemmli, 1970) с использованием стандартных протоколов. Белки разделяли на бесцветных 4-20% TGX-гелях (Bio-Rad) при 300 В в течение 17 мин. Нативный PAGE проводили без SDS и без восстанавливающих агентов на бесцветных 4-20% TGX гелях при 200 В в течение 40 мин. Гели анализировали на приборе Chemidoc MP (Bio-Rad).

#### Круговой дихроизм

Спектры кругового дихроизма 10 мкМ растворов в 20 мМ Трис-HCl, рН 8,0+0,15 М NaCl снимали

на спектрофлуориметре Jasco-J180 (JASCO Inc., Япония) в 2 мм кювете. Растворы сканировали при +22°C при 190-260 нм. Три анализа проводили для каждого образца. Процент структуры  $\alpha$ -спирали и  $\beta$ -листа рассчитывали с использованием программного обеспечения http://k2d3.ogic.ca.

### SEC-FPLC

Белки анализировали эксклюзионной хроматографией в системе для очистки ÄKTA 10 с использованием колонки Superose 12 10/30 GL объемом 24 мл (GE Healthcare). Колонку уравновешивали 20 мМ Трис-HCl, pH 8,0+0,15 M NaCl, используя скорость потока 1 мл/мин; 100-200 мкг белка наносили на колонку в объеме 100 мкл и элюировали 20 мМ Трис-HCl, pH 8,0+0,15 M NaCl, используя скорость потока 0,75 мл/мин. Как правило, мономерный A1M элюировался после 15 мл/20 мин, димерный после 13-14 мл/18-19 мин и крупные агрегаты элюировались после 8 мл/12 мин. Процент крупных агрегатов рассчитывали по площади под пиком 8 мл по сравнению с общей площадью пика. Процент общего белка, полученного на колонке после приложения напряжения (см. ниже), рассчитывали сравнением общих площадей пиков обработанных или необработанных образцов.

#### ОФ-ВЭЖХ

Обращеннофазовую ВЭЖХ проводили на системе Agilent 1260 Infinity Binary LC с использованием колонки Aeris Wildpore 3,6 мкМ XP-C8 (Phenomenex Inc., США). Анализ на колонке проводили при +25°C с использованием скорости потока 1 мл/мин и уравновешивания смесью 70%  $H_2O+0,1$ %  $T\Phi V$  и 30% ацетонитрила+0,1%  $T\Phi V$ . Наносили 10 мкл (=10 мкг белка) и элюировали в линейном градиенте 30-50% ацетонитрила в течение 20 мин. Колонку регенерировали промыванием 95% ацетонитрилом в течение 10 мин.

### Динамическое рассеяние света

Анализ динамического рассеяния света (DLS) образцов без приложения напряжения и с приложением напряжения сдвига проводили с использованием устройства SARomics Biostructure AB, Lund. Образцы A1M, разведенные до 10 мкМ в 10 мМ Трис-HCl, pH 8,0+0,125 M NaCl, анализировали на приборе Malvern APS при +20°C. Образцы готовили в двух повторностях, и каждый образец анализировали три раза.

# Дифференциальная сканирующая флуориметрия

Термостабильность вариантов A1M анализировали с помощью дифференциальной сканирующей флуориметрии (DSF), используя устройство SARomics Biostructure AB, Lund. A1M, разведенный до 4,4 мкМ в 10 мМ HEPES pH 8,0+0,125 M NaCl, смешивали с SYPRO оранжевым (разведение SYPRO 1000× в целом). Анализ проводили в двух повторностях и рассчитывали среднюю температуру плавления.

#### Введение напряжения сдвигающей силой

10 мкл 100 мкМ растворов A1M подвергали напряжению сдвигающей силой 80-кратным пипетированием с помощью многоканальных пипеток с использованием 0-10 мкл наконечников пипеток. Приложение напряжения проводили в двух повторностях.

После пипетирования повторности объединяли и разводили в 10 раз перед анализом с помощью DLS, как описано выше.

#### Напряжение, индуцированное высокой концентрацией

Растворимость и стабильность A1M анализировали при высокой концентрации. 500 мкл 100 мкМ растворов A1M концентрировали в десять раз до 50 мкл с использованием устройства Amicon Ultra-0.5, 10K (Merck Millipore) центрифугированием при 14000 g в течение 10 мин. После концентрирования объемы доводили точно до 50 мкл с использованием соответствующих проточных фракций. Концентрированные и неконцентрированные образцы (10 мкг) последовательно сравнивали анализом нативным РАGE. Влияние различных буферов исследовали диафильтрацией образцов до концентрирования. Данный анализ проводили с пятью циклами 10-кратного разведения/концентрирования на устройстве Amicon Ultra-15, 10K.

# Количественное определение свободных тиоловых групп

Свободные тиоловые группы вариантов A1M определяли с помощью набора для количественного определения тиолов и сульфидов производства Molecular probes. Анализ проводили в 96-луночных планшетах в соответствии с инструкцией к набору. Стандарт или A1M (100 мкМ) в объеме 3 мкл смешивали с 3 мкл рабочего раствора цистамина, 100 мкл папаина-SSCH, 100 мкл L-BAPNA. Результаты анализа определяли на ридере по поглощению при 405 нм.

# Анализ восстановления ABTS

Анализ является модификацией ранее опубликованного протокола (Åkerström et al., 2007). 7 мМ раствор диаммониевой соли 2,2'-азино-бис(3-этилбензтиазолин-6-сульфоновой кислоты) (Sigma-Aldrich) в течение ночи окисляли 2,45 мМ раствором  $K_2S_2O_8$  и затем разбавляли до 56 мкМ 25 мМ натрийфосфатным буфером с рН 8,0. Рабочий раствор ABTS добавляли из расчета 100 мкл на лунку в 96-луночном планшете. Измерение на нулевой точке проводили при  $A_{405}$  с использованием ридера для планшетов Perkin Elmer Plate. 2 мкл раствора A1M (0-100 мкМ) быстро добавляли многоканальной пипеткой. Кинетику снижения поглощения при 405 нм быстро анализировали в течение 95 с. По практическим соображениям на это время анализировали только 8 лунок. Серийные разведения A1M анализировали в двух или в трех повторностях. Если для количества образцов, подлежащих анализу, требовалось

несколько планшетов, то новый стоковый материал ABTS разводили для приготовления рабочего раствора для каждого планшета и контрольный образец wt-A1M включали во все планшеты. Строили график зависимости поглощения для каждой концентрации против времени и площадь под кривой (AUC) рассчитывали для каждой концентрации. Общую AUC рассчитывали вычитанием AUC только буфера.

#### Анализ объема поглощения кислородных радикалов (ORAC)

Коммерческий набор OxySelect™ для анализа объема поглощения кислородных радикалов (ORAC) (Cell Biolabs, Inc., США) основан на окислении и разрушении флуоресцентного зонда пероксильными радикалами. Когда присутствует антиоксидант, то разрушение ингибируется. В качестве стандарта использовали водорастворимый витамин Е Тролокс. Постановку, анализ и расчеты проводили согласно инструкции к набору, и концентрации A1M 2,5-5 мкМ четко соответствовали стандартной кривой. Овальбумин (Sigma-Aldrich) использовали в качестве отрицательного белкового контроля.

#### Анализ восстановления цитохрома С

Анализ является модификацией ранее опубликованного протокола (Allhorn el al., 2005). Рабочий раствор готовили смешиванием 100 мкМ цитохрома С (Sigma-Aldrich) и 100 мкМ NADH в 10 мМ Трис-HCl, рН 8,0+0,125 М NaCl. 11 мкл раствора А1М (0-100 мкМ) добавляли в 96-луночный планшет в двух параллелях. Рабочий раствор цитохрома С быстро добавляли в лунки с использованием многоканальной пипетки. Кинетику повышения поглощения при 550 нм анализировали в течение 20 мин. На каждое время анализировали один планшет. Никакие отклонения со временем не могли наблюдать. Если требовалось анализировать несколько планшетов, то для всех использовали один и тот же рабочий раствор без каких-либо наблюдаемых артефактов, вызванных данной процедурой. После измерений результаты анализировали, как описано для анализа АВТS.

### Анализ красного смещения

Включение свободного гема в A1M приводит к красному смещению пика поглощения полосы Сорета (Karnaukhova et al., 2014; Rutardottir et al., 2016) и оценивали для мутантов A1M в виде отношения  $A_{413}/A_{386}$ . 44 мкМ A1M в 20 мМ Трис-HCl, pH 8,0+0,25 M NaCl, смешивали с 40 мкМ свободного гема (Applichem). Инкубации проводили в двух повторностях и инкубировали в течение 2 ч при комнатной температуре. Красное смещение анализировали в четырехкратно разведенных образцах сканированием при длинах волны на спектрофотометре Бекмана. Рассчитывали средний максимальный пик для двух повторностей, а также среднее соотношение между поглощением при 413 и 386 нм. Только овальбумин и буфер использовали в качестве отрицательных контролей.

# Специфическое связывание А1М с гем-агарозой

Связывание A1M с гем-агарозой анализировали методом (Larsson et al., 2004), модифицированным, как описано ранее (Rutardottir et al., 2016). Гем-агарозу (Sigma-Aldrich) и контрольную сефарозу 4B (Sigma-Aldrich) уравновешивали 20 мМ Трис-HCl, pH 8,0+0,25 M NaCl, и готовили в виде 50% суспензий. 75 мкл серийных разведений А1М (0-13,3 мкМ) вносили в два параллельных 96-луночных планшета (один планшет для гем-агарозы и один для контрольной сефарозы). 20 мкл суспензий гем-агарозы или контрольной сефарозы добавляли в лунки осторожным пипетированием для обеспечения переноса одинаковых количеств и инкубировали в течение 30 мин при комнатной температуре при вращательном перемешивании. Смеси переносили переносили в 96-луночный фильтрующий планшет AcroPrep Advance, мембрана Supor 1,2 мкм (Pall Corp). Планшеты центрифугировали в течение 2 мин при 1000g, собирая проточную фракцию в микропланшет с низким связыванием. 25 мкл каждой проточной фракции, а также исходного материала без инкубации анализировали на содержание белка с использованием набора для анализа белка Pierce BCA (Thermo Scientific Inc., США). Количество белка пересчитывали в виде связанного количества (добавленного минус количество в проточной фракции) для образцов, инкубированных с гемом и контрольной сефарозой. После вычитания количества, связанного с контрольной сефарозой, строили график зависимости количества, специфически связанного с гем-агарозой, против добавленного количества. Наклон кривой рассчитывали линейной регрессией. SD двух повторностей использовали для оценки статистической значимости различий между вариантами А1М.

# Связывание гема M8H4DK-wt A1M (Wt-A1M) и M8H4DK-35-A1M (35-A1M)

Связывание гема анализировали, как описано ранее, нативным PAGE (Karnaukhova et al., 2014) и УФ-спектрофотометрией (Ruttarsdottir et al., 2016). Вкратце, для нативного PAGE A1M и гем в различных концентрациях инкубировали в Трис-буфере, рН 8,0 в течение 30 мин при комнатной температуре, разделяли нативным PAGE на 12% бесцветных гелях TGX Criterion при 200 В в течение 40 мин. Полосы геля анализировали на приборе Chemidoc MP (Bio-Rad) на флуоресценцию триптофана, используя режим без окрашивания, с окрашиванием кумасси бриллиантовым синим, который снова обесцвечивали и визуализировали на Chemidoc, используя режим с окрашиванием кумасси. Затем оба набора полос анализировали количественно с использованием программного обеспечения Image Lab<sup>TM</sup> Software (Bio-Rad). Затем связывание гема оценивали по уровню гашения флуоресценции триптофана относительно суммарного количества белка после окрашивания кумасси. Спектры поглощения снимали на спектрофотометре Вескта Instruments, Fullerton, CA) DU 800 с использованием скорости сканирования 600 нм/мин в области UV-VIS между 250 и 700 нм при 22°C. Концентрации А1М и гема составляли соответственно

32 и 19 мкМ в 20 мМ Трис-HCl, pH 8,0, 0,15 М NaCl. Гем добавляли из 10 мМ стокового раствора в ДМСО. Растворы белков сканировали через 2 ч после смешивания.

## Клиренс из плазмы крови и биораспределение

Для исследования клиренса из плазмы крови каждый вариант А1М вводили внутривенно (в/в) шести крысам самцам Вистар (в дозе 5,0 мг/кг, стоковые растворы в 20 мМ Трис-НСІ, рН 8,0) и образцы крови отбирали в пробирки с ЭДТА на 1; 5; 15; 30 мин и 1, 3, 6, 16 и 24 ч после инъекции с использованием групп из трех крыс на разные интервалы отбора, чтобы избежать отрицательных последствий слишком частого отбора образцов. Плазму аспирировали после центрифугирования 140× g в течение 10 мин, и концентрацию A1M определяли с помощью радиоиммуноанализа (RIA), как описано (Gram et al., 2015) с использованием специфического варианта А1М в качестве стандарта. Для исследования биораспределения варианты A1M вводили в/в мышам C57BL/6NRJ (в дозе 5,0 мг/кг, стоковые растворы в 20 мМ Трис-HCl, pH 8,0). Мышей подвергали эвтаназии через 10 мин после инъекции (n=3) и через 30 мин (n=3). Отбирали образцы органов, взвешивали и гомогенизировали в буфере для экстракции клеток 5:1 (объем:масса), содержащей 50 мкл/мл complete Mini, таблетки смесей ингибиторов протеиназ без ЭДТА (Roche, номер по каталогу 11836170001). Концентрацию A1M определяли с помощью варианта сэндвич ELISA заявителей. Вкратце, 96-луночные микротитрационные планшеты покрывали в течение ночи при 4°C мышиным моноклональным анти-A1M-антителом (клон 35,14, 5 мкг/мл в PBS), отмывали и затем инкубировали со стандартами A1M (A1M из мочи человека, выделенный как описано в лаборатории заявителей (Åkerström et al., 1995) или гомогенизированными образцами тканей, разбавленными буфером для инкубации (РВS+0,05% твин 20+0,5% бычьего сывороточного альбумина) в течение 60 мин при комнатной температуре. После отмывки лунки инкубировали с мышиным моноклональным антителом против А1М, конъюгированным с пероксидазой хрена (клон 57,10, 5 нг/мл в буфере для инкубации) в течение 60 мин при комнатной температуре. Планшеты отмывали и развивали инкубацией с субстратом пероксидазы SureBlue TMB (KPL) в темноте в течение 20 мин и, наконец, реакцию останавливали добавлением 1 М серной кислотой. Поглощение определяли на ридере при 450 нм на счетчике Wallac 1420 Multilabel Counter. Два мышиных моноклональных антитела получали от AgriSera AB (Vannas, Швеция) против A1M из мочи человека. ELISA был специфичен для человеческого A1M, не реагировал перекрестно с эндогенным плазматическим А1М мыши, и в одинаковой степени реагировал с А1М из мочи человека, M8H4DK-wt A1M (wt-A1M) и M8H4DK-35-A1M (35-A1M).

### Повреждение почек,, индуцированное рабдомиолизом

Данное исследование было одобрено этическим комитетом по проведению исследований на животных в Malmö-Lund, no. M21-15. Мышей самок C57BL/6 с массой тела 20.5±0.7 г получали из питомника Тасопіс (Дания), помещали в клетки с проволочными крышками для грызунов типа III при постоянной комнатной температуре с 12 ч циклом свет-темнота. В ходе исследований поддерживалась постоянная температура  $(20\pm0.5^{\circ}\text{C})$  и относительная влажность  $(50\pm5\%)$ . Все животные имели свободный доступ к корму (RM1 (E) SQC, SDS, Англия), водопроводной воде и обогащению клеток. После лишения воды в течение ночи (15 ч) животных взвешивали и проводили анестезию с использованием изофлурана, и затем распределяли на следующие четыре группы: 1) контрольная группа (n=6), без внутримышечного (в/м) или внутривенного (в/в) введения; 2) группа с глицерином (n=10), животные получали 50% стерильный глицерин (Teknova, Hollister, CA, USA), в/м (2,0 мл/кг массы тела, однократная доза, разделенная на введение в обе задние конечности); 3) группа с глицерином+М8Н4DK-wt A1M (wt-A1M) (n=10), животные получали wt-A1M, в/в (7 мг/кг массы тела, однократная доза) через 30 мин после введения глицерина в/м (2,0 мл/кг массы тела); и 4) группа с глицерином+М8H4DK-35-A1M (35-A1M) (n=10), животные получали 35-А1М, в/м (7 мг/кг массы тела, однократная доза) через 30 мин после введения глицерина, в/м (2,0 мл/кг массы тела). После в/м введения животных помещали на подушку с подогревом на время пробуждения и затем возвращали в их клетки и обеспечивали свободный доступ к корму и воде. Через 4 ч (после введения глицерина) животных подвергали анестезии с использованием изофлурана и отбирали почки, для экстракции РНК с последующим определением фракции мРНК, как описано ниже.

## Выделение РНК и ПЦР в режиме реального времени

Общую фракцию РНК выделяли из клеток НК-2, используя набор Direct-zol<sup>TM</sup> PHK MiniPrep, производства Zymo Research (Irvine, CA, CША), или почек мышей с использованием набора NucleoSpin RNA/protein (Machery-Nagel, Duren, Германия), с последующим использованием набора RNeasy® Mini (QIAGEN, German-town, MD, США). Соотношение OD (оптическая плотность при 260 нм/280 нм) РНК во всех случаях было выше 1,9. Обратную транскрипцию проводили согласно инструкциям изготовителя на 1,0 мкг общей фракции РНК с использованием набора для синтеза кДНК iScriptTM (Bio-Rad, CA, США). Набор праймеров RT<sup>2</sup> qPCR Primer Assay (человеческие (НК-2 клетки) и мышиные (почки) от QIAGEN) использовали для количественной оценки экспрессии мРНК гемоксигеназы-1 (НО-1) и белка теплового шока 70 (Нѕр70). Данные нормализовали к глицеральдегид-3-фосфатдегидрогеназе (человеческие клетки (НК-2) и мышиные (почки) GAPDH, RT<sup>2</sup> qPCR Primer Assay от QIAGEN). Данные представлены в виде столбцов, представляющих среднее значение±SEM для данных in vitro, и коробчатых графиков, отображающих медианы и 25-й и 75-й процентили для данных in vivo. Значения кратных изменений рассчитывали нормализацией к контрольным образцам из необработанных клеток или животных (контроли). Экспрессию анализировали с использованием реакционных смесей iTaq™ Universal с красителем SYBR® Green (Bio-Rad). Амплификацию проводили, как описано изготовителем (Bio-Rad) в 40 циклах в термоциклере iCycler (Bio-Rad), и данные анализировали с использованием программного обеспечения iCycler iQ Optical System (Bio-Rad).

#### Спасение клеток К562 от гибели, индуцированной гемом

Ранее было показано, что А1М ингибирует индуцированную гемом гибель человеческих эритроидных клеток K562 (Olsson et al., 2008). Клетки культивировали в DMEM с глутамаксом+10% FCS и антибиотиками (Gibco, Life Technologies Corp., США) в соответствии с инструкциями АТСС. Клетки отмывали и ресуспендировали в DMEM без фенолового красного и FCS, но добавляли глутамакс I и антибиотики (Gibco). Клетки высевали в 96-луночные планшеты из расчета 10<sup>5</sup> клеток на лунку и подвергали воздействию 100 мкМ тема в присутствии серийных разведений 0-10 мкМ А1М. В качестве положительного контроля на гибель клеток добавляли 10 мкл раствора для лизиса из набора для определения ЛДГ (см. ниже). Клетки инкубировали при 37°C в CO<sub>2</sub>-инкубаторе в течение 1 ч. Планшеты быстро центрифугировали при 350g в течение 4 мин, после чего 50 мкл среды переносили в 96-луночный микропланшет для анализа высвобождения ЛДГ с использованием набора cytoTox 96® Non-Radio. Анализ цитотоксичности (Promega Biotech AB, Швеция) проводили в соответствии с инструкциями изготовителя. Индуцированные гемом клетки обычно давали сигнал в 7 раз выше по сравнению с живыми клетками и 70% сигнала полностью лизированных клеток. Среднее значение сигнала клеток, инкубированных без добавления тема или А1М, вычитали из всех показаний, и сигнал клеток, инкубированных только с гемом, устанавливали на 100%. Все другие сигналы сравнивали с этим значением. Данная процедура позволила сравнить результаты нескольких независимых экспериментов.

## Защита клеток НК-2

Эпителиальные клетки проксимальных канальцев коры почек человека (НК-2, ATCC® CRL-2190, ATCC, Teddington, UK) культивировали в бессывороточной среде для кератиноцитов (K-SFM), с добавлением экстракта гипофиза крупного рогатого скота (ВРЕ, 0,05 мг/мл) и эпидермального фактора роста (5 нг/мл) (все производства Invitrogen, Paisley, UK). Когда клетки достигали примерно 80-90% конфлюентности, добавляли гем (0-30 мкМ, из свежеприготовленного 10 мМ стокового раствора) или смесь (NH<sub>4</sub>)Fe(SO<sub>4</sub>)<sub>2</sub>, перекись водорода и аскорбат (0-200 мкМ, реакция Фентона) с одновременным добавлением A1M (0-20 мкМ, М8H4DK-wt A1M (wt-A1M) и M8H4DK-35-A1M (35-A1M)), и клетки инкубировали в течение 6 ч. После инкубации клетки анализировали на жизнеспособность с использованием WST-1 (показатель метаболической активности клеток, например, показатель клеточного расщепления стабильной тетразолиевой соли WST-1 до растворимого формазанового красителя, который прямо коррелирует с числом жизнеспособных клеток) (Roche Diagnostics GmbH, Mannheim, Германия) в соответствии с инструкциями изготовителя. Жизнеспособность клеток нормализовали к контрольным образцам из необработанных клеток. Параллельные культуры собирали с использованием реагента Qiazol<sup>TM</sup> Lysis (для экстракции PHK, QIAGEN, Germantown, MD, CIIIA). Общую фракцию PHK экстрагировали из клеток для оценки экспрессии мPHK, как описано ниже.

## Статистика

Сравнение между отдельными группами проводили с помощью ANOVA с апостериорной поправкой Бонферрони. Значения P < 0.05 считались значимыми.

## Результаты и обсуждение Обзор проекта

Целью настоящего исследования является идентификация более стабильных и растворимых вариантов A1M с сохраненными функциональными свойствами. Проект выполняли в три фазы. В фазе I A1M из различных видов и с точечными мутациями человеческого A1M подвергали скринингу для идентификации отдельных аминокислот, которые оказывали положительное влияние на стабильность без нарушения функции. В фазе II аминокислоты, показавшие положительный эффект в фазе I, объединяли для поиска еще лучших комбинаций. Наконец, в фазе III подтверждали данные, полученные в фазах I и II, и исследовали влияние различных N-концевых меток. Во всех трех фазах белки экспрессировали в одной и той же системе E-coli, используя тот же вектор и протокол очистки. Все варианты экспрессировали, выделяли и анализировали параллельно, используя аналогичные протоколы и процедуры в каждой фазе. Панель анализа в каждой фазе обобщена в табл. 1. Аминокислотную последовательность и последовательность ДНК всех конструкций можно найти ниже.

Таблица 1. Анализы, проведенные в различных фазах проекта по исследованию вариантов А1М

	Анализ	фаза І	фаза II	фаза III
1	SDS-PAGE (идентичность, чистота)	Х	Х	Х
2	Поглощение при 280 нм (количество)	Х	Х	Х
3	Круговой дихроизм (идентичность)	Х		
4	PAGE (анализ агрегации)	х	х	х
5	SEC-FPLC (анализ агрегации)		Х	
<u>.</u>	DLS (анализ агрегации)	Х		Х
7	ОФ-ВЭЖХ (чистота, анализ агрегации)			Х
8	DSF (термостабильность)	Х		Х
9	Стабильность к сдвигу (анализ DLS)	Х		Х
10	Стабильность при концентрировании (анализ РАGE)	Х	Х	X
l1	Стабильность при концентрировании в различных буферах (анализ PAGE)			Х
12	Стабильность при замораживании-оттаивании, длительном хранении в холодильнике, комнатной температуре, +37°C (SEC-FPLC, восстановление ABTS)*		х	
13	Количественное определение свободных тиоловых групп	Х		
14	Восстановительная активность для ABTS- радикала	Х	Х	Х
15	Объем поглощения кислородных радикалов (ORAC)			Х
16	Восстановительная активность для цитохрома С			Х
17	Восстановительная/связывающая активность для свободного гема	Х	Х	Х
18	Связывающая активность для гем-агарозы	Х	Х	Х
L9	Спасение клеток K562 от гибели, индуцированной гемом		Х	Х
	роводили только на человеческом A1M дикого H+N1796D	типа и	варианте	M8H4DK

## Аминокислотная последовательность всех конструкций.

60. M8H4DK-человеческий wt (rhA1M) (SEQ ID NO: 9)

MHHHHHHHDDDDKGPVPTPPDNIQVQENFNISRIYGKWYNLAIGSTCPWLKKIMDRMT VSTLVLGEGATEAEISMTSTRWRKGVCEETSGAYEKTDTDGKFLYHKSKWNITMESYVVHTNYD EYAIFLTKKFSRHHGPTITAKLYGRAPQLRETLLQDFRVVAQGVGIPEDSIFTMADRGECVPGE OEPEPILIPR

- 1.M8H5GIEGR-мышь (SEQ ID NO: 24)

  MHHHHHHHHGGGGGIEGRDPASTLPDIQVQENFSESRI

  YGKWYNLAVGSTCPWLSRIKDKMSVQTLVLQEGATETEISMTSTRWRRGVCEEIT

  GAYQKTDIDGKFLYHKSKWNITLESYVVHTNYDEYAIFLTKKSSHHHGLTI

  TAKLYGREPQLRDSLLQEFKDVALNVGISENSIIFMPDRGECVPGDREVEPTSIAR
- 2. M8H5GIEGR-голый землекоп (SEQ ID NO: 25)

  МНННННННGGGGGIEGRNPVPMPPDNIQVQENFDESRIYGKWFNLATGSTCPWLKRIK

  DRLSVSTMVLGKGTTETQISTTHTHWRQGVCQETSGVYKKTDTAGKFLYHKSKWNVTMESYVVH

  TNYDEYAIILTKKFSHHHGPTITAKLYGREPRLRDSLLQEFREMALGVGIPEDSIFTMANRGEC

  VPGDQAPESTPAPR
  - 3. M8H5GIEGR-лягушка (SEQ ID NO: 26)

MHHHHHHHGGGGGIEGRCSPIQPEDNIQIQENFDLQRIYGKWYDIAIGSTCKWLKHHK EKFNMGTLELSDGETDGEVRIVNTRMRHGTCSQIVGSYQKTETPGKFDYFNARWGTTIQNYIVF TNYNEYVIMQMRKKKGSETTTTVKLYGRSPDLRPTLVDEFRQFALAQGIPEDSIVMLPNNGECS PGEIEVRPRR

4. M8H5GIEGR-цыпленок (SEQ ID NO: 27)

 $\label{thm:condition} MHHHHHHHGGGGGIEGRTPVGDQDEDIQVQENFEPERMYGKWYDVAVGTTCKWMKNYK\\ EKFSMGTLVLGPGPSADQISTISTRLRQGDCKRVSGEYQKTDTPGKYTYYNPKWDVSIKSYVLR\\ TNYEEYAVILMKKTSNFGPTTTLKLYGRSPELREELTEAFQQLALEMGIPADSVFILANKGECV\\ PQETATAPER$ 

5. M8H5GIEGR-кролик (SEQ ID NO: 28)

 $\label{thm:condition} MHHHHHHHGGGGGIEGRDPVPTLPDDIQVQENFELSRIYGKWYNLAVGSTCPWLKRIK\\ DRMAVSTLVLGEGTSETEISMTSTHWRRGVCEEISGAYEKTDTDGKFLYHKAKWNLTMESYVVH\\ TNYDEYAIFLTKKFSRRHGPTITAKLYGREPQLRESLLQEFREVALGVGIPENSIFTMIDRGEC\\ VPGQQEPKPAPVLR$ 

6. M8H5GIEGR-SQ обезьяна (SEQ ID NO: 29)

 $\label{thm:condition} MHHHHHHHGGGGGIEGRSPVPTPPEGIQVQENFNLSRIYGKWYNLAIGSTCPWLKKIM \\ DRLKVSTLVLEEGATEAEISMTSTRWRKGFCEQTSWAYEKTDTDGKFLYHEPKWNVTMESYVAH \\ TNYEEYAIFLTKKFSRHHGPTITAKLYGREPQLRESLLQDFRVVAQGVGIPEDSIFTMANRGEC \\ VPGEQEPQPILHRR$ 

7. M8H5GIEGR-морж (SEQ ID NO: 30)

MHHHHHHHGGGGGIEGRSPVLTPPDAIQVQENFDISRIYGKWFHVAMGSTCPWLKKFM DRMSMSTLVLGEGATDGEISMTSTRWRRGTCEEISGAYEKTSTNGKFLYHNPKWNITMESYVVH TDYDEYAIFLTKKFSRHHGPTITAKLYGRQPQLRESLLEEFRELALGVGIPEDSIFTMANKGEC VPGEOEPEPSPHMR

8. M8H5GIEGR-ламантин (SEQ ID NO: 31)

 $\label{thm:continuity} MHHHHHHHGGGGGIEGRSPVKTPLNDIQVQENFDLPRIYGKWFNIAIGSTCQWLKRLK\\ AGPTMSTLVLGEGATDTEISTTSTRWRKGFCEEISGAYEKTDTAGKFLYHGSKWNVTLESYVVH\\ TNYDEYAIFLTKKFSRYGLTITAKLYGRQPQVRESLLEEFREFALGVGIPEDSIFTTADKGECV\\ PGEQEPEPTAALR$ 

9. M8H5GIEGR-камбала (SEQ ID NO: 32)

 $\label{thm:condition} MHHHHHHHGGGGGIEGRLPVLPEPLYPTQENFDLTRFVGTWHDVALTSSCPHMQRNRA\\ DAAIGKLVLEKDTGNKLKVTRTRLRHGTCVEMSGEYELTSTPGRIFYHIDRWDADVDAYVVHTN\\ YDEYAIIIMSKQKTSGENSTSLKLYSRTMSVRDTVLDDFKTLVRHQGMSDDTIIIKQNKGDCIPGEQVEEAPSQPEPKR$ 

10. M8H5GIEGR-opahrymahr (SEQ ID NO: 33)

MHHHHHHHGGGGGIEGRGPVPTPPDNIQVQENFNISRIYGKWYNLAIGSTCPWLKKIM DRMTVSTLVLGEGATEAEISMTSTRWRKGVCEETSGAYEKTDTDGKFLYHKSKWNITMESYVVH TNYDEYAIFLTKKFSRRHGPTITAKLYGRAPQLRETLLQDFRVVAQGVGIPEDSIFTMADRGEC VPGEOEPEPILIPR

11. M8H5GIEGR-человек Р35K (SEQ ID NO: 34)

MHHHHHHHGGGGGIEGRGPVPTPPDNIQVQENFNISRIYGKWYNLAIGSTCKWLKKIM DRMTVSTLVLGEGATEAEISMTSTRWRKGVCEETSGAYEKTDTDGKFLYHKSKWNITMESYVVH TNYDEYAIFLTKKFSRHHGPTITAKLYGRAPQLRETLLQDFRVVAQGVGIPEDSIFTMADRGEC VPGEOEPEPILIPR

12. M8H5GIEGR-человек M41K (SEQ ID NO: 35)

MHHHHHHHGGGGGIEGRGPVPTPPDNIQVQENFNISRIYGKWYNLAIGSTCPWLKKIK DRMTVSTLVLGEGATEAEISMTSTRWRKGVCEETSGAYEKTDTDGKFLYHKSKWNITMESYVVH TNYDEYAIFLTKKFSRHHGPTITAKLYGRAPQLRETLLQDFRVVAQGVGIPEDSIFTMADRGEC VPGEOEPEPILIPR

13. M8H5GIEGR-человек R66H (SEQ ID NO: 36)

 $\label{thm:condition} MHHHHHHHGGGGGIEGRGPVPTPPDNIQVQENFNISRIYGKWYNLAIGSTCPWLKKIM \\ DRMTVSTLVLGEGATEAEISMTSTHWRKGVCEETSGAYEKTDTDGKFLYHKSKWNITMESYVVH \\ TNYDEYAIFLTKKFSRHHGPTITAKLYGRAPQLRETLLQDFRVVAQGVGIPEDSIFTMADRGEC \\ VPGEOEPEPILIPR$ 

14. M8H5GIEGR-человек T75K (SEO ID NO: 37)

MHHHHHHHGGGGGIEGRGPVPTPPDNIQVQENFNISRIYGKWYNLAIGSTCPWLKKIM DRMTVSTLVLGEGATEAEISMTSTRWRKGVCEEKSGAYEKTDTDGKFLYHKSKWNITMESYVVH TNYDEYAIFLTKKFSRHHGPTITAKLYGRAPQLRETLLQDFRVVAQGVGIPEDSIFTMADRGEC VPGEQEPEPILIPR

15. M8H5GIEGR-человек T75Y (SEQ ID NO: 38)

MHHHHHHHGGGGGIEGRGPVPTPPDNIQVQENFNISRIYGKWYNLAIGSTCPWLKKIM DRMTVSTLVLGEGATEAEISMTSTRWRKGVCEEYSGAYEKTDTDGKFLYHKSKWNITMESYVVH TNYDEYAIFLTKKFSRHHGPTITAKLYGRAPQLRETLLQDFRVVAQGVGIPEDSIFTMADRGEC VPGEQEPEPILIPR

16. M8H5GIEGR-человек M99K (SEQ ID NO: 39)

MHHHHHHHGGGGGIEGRGPVPTPPDNIQVQENFNISRIYGKWYNLAIGSTCPWLKKIM DRMTVSTLVLGEGATEAEISMTSTRWRKGVCEETSGAYEKTDTDGKFLYHKSKWNITKESYVVH TNYDEYAIFLTKKFSRHHGPTITAKLYGRAPQLRETLLQDFRVVAQGVGIPEDSIFTMADRGEC VPGEQEPEPILIPR

17. M8H5GIEGR-человек S101Y (SEQ ID NO: 40)

MHHHHHHHGGGGGIEGRGPVPTPPDNIQVQENFNISRIYGKWYNLAIGSTCPWLKKIM DRMTVSTLVLGEGATEAEISMTSTRWRKGVCEETSGAYEKTDTDGKFLYHKSKWNITMEYYVVH TNYDEYAIFLTKKFSRHHGPTITAKLYGRAPQLRETLLQDFRVVAQGVGIPEDSIFTMADRGEC VPGEQEPEPILIPR

18. M8H5GIEGR-человек K69.92.118.130R (SEQ ID NO: 41)
МНННННННGGGGGIEGRGPVPTPPDNIQVQENFNISRIYGKWYNLAIGSTCPWLKKIM

DRMTVSTLVLGEGATEAEISMTSTRWRRGVCEETSGAYEKTDTDGKFLYHRSKWNITMESYVVH TNYDEYAIFLTKRFSRHHGPTITARLYGRAPQLRETLLQDFRVVAQGVGIPEDSIFTMADRGEC VPGEQEPEPILIPR

19. M8H5GIEGR-латимерия (SEQ ID NO: 42)

MHHHHHHHGGGGGIEGRGSPLRDEDIQVQENFDLPRIYGKWYEIAIASTCPWVKNHKD
KMFMGTMVLQEGEQSDRISTTSTRIRDGTCSQITGYYTLTTTPGKFAYHNSKWNLDVNSYVVHT
NYDEYSIVMMQKYKSSNSTTTVRLYGRTQELRDSLHAEFKKFALDQGIDEDSIYILPKRDECVP
GEPKAESLMAR

21. M8H5GIEGR-человек L89T (SEO ID NO: 43)

 $\label{thm:condition} MHHHHHHHGGGGGIEGRGPVPTPPDNIQVQENFNISRIYGKWYNLAIGSTCPWLKKIM\\ DRMTVSTLVLGEGATEAEISMTSTRWRKGVCEETSGAYEKTDTDGKFTYHKSKWNITMESYVVH\\ TNYDEYAIFLTKKFSRHHGPTITAKLYGRAPQLRETLLQDFRVVAQGVGIPEDSIFTMADRGEC\\ VPGEOEPEPILIPR$ 

22. M8H5GIEGR-человек N1796D (SEQ ID NO: 44)

MHHHHHHHGGGGGIEGRGPVPTPPDNIQVQENFDISRIYGKWYNLAIGSTCPWLKKIM DRMTVSTLVLGEGATEAEISMTSTRWRKGVCEETSGAYEKTDTDGKFLYHKSKWDITMESYVVH TNYDEYAIFLTKKFSRHHGPTITAKLYGRAPQLRETLLQDFRVVAQGVGIPEDSIFTMADRGEC VPGEOEPEPILIPR

23. M8H5GIEGR-человек T45K (SEO ID NO: 45)

MHHHHHHHGGGGGIEGRGPVPTPPDNIQVQENFNISRIYGKWYNLAIGSTCPWLKKIM DRMKVSTLVLGEGATEAEISMTSTRWRKGVCEETSGAYEKTDTDGKFLYHKSKWNITMESYVVH TNYDEYAIFLTKKFSRHHGPTITAKLYGRAPQLRETLLQDFRVVAQGVGIPEDSIFTMADRGEC VPGEQEPEPILIPR

24. M8H5GIEGR-человек A135E (SEQ ID NO: 46)

MHHHHHHHGGGGGIEGRGPVPTPPDNIQVQENFNISRIYGKWYNLAIGSTCPWLKKIM DRMTVSTLVLGEGATEAEISMTSTRWRKGVCEETSGAYEKTDTDGKFLYHKSKWNITMESYVVH TNYDEYAIFLTKKFSRHHGPTITAKLYGREPQLRETLLQDFRVVAQGVGIPEDSIFTMADRGEC VPGEOEPEPILIPR

25. M8H5GIEGR-человек V170S (SEQ ID NO: 47)

 $\label{thm:condition} MHHHHHHHGGGGGIEGRGPVPTPPDNIQVQENFNISRIYGKWYNLAIGSTCPWLKKIM \\ DRMTVSTLVLGEGATEAEISMTSTRWRKGVCEETSGAYEKTDTDGKFLYHKSKWNITMESYVVH \\ TNYDEYAIFLTKKFSRHHGPTITAKLYGRAPQLRETLLQDFRVVAQGVGIPEDSIFTMADRGEC \\ SPGEQEPEPILIPR$ 

26. M8H5GIEGR-человек V148D (SEQ ID NO: 48)

MHHHHHHHGGGGGIEGRGPVPTPPDNIQVQENFNISRIYGKWYNLAIGSTCPWLKKIM DRMTVSTLVLGEGATEAEISMTSTRWRKGVCEETSGAYEKTDTDGKFLYHKSKWNITMESYVVH

TNYDEYAIFLTKKFSRHHGPTITAKLYGRAPQLRETLLQDFRDVAQGVGIPEDSIFTMADRGEC VPGEOEPEPILIPR

27. M8H5GIEGR-человек G172Q (SEQ ID NO: 49)

 $\label{thm:condition} MHHHHHHHGGGGGIEGRGPVPTPPDNIQVQENFNISRIYGKWYNLAIGSTCPWLKKIM \\ DRMTVSTLVLGEGATEAEISMTSTRWRKGVCEETSGAYEKTDTDGKFLYHKSKWNITMESYVVH \\ TNYDEYAIFLTKKFSRHHGPTITAKLYGRAPQLRETLLQDFRVVAQGVGIPEDSIFTMADRGEC \\ VPQEQEPEPILIPR$ 

33. M8H4DK-человек M41K+R66H (SEQ ID NO: 50)

MHHHHHHHDDDDKGPVPTPPDNIQVQENFNISRIYGKWYNLAIGSTCPWLKKIKDRMT VSTLVLGEGATEAEISMTSTHWRKGVCEETSGAYEKTDTDGKFLYHKSKWNITMESYVVHTNYD EYAIFLTKKFSRHHGPTITAKLYGRAPQLRETLLQDFRVVAQGVGIPEDSIFTMADRGECVPGE QEPEPILIPR

34. M8H4DK-человек M41K+N1796D (SEO ID NO: 51)

MHHHHHHHDDDDKGPVPTPPDNIQVQENFDISRIYGKWYNLAIGSTCPWLKKIKDRMT VSTLVLGEGATEAEISMTSTRWRKGVCEETSGAYEKTDTDGKFLYHKSKWDITMESYVVHTNYD EYAIFLTKKFSRHHGPTITAKLYGRAPQLRETLLQDFRVVAQGVGIPEDSIFTMADRGECVPGE OEPEPILIPR

35. M8H4DK-человек R66H+N1796D (SEQ ID NO: 52)

MHHHHHHHDDDDKGPVPTPPDNIQVQENFDISRIYGKWYNLAIGSTCPWLKKIMDRMT VSTLVLGEGATEAEISMTSTHWRKGVCEETSGAYEKTDTDGKFLYHKSKWDITMESYVVHTNYD EYAIFLTKKFSRHHGPTITAKLYGRAPQLRETLLQDFRVVAQGVGIPEDSIFTMADRGECVPGE QEPEPILIPR

36. M8H4DK-человек M41K+R66H+N1796D (SEQ ID NO: 53)

MHHHHHHHDDDDKGPVPTPPDNIQVQENFDISRIYGKWYNLAIGSTCPWLKKIKDRMT VSTLVLGEGATEAEISMTSTHWRKGVCEETSGAYEKTDTDGKFLYHKSKWDITMESYVVHTNYD EYAIFLTKKFSRHHGPTITAKLYGRAPQLRETLLQDFRVVAQGVGIPEDSIFTMADRGECVPGE OEPEPILIPR

37. M8H4DK-человек M41K (SEQ ID NO: 8)

MHHHHHHHDDDDKGPVPTPPDNIQVQENFNISRIYGKWYNLAIGSTCPWLKKIKDRMT VSTLVLGEGATEAEISMTSTRWRKGVCEETSGAYEKTDTDGKFLYHKSKWNITMESYVVHTNYD EYAIFLTKKFSRHHGPTITAKLYGRAPQLRETLLQDFRVVAQGVGIPEDSIFTMADRGECVPGE QEPEPILIPR

38. M8H4DK-человек R66H (SEQ ID NO: 54)

MHHHHHHHDDDDKGPVPTPPDNIQVQENFNISRIYGKWYNLAIGSTCPWLKKIMDRMT VSTLVLGEGATEAEISMTSTHWRKGVCEETSGAYEKTDTDGKFLYHKSKWNITMESYVVHTNYD EYAIFLTKKFSRHHGPTITAKLYGRAPOLRETLLODFRVVAOGVGIPEDSIFTMADRGECVPGE **QEPEPILIPR** 

39. M8H4DK-человек N1796D (SEQ ID NO: 55)

MHHHHHHHDDDDKGPVPTPPDNIQVQENFDISRIYGKWYNLAIGSTCPWLKKIMDRMT VSTLVLGEGATEAEISMTSTRWRKGVCEETSGAYEKTDTDGKFLYHKSKWDITMESYVVHTNYD EYAIFLTKKFSRHHGPTITAKLYGRAPQLRETLLQDFRVVAQGVGIPEDSIFTMADRGECVPGE OEPEPILIPR

40. M8H-человеческий wt (SEQ ID NO: 56)

MHHHHHHHGPVPTPPDNIQVQENFNISRIYGKWYNLAIGSTCPWLKKIMDRMTVSTLV LGEGATEAEISMTSTRWRKGVCEETSGAYEKTDTDGKFLYHKSKWNITMESYVVHTNYDEYAIF LTKKFSRHHGPTITAKLYGRAPQLRETLLQDFRVVAQGVGIPEDSIFTMADRGECVPGEQEPEP TLIPR

41. M8H-человек R66H+N1796D (SEQ ID NO: 57)

MHHHHHHHGPVPTPPDNIQVQENFDISRIYGKWYNLAIGSTCPWLKKIMDRMTVSTLV LGEGATEAEISMTSTHWRKGVCEETSGAYEKTDTDGKFLYHKSKWDITMESYVVHTNYDEYAIF LTKKFSRHHGPTITAKLYGRAPQLRETLLQDFRVVAQGVGIPEDSIFTMADRGECVPGEQEPEP TLIPR

42. R66H+N1796D (SEO ID NO: 3)

MGPVPTPPDNIQVQENFDISRIYGKWYNLAIGSTCPWLKKIMDRMTVSTLVLGEGATEA EISMTSTHWRKGVCEETSGAYEKTDTDGKFLYHKSKWDITMESYVVHTNYDEYAIFLTKKFSRH HGPTITAKLYGRAPQLRETLLQDFRVVAQGVGIPEDSIFTMADRGECVPGEQEPEPILIPR

61. без метки, человеческий wt (SEQ ID NO: 2)

MGPVPTPPDNIQVQENFNISRIYGKWYNLAIGSTCPWLKKIMDRMTVSTLVLGEGATEA EISMTSTRWRKGVCEETSGAYEKTDTDGKFLYHKSKWNITMESYVVHTNYDEYAIFLTKKFSRH HGPTITAKLYGRAPQLRETLLQDFRVVAQGVGIPEDSIFTMADRGECVPGEQEPEPILIPR Последовательность ДНК всех конструкций.

60. M8H4DK-человеческий wt (SEQ ID NO: 58)

ATGCATCACCATCACCATCACCATCACGATGACGATGACAAGGGCCCTGTGCCAACGCC
GCCCGACAACATCCAAGTGCAGGAAAACTTCAATATCTCTCGGATCTATGGGAAGTGGTACAAC
CTGGCCATCGGTTCCACCTGCCCCTGGCTGAAGAAGATCATGGACAGGATGACAGTGAGCACGC
TGGTGCTGGGAGAGGGCGCTACAGAGGCGGAGATCAGCATGACCAGCACTCGTTGGCGGAAAGG
TGTCTGTGAGGAGACGTCTGGAGCTTATGAGAAAACAGATACTGATGGGAAGTTTCTCTATCAC
AAATCCAAATGGAACATAACCATGGAGTCCTATGTGGTCCACACCAACTATGATGAGTATGCCA
TTTTCCTGACCAAGAAATTCAGCCGCCATCATGGACCCACCATTACTGCCAAGCTCTACGGGCG
GGCGCCGCAGCTGAGGGAAACTCTCCTGCAGGACTTCAGAGTGGTTGCCCAGGGTGTGGGCATC
CCTGAGGACTCCATCTTCACCATGGCTGACCGAGGTGAATGTTCCCTGGGGAGCAGGAACCAG
AGCCCATCTTAATCCCGAGATGA

#### 1. M8H5GIEGR-мышь (SEQ ID NO: 59)

ATGCATCACCATCACCATCACCATCACGGTGGAGGGGGGTATCGAGGGCCGCGACCC
TGCGTCAACACTGCCAGATATCCAGGTTCAGGAGAACTTCAGTGAGTCCCGGATCTATGGAAAA
TGGTACAACCTGGCGGTGGGATCCACCTGCCCGTGGCTGAGCCGCATTAAGGACAAGATGAGCG
TGAGCACGCTGGTGCTGCAGGAGGGGGGCGACAGAAACAGAGATCAGCATGACCAGTACTCGATG
GCGGAGAGGTGTCTGTGAGGAGATCACTGGGGGCGTACCAGAAGACGGACATCGATGGAAAGTTC
CTCTACCACAAATCCAAATGGAACATAACCTTGGAATCCTATGTGGTCCACACCAACTATGACG
AATATGCCATTTTCCTTACCAAGAAGTCCAGCCACCACCACCACGGGCTCACCATCACTGCCAAGCT
CTATGGTCGGGGAGCCACAGCTGAGGGGACAGCCTTCTGCAGGAGTTCAAGGATGTGCCCTGAAT
GTGGGCATCTCTGAGAACTCCATCATTTTTATGCCTGACAGAGGGGAATGTGTCCCTGGGGATC
GGGAGGTGGAGCCCACATCAATTGCCAGATGA

### 2. M8H5GIEGR-голый землекоп (SEQ ID NO: 60)

## 3. M8H5GIEGR-лягушка (SEQ ID NO: 61)

## 4. M8H5GIEGR-цыпленок (SEQ ID NO: 62)

 AAATGGTATGACGTAGCTGTTGGCACCACCTGCAAGTGGATGAAGAACTACAAGGAGAAGTTCA
GCATGGGCACACTGGTGCTGGGCCCCGGCCCCAGCGCTGACCAGATCAGTACCATCAGCACCAG
GCTGCGGCAAGGTGACTGCAAACGTGTCTCAGGAGAGTACCAGAAAACTGACACCCCTGGCAAA
TACACCTACTATAACCCCAAGTGGGATGTGTCTATCAAGTCCTACGTGCTTCGCACCAACTATG
AAGAATACGCAGTCATTCTGATGAAGAAGACAAGTAATTTTTGGCCCAACCACCACACTGAAGCT
GTATGGGAGAAGCCCAGAGCTGCGGGAAGAGCTCACCGAGGCTTTCCAGCAGCTGGCTCTGGAG
ATGGGCATCCCTGCAGATTCCGTCTTCATCCTGGCCAACAAAGGTGAATGTGTCCCACAGGAGA
CTGCCACTGCCCCTGAGAGGTGA

#### 5. M8H5GIEGR-кролик (SEQ ID NO: 63)

ATGCATCACCATCACCATCACCATCACGGTGGAGGGGGGTATCGAGGGCCGCGACCC
CGTGCCCACCCTGCCGGACGACATCCAAGTGCAGGAGAACTTCGAGCTCTCTCGGATCTACGGG
AAATGGTACAACCTGGCTGTGGGGTCCACCTGCCCGTGGCTGAAGAGGATCAAGGACAGGATGG
CCGTGAGCACGCTGGTGCTGGGAGAGGGGACGAGACGGAGATCAGCATGACCAGCACGCA
CTGGCGGAGGGGCGTCTGTGAGGAGATCTCCCGGGGCCTATGAGAAAACGGACACTGACGGAAG
TTCCTGTACCACAAAGCCAAATGGAACTTAACCATGGAGTCCTACGTGGTGCACACCAACTACG
ATGAGTATGCCATTTTTCTCACCAAGAAATTCAGCCGCCGCCACGGCCCCACCATCACCGCCAA
GCTCTATGGGCGGGGAGCCGCAGCTGAGGGAGAGCCTCCTGCAGGAGTTCAGGGAGGTGGCTCTC
GGGGTGGGGATCCCCGAGAACTCCATCTTCACCATGATCGACAGAGGGAATGTGTGCCCGGGC
AGCAGGAACCAAAGCCTGCCCCCGTGTTGAGATGA

### 6. M8H5GIEGR-беличья обезьяна (SEQ ID NO: 64)

### 7. M8H5GIEGR-морж (SEQ ID NO: 65)

 TTCCTCTATCATAATCCCAAATGGAACATCACCATGGAGTCCTATGTGGTCCACACCGACTATG
ATGAGTACGCCATCTTTCTGACCAAGAAATTCAGCCGCCACCATGGGCCCACCATTACTGCCAA
GCTCTATGGGCGACAGCCGCAGCTTCGAGAAAGCCTGCTGGAGGAGTTCAGGGAGCTTGCCTTG
GGTGTGGGCATCCCCGAGGACTCCATCTTCACCATGGCCAACAAAGGTGAGTGTCCCTGGGG
AGCAGGAACCAGAGCCCTCTCCACACATGAGGTGA

#### 8. M8H5GIEGR-ламантин (SEQ ID NO: 66)

## 9. M8H5GIEGR-камбала (SEQ ID NO: 67)

## 10. M8H5GIEGR-opahrymahr (SEQ ID NO: 68)

ATGCATCACCATCACCATCACGGTGGAGGAGGGGGTATCGAGGGCCGCGCCC
TGTGCCGACGCCCGACAACATCCAAGTGCAGGAAAACTTCAATATCTCTCGGATCTATGGG
AAGTGGTACAACCTGGCCATCGGTTCCACCTGCCCCTGGCTGAAGAAGATCATGGACAGGATGA
CAGTGAGCACCCTGGTGCTGGGAGAGGGCGCTACAGAGGCGGAGATCAGCATGACCAGCACTCG
TTGGCGGAAAGGTGTCTGTGAGGAGACATCTGGAGCTTATGAGAAAACAGATACTGATGGGAAG
TTTCTCTATCACAAATCCAAATGGAACATAACCATGGAGTCCTATGTGGTCCACACCAACTATG
ATGAGTATGCCATTTTCCTGACCAAGAAATTCAGCCGCCGTCATGGACCCACCATTACTGCCAA
GCTCTACGGGCGGGCGCCGCAGCTGAGGGAAACCCTCCTGCAGGACTTCAGAGTGGTTGCCCAG

 ${\tt GGTGTGGGCATCCCTGAGGACTCCATCTTCACCATGGCTGACCGAGGTGAATGTTCCCTGGGG}$   ${\tt AACAGGAACCAGAGCCCATCTTAATCCCGAGATGA}$ 

#### 11. M8H5GIEGR-человек Р35K (SEQ ID NO:69)

ATGCATCACCATCACCATCACCATCACGGTGGAGGAGGGGGTATCGAGGGCCGCGCCC
TGTGCCAACGCCGCCCGACAACATCCAAGTGCAGGAAAACTTCAATATCTCTCGGATCTATGGG
AAGTGGTACAACCTGGCCATCGGTTCCACCTGCAAATGGCTGAAGAAGATCATGGACAGGATGA
CAGTGAGCACGCTGGTGCTGGGAGAGGGCGCTACAGAGGCGGAGATCAGCATGACCAGCACTCG
TTGGCCGAAAGGTGTCTGTGAGGAGACGTCTGGAGCTTATGAGAAAACAGATACTGATGGGAAG
TTTCTCTATCACAAATCCAAATGGAACATAACCATGGAGTCCTATGTGGTCCACACCAACTATG
ATGAGTATGCCATTTTCCTGACCAAGAAATTCAGCCGCCATCATGGACCCACCATTACTGCCAA
GCTCTACGGGCGGCGCCGCAGCTGAGGGAAACTCTCCTGCAGGACCTTCAGAGTGGTTGCCCAG
GGTGTGGGCATCCCTGAGGACTCCATCTTCACCATGGCTGACCGAGGTGAATGTGTCCCTGGGG
AGCAGGAACCAGAGCCCATCTTAATCCCGAGATGA

### 12. M8H5GIEGR-человек M41K (SEQ ID NO: 70

ATGCATCACCATCACCATCACCATCACGGTGGAGGGGGGTATCGAGGGCCGCCCC
TGTGCCAACGCCGCCCGACAACATCCAAGTGCAGGAAAACTTCAATATCTCTCGGATCTATGGG
AAGTGGTACAACCTGGCCATCGGTTCCACCTGCCCCTGGCTGAAGAAGATCAAAGACAGGATGA
CAGTGAGCACGCTGGTGCTGGGAGAGGGCGCTACAGAGGCGGAGATCAGCATGACCAGCACTCG
TTGGCGGAAAGGTGTCTGTGAGGAGACGTCTGGAGCTTATGAGAAAACAGATACTGATGGGAAG
TTTCTCTATCACAAATCCAAATGGAACATAACCATGGAGTCCTATGTGGTCCACACCAACTATG
ATGAGTATGCCATTTTCCTGACCAAGAAATTCAGCCGCCATCATGGACCCACCATTACTGCCAA
GCTCTACGGGCGGGCGCCGCAGCTGAGGGAAACTCTCCTGCAGGACCTTCAGAGTGGTTGCCCAG
GGTGTGGGCATCCCTGAGGACTCCATCTTCACCATGGCTGACCGAGGTGAATGTGTCCCTGGGG
AGCAGGAACCAGAGCCCATCTTAATCCCGAGATGA

## 13. M8H5GIEGR-человек R66H (SEQ ID NO: 71)

ATGCATCACCATCACCATCACGGTGGAGGAGGGGGTATCGAGGGCCGCCCC
TGTGCCAACGCCGCCCGACAACATCCAAGTGCAGGAAAACTTCAATATCTCTCGGATCTATGGG
AAGTGGTACAACCTGGCCATCGGTTCCACCTGCCCCTGGCTGAAGAAGATCATGGACAGGATGA
CAGTGAGCACGCTGGTGCTGGGAGAGGGCGCTACAGAGGCGGAGATCAGCATGACCAGCACTCA
TTGGCGGAAAGGTGTCTGTGAGGAGACGTCTGGAGCTTATGAGAAAACAGATACTGATGGGAAG
TTTCTCTATCACAAATCCAAATGGAACATAACCATGGAGTCCTATGTGGTCCACACCAACTATG
ATGAGTATGCCATTTTCCTGACCAAGAAATTCAGCCGCCATCATGGACCCACCATTACTGCCAA
GCTCTACGGGCGGGCGCCGCAGCTGAGGGAAACTCTCCTGCAGGACCTTCAGAGTGGTTGCCCAG
GGTGTGGGCATCCCTGAGGACTCCATCTTCACCATGGCTGACCGAGGTGAATGTGTCCCTGGGG
AGCAGGAACCAGAGCCCATCTTAATCCCGAGATGA

## 14. M8H5GIEGR-человек T75K (SEQ ID NO: 72)

ATGCATCACCATCACCATCACCATCACGGTGGAGGGGGGTATCGAGGGCCGCGGCCC
TGTGCCAACGCCGCCGACAACATCCAAGTGCAGGAAAACTTCAATATCTCTCGGATCTATGGG
AAGTGGTACAACCTGGCCATCGGTTCCACCTGCCCCTGGCTGAAGAAGATCATGGACAGGATGA
CAGTGAGCACGCTGGTGCTGGGAGAGGGCGCTACAGAGGGCGGAGATCAGCATGACCAGCACTCG
TTGGCCGAAAGGTGTCTGTGAGGAGAAATCTGGAGCTTATGAGAAAACAGATACTGATGGGAAG
TTTCTCTATCACAAATCCAAATGGAACATAACCATGGAGTCCTATGTGGTCCACACCAACTATG
ATGAGTATGCCATTTTCCTGACCAAGAAATTCAGCCGCCATCATGGACCCACCATTACTGCCAA
GCTCTACGGGCGGGCGCCGCAGCTGAGGGAAACTCTCCTGCAGGACTTCAGAGTGGTTGCCCAG
GGTGTGGGCATCCCTGAGGACTCCATCTTCACCATGGCTGACCGAGGTGAATGTGTCCCTGGGG
AGCAGGAACCAGAGCCCATCTTAATCCCGAGATGA

#### 15. M8H5GIEGR-человек T75Y (SEO ID NO: 73)

ATGCATCACCATCACCATCACCATCACGGTGGAGGGGGGTATCGAGGGCCGCCCC
TGTGCCAACGCCGCCCGACAACATCCAAGTGCAGGAAAACTTCAATATCTCTCGGATCTATGGG
AAGTGGTACAACCTGGCCATCGGTTCCACCTGCCCCTGGCTGAAGAAGATCATGGACAGGATGA
CAGTGAGCACGCTGGTGCTGGGAGAGGGCGCTACAGAGGCGGAGATCAGCATGACCAGCACTCG
TTGGCGGAAAGGTGTCTGTGAGGAGTATTCTGGAGCTTATGAGAAAACAGATACTGATGGGAAG
TTTCTCTATCACAAATCCAAATGGAACATAACCATGGAGTCCTATGTGGTCCACACCAACTATG
ATGAGTATGCCATTTTCCTGACCAAGAAATTCAGCCGCCATCATGGACCCACCATTACTGCCAA
GCTCTACGGGCGGGCGCCGCAGCTGAGGGAAACTCTCCTGCAGGACCTTCAGAGTGGTTGCCCAG
GGTGTGGGCATCCCTGAGGACTCCATCTTCACCATGGCTGACCGAGGTGAATGTGTCCCTGGGG
AGCAGGAACCAGAGCCCATCTTAATCCCGAGATGA

#### 16. M8H5GIEGR-человек M99K (SEO ID NO: 74)

ATGCATCACCATCACCATCACCATCACGGTGGAGGGGGGTATCGAGGGCCGCGCCC
TGTGCCAACGCCGCCCGACAACATCCAAGTGCAGGAAAACTTCAATATCTCTCGGATCTATGGG
AAGTGGTACAACCTGGCCATCGGTTCCACCTGCCCCTGGCTGAAGAAGATCATGGACAGGATGA
CAGTGAGCACGCTGGTGCTGGGAGAGGGCGCTACAGAGGGGGAGATCAGCATGACCAGCACTCG
TTGGCGGAAAAGTGTCTGTGAGGAGACGTCTGGAGGTTTATGAGAAAACAGATACTGATGGGAAG
TTTCTCTATCACAAATCCAAATGGAACATAACCAAAGAGTCCTATGTGGTCCACACCAACTATG
ATGAGTATGCCATTTTCCTGACCAAGAAATTCAGCCGCCATCATGGACCCACCATTACTGCCAA
GCTCTACGGGGGGGCGCCGCAGCTGAGGGAAACTCTCCTGCAGGACTTCAGAGTGGTTGCCCAG
GGTGTGGGCATCCCTGAGGACTCCATCTTCACCATGGCTGACCGAGGTGAATGTTCCCTGGGG
AGCAGGAACCAGAGCCCATCTTAATCCCGAGATGA

## 17. M8H5GIEGR-человек S101Y (SEQ ID NO: 75)

ATGCATCACCATCACCATCACGGTGGAGGAGGGGGTATCGAGGGCCGCCCCTGTGCCAACGCCGCCCGACAACATCCAAGTGCAGGAAAACTTCAATATCTCTCGGATCTATGGGAAGTGGTACAACCTGGCCATCGGTTCCACCTGCCCTGGCTGAAGAAGATCATGGACAGGATGA

CAGTGAGCACGCTGGTGCTGGGAGAGGGCGCTACAGAGGCGGAGATCAGCATGACCAGCACTCG
TTGGCCGAAAGGTGTCTGTGAGGAGACGTCTGGAGCTTATGAGAAAACAGATACTGATGGGAAG
TTTCTCTATCACAAATCCAAATGGAACATAACCATGGAGTATTATGTGGTCCACACCAACTATG
ATGAGTATGCCATTTTCCTGACCAAGAAATTCAGCCGCCATCATGGACCCACCATTACTGCCAA
GCTCTACGGGCGGGCGCCGCAGCTGAGGGAAACTCTCCTGCAGGACTTCAGAGTGGTTGCCCAG
GGTGTGGGCATCCCTGAGGACTCCATCTTCACCATGGCTGACCGAGGTGAATGTGTCCCTGGGG
AGCAGGAACCAGAGCCCATCTTAATCCCGAGATGA

### 18. M8H5GIEGR-человек K69.92.118.130R (SEQ ID NO: 76)

ATGCATCACCATCACCATCACCATCACGGTGGAGGGGGGTATCGAGGGCCGCGCCC
TGTGCCAACGCCGCCCGACAACATCCAAGTGCAGGAAAACTTCAATATCTCTCGGATCTATGGG
AAGTGGTACAACCTGGCCATCGGTTCCACCTGCCCCTGGCTGAAGAAGATCATGGACAGGATGA
CAGTGAGCACGCTGGTGCTGGGAGAGGGCGCTACAGAGGGGGAGATCAGCATGACCAGCACTCG
TTGGCGGCGTGGTGTCTGTGAGGAGACGTCTGGAGCTTATGAGAAAACAGATACTGATGGGAAG
TTTCTCTATCACCGTTCCAAATGGAACATAACCATGGAGTCCTATGTGGTCCACACCAACTATG
ATGAGTATGCCATTTTCCTGACCAAGCGTTTCAGCCGCCATCATGGACCCACCATTACTGCCCG
TCTCTACGGGGGGGCGCCGCAGCTGAGGGAAACTCTCCTGCAGGACTTCAGAGTGGTTGCCCAG
GGTGTGGGCATCCCTGAGGACTCCATCTTCACCATGGCTGACCGAGGTGAATGTTCCCTGGGG
AGCAGGAACCAGAGCCCATCTTAATCCCGAGATGA

#### 19. M8H5GIEGR-латимерия (SEQ ID NO: 77)

## 21. M8H5GIEGR-человек L89T (SEQ ID NO: 78)

ATGCATCACCATCACCATCACGGTGGAGGAGGGGGTATCGAGGGCCGCGCCC
TGTGCCAACGCCGCCCGACAACATCCAAGTGCAGGAAAACTTCAATATCTCTCGGATCTATGGG
AAGTGGTACAACCTGGCCATCGGTTCCACCTGCCCCTGGCTGAAGAAGATCATGGACAGGATGA
CAGTGAGCACGCTGGTGCTGGGAGAGGGCGCTACAGAGGCGGAGATCAGCATGACCAGCACTCG
TTGGCGGAAAGGTGTCTGTGAGGAGACGTCTGGAGCTTATGAGAAAACAGATACTGATGGGAAG
TTTACCTATCACAAATCCAAATGGAACATAACCATGGAGTCCTATGTGGTCCACACCAACTATG

ATGAGTATGCCATTTTCCTGACCAAGAAATTCAGCCGCCATCATGGACCCACCATTACTGCCAA
GCTCTACGGGCGGGCGCCGCAGCTGAGGGAAACTCTCCTGCAGGACTTCAGAGTGGTTGCCCAG
GGTGTGGGCATCCCTGAGGACTCCATCTTCACCATGGCTGACCGAGGTGAATGTGTCCCTGGGG
AGCAGGAACCAGAGCCCATCTTAATCCCGAGATGA

#### 22. M8H5GIEGR-человек N1796D (SEQ ID NO: 79)

ATGCATCACCATCACCATCACCATCACGGTGGAGGGGGGTATCGAGGGCCGCGCCC
TGTGCCAACGCCGCCCGACAACATCCAAGTGCAGGAAAACTTCGATATCTCTCGGATCTATGGG
AAGTGGTACAACCTGGCCATCGGTTCCACCTGCCCCTGGCTGAAGAAGATCATGGACAGGATGA
CAGTGAGCACGCTGGTGCTGGGAGAGGGCGCTACAGAGGCGGAGATCAGCATGACCAGCACTCG
TTGGCGGAAAGGTGTCTGTGAGGAGACGTCTGGAGCTTATGAGAAAACAGATACTGATGGGAAG
TTTCTCTATCACAAATCCAAATGGGATATAACCATGGAGTCCTATGTGGTCCACACCAACTATG
ATGAGTATGCCATTTTCCTGACCAAGAAATTCAGCCGCCATCATGGACCCACCATTACTGCCAA
GCTCTACGGGCGGGCGCCGCAGCTGAGGGAAACTCTCCTGCAGGACTTCAGAGTGGTTGCCCAG
GGTGTGGGCATCCCTGAGGACTCCATCTTCACCATGGCTGACCGAGGTGAATGTGTCCCTGGGG
AGCAGGAACCAGAGCCCATCTTAATCCCGAGATGA

### 23. M8H5GIEGR-человек Т45K (SEQ ID NO: 80)

ATGCATCACCATCACCATCACCATCACGGTGGAGGGGGGTATCGAGGGCCGCCCC
TGTGCCAACGCCGCCCGACAACATCCAAGTGCAGGAAAACTTCAATATCTCTCGGATCTATGGG
AAGTGGTACAACCTGGCCATCGGTTCCACCTGCCCCTGGCTGAAGAAGATCATGGACAGGATGA
AAGTGAGCACGCTGGTGCTGGGAGAGGGCGCTACAGAGGCGGAGATCAGCATGACCAGCACTCG
TTGGCGGAAAGGTGTCTGTGAGGAGACGTCTGGAGCTTATGAGAAAACAGATACTGATGGGAAG
TTTCTCTATCACAAATCCAAATGGAACATAACCATGGAGTCCTATGTGGTCCACACCAACTATG
ATGAGTATGCCATTTTCCTGACCAAGAAATTCAGCCGCCATCATGGACCCACCATTACTGCCAA
GCTCTACGGGCGGGCGCCGCAGCTGAGGGAAACTCTCCTGCAGGACCTTCAGAGTGGTTGCCCAG
GGTGTGGGCATCCCTGAGGACTCCATCTTCACCATGGCTGACCGAGGTGAATGTGTCCCTGGGG
AGCAGGAACCAGAGCCCATCTTAATCCCGAGATGA

# 24. M8H5GIEGR-человек A135E (SEQ ID NO: 81)

ATGCATCACCATCACCATCACCATCACGGTGGAGGAGGGGGTATCGAGGGCCGCGCCC
TGTGCCAACGCCGCCGACAACATCCAAGTGCAGGAAAACTTCAATATCTCTCGGATCTATGGG
AAGTGGTACAACCTGGCCATCGGTTCCACCTGCCCCTGGCTGAAGAAGATCATGGACAGGATGA
CAGTGAGCACGCTGGTGCTGGGAGAGGGCGCTACAGAGGCGGAGATCAGCATCAGCACTCG
TTGGCGGAAAGGTGTCTGTGAGGAGACGTCTGGAGCTTATGAGAAAACAGATACTGATGGGAAG
TTTCTCTATCACAAATCCAAATGGAACATAACCATGGAGTCCTATGTGGTCCACACCAACTATG
ATGAGTATGCCATTTTCCTGACCAAGAAATTCAGCCGCCATCATGGACCCACCATTACTGCCAA
GCTCTACGGGCGGGAACCGCAGCTGAGGGAAACTCTCCTGCAGGACTTCAGAGTGGTTGCCCAG
GGTGTGGGCATCCCTGAGGACTCCATCTTCACCATGGCTGACCGAGGTGAATGTGTCCCTGGGG

#### AGCAGGAACCAGAGCCCATCTTAATCCCGAGATGA

25. M8H5GIEGR-человек V170S (SEO ID NO: 82)

ATGCATCACCATCACCATCACCATCACGGTGGAGGAGGGGGTATCGAGGGCCGCGCCC
TGTGCCAACGCCGCCCGACAACATCCAAGTGCAGGAAAACTTCAATATCTCTCGGATCTATGGG
AAGTGGTACAACCTGGCCATCGGTTCCACCTGCCCCTGGCTGAAGAAGATCATGGACAGGATGA
CAGTGAGCACGCTGGTGCTGGGAGAGGGCGCTACAGAGGCGGAGATCAGCATGACCAGCACTCG
TTGGCGGAAAGGTGTCTGTGAGGAGACGTCTGGAGCTTATGAGAAAACAGATACTGATGGGAAG
TTTCTCTATCACAAATCCAAATGGAACATAACCATGGAGTCCTATGTGGTCCACACCAACTATG
ATGAGTATGCCATTTTCCTGACCAAGAAATTCAGCCGCCATCATGGACCCACCATTACTGCCAA
GCTCTACGGGCGGGCGCCGCAGCTGAGGGAAACTCTCCTGCAGGACCTTCAGAGTGGTTGCCCAG
GGTGTGGGCATCCCTGAGGACTCCATCTTCACCATGGCTGACCGAGGTGAATGTTCTCCTGGGG
AGCAGGAACCAGAGCCCATCTTAATCCCGAGATGA

26. M8H5GIEGR-человек V148D (SEQ ID NO: 83)

ATGCATCACCATCACCATCACCATCACGGTGGAGGGGGGTATCGAGGGCCGCCCC
TGTGCCAACGCCGCCCGACAACATCCAAGTGCAGGAAAACTTCAATATCTCTCGGATCTATGGG
AAGTGGTACAACCTGGCCATCGGTTCCACCTGCCCCTGGCTGAAGAAGATCATGGACAGGATGA
CAGTGAGCACGCTGGTGCTGGGAGAGGGCGCTACAGAGGCGGAGATCAGCATGACCAGCACTCG
TTGGCGGAAAGGTGTCTGTGAGGAGACGTCTGGAGCTTATGAGAAAACAGATACTGATGGGAAG
TTTCTCTATCACAAATCCAAATGGAACATAACCATGGAGTCCTATGTGGTCCACACCAACTATG
ATGAGTATGCCATTTTCCTGACCAAGAAATTCAGCCGCCATCATGGACCCACCATTACTGCCAA
GCTCTACGGGCGGGCGCCGCAGCTGAGGGAAACTCTCCTGCAGGACTTCAGAGATGTTGCCCAG
GGTGTGGGCATCCCTGAGGACTCCATCTTCACCATGGCTGACCGAGGTGAATGTTCCCTGGGG
AGCAGGAACCAGAGCCCATCTTAATCCCGAGATGA

27. M8H5GIEGR-человек G172Q (SEQ ID NO: 84)

ATGCATCACCATCACCATCACCATCACGGTGGAGGAGGGGGTATCGAGGGCCGCGCCC
TGTGCCAACGCCGCCCGACAACATCCAAGTGCAGGAAAACTTCAATATCTCTCGGATCTATGGG
AAGTGGTACAACCTGGCCATCGGTTCCACCTGCCCCTGGCTGAAGAAGATCATGGACAGGATGA
CAGTGAGCACGCTGGTGCTGGGAGAGGGCGCTACAGAGGCGGAGATCAGCATGACCAGCACTCG
TTGGCCGAAAGGTGTCTGTGAGGAGACGTCTGGAGCTTATGAGAAAACAGATACTGATGGGAAG
TTTCTCTATCACAAATCCAAATGGAACATAACCATGGAGTCCTATGTGGTCCACACCAACTATG
ATGAGTATGCCATTTTCCTGACCAAGAAATTCAGCCGCCATCATGGACCCACCATTACTGCCAA
GCTCTACGGGCGGGCGCCGCAGCTGAGGGAAACTCTCCTGCAGGACCTTCAGAGTGGTTGCCCAG
GGTGTGGGCATCCCTGAGGACTCCATCTTCACCATGGCTGACCGAGGTGAATGTGTCCCTCAGG
AGCAGGAACCAGAGCCCATCTTAATCCCGAGATGA

33. M8H4DK-человек M41K+R66H (SEQ ID NO: 85)
ATGCATCACCATCACCATCACGATGACGATGACAAGGGCCCTGTGCCAACGCC

GCCCGACAACATCCAAGTGCAGGAAAACTTCAATATCTCTCGGATCTATGGGAAGTGGTACAAC
CTGGCCATCGGTTCCACCTGCCCCTGGCTGAAGAAGATCAAAGACAGGATGACAGTGAGCACGC
TGGTGCTGGGAGAGGGCGCTACAGAGGCGGAGATCAGCATGACCAGCACTCATTGGCGGAAAGG
TGTCTGTGAGGAGACGTCTGGAGCTTATGAGAAAACAGATACTGATGGGAAGTTTCTCTATCAC
AAATCCAAATGGAACATAACCATGGAGTCCTATGTGGTCCACACCAACTATGATGAGTATGCCA
TTTTCCTGACCAAGAAATTCAGCCGCCATCATGGACCCACCATTACTGCCAAGCTCTACGGGCG
GGCGCCGCAGCTGAGGGAAACTCTCCTGCAGGACTTCAGAGTGGTTGCCCAGGGTGTGGGCATC
CCTGAGGACTCCATCTTCACCATGGCTGACCGAGGTGAATGTGTCCCTGGGGAGCAGGAACCAG
AGCCCATCTTAATCCCGAGATGA

#### 34. M8H4DK-человек M41K+N1796D (SEQ ID NO: 86)

ATGCATCACCATCACCATCACCATCACGATGACGATGACAAGGGCCCTGTGCCAACGCC
GCCCGACAACATCCAAGTGCAGGAAAACTTCGATATCTCTCGGATCTATGGGAAGTGGTACAAC
CTGGCCATCGGTTCCACCTGCCCCTGGCTGAAGAAGATCAAAGACAGGATGACAGTGAGCACGC
TGGTGCTGGGAGAGGGCGCTACAGAGGCGGAGATCAGCATGACCAGCACTCGTTGGCGGAAAGG
TGTCTGTGAGGAGACGTCTGGAGCTTATGAGAAAACAGATACTGATGGGAAGTTTCTCTATCAC
AAATCCAAATGGGATATAACCATGGAGTCCTATGTGGTCCACACCAACTATGATGAGTATGCCA
TTTTCCTGACCAAGAAATTCAGCCGCCATCATGGACCCACCATTACTGCCAAGCTCTACGGGCG
GGCGCCGCAGCTGAGGGAAACTCTCCTGCAGGACTTCAGAGTGGTTGCCCAGGGTGTGGGCATC
CCTGAGGACTCCATCTTCACCATGGCTGACCGAGGTGAATGTGTCCCTGGGGAGCAGGAACCAG
AGCCCATCTTAATCCCGAGATGA

### 35. M8H4DK-человек R66H+N1796D (SEQ ID NO: 87)

ATGCATCACCATCACCATCACCATCACGATGACGATGACAAGGGCCCTGTGCCAACGCC
GCCCGACAACATCCAAGTGCAGGAAAACTTCGATATCTCTCGGATCTATGGGAAGTGGTACAAC
CTGGCCATCGGTTCCACCTGCCCCTGGCTGAAGAAGATCATGGACAGGATGACAGTGAGCACGC
TGGTGCTGGGAGAGGGCGCTACAGAGGCGGAGATCAGCACTCATTGGCGGAAAGG
TGTCTGTGAGGAGACGTCTGGAGCTTATGAGAAAACAGATACTGATGGGAAGTTTCTCTATCAC
AAATCCAAATGGGATATAACCATGGAGTCCTATGTGGTCCACACCAACTATGATGAGTATGCCA
TTTTCCTGACCAAGAAATTCAGCCGCCATCATGGACCCACCATTACTGCCAAGCTCTACGGGCG
GGCGCCGCAGCTGAGGGAAACTCTCCTGCAGGACTTCAGAGTGGTTGCCCAGGGTGTGGGCATC
CCTGAGGACTCCATCTTCACCATGGCTGACCGAGGTGAATGTGTCCCTGGGGAGCAGGAACCAG
AGCCCATCTTAATCCCGAGATGA

#### 36. M8H4DK-человек M41K+R66H+N1796D (SEQ ID NO: 88)

ATGCATCACCATCACCATCACGATGACGATGACAAGGGCCCTGTGCCAACGCC
GCCCGACAACATCCAAGTGCAGGAAAACTTCGATATCTCTCGGATCTATGGGAAGTGGTACAAC
CTGGCCATCGGTTCCACCTGCCCCTGGCTGAAGAAGATCAAAGACAGGATGACAGTGAGCACGC
TGGTGCTGGGAGAGGGCGCTACAGAGGCGGAGATCAGCATGACCAGCACTCATTGGCGGAAAGG

TGTCTGTGAGGAGACGTCTGGAGCTTATGAGAAAACAGATACTGATGGGAAGTTTCTCTATCAC
AAATCCAAATGGGATATAACCATGGAGTCCTATGTGGTCCACACCAACTATGATGAGTATGCCA
TTTTCCTGACCAAGAAATTCAGCCGCCATCATGGACCCACCATTACTGCCAAGCTCTACGGGCG
GGCGCCGCAGCTGAGGGAAACTCTCCTGCAGGACTTCAGAGTGGTTGCCCAGGGTGTGGGCATC
CCTGAGGACTCCATCTTCACCATGGCTGACCGAGGTGAATGTGTCCCTGGGGAGCAGGAACCAG
AGCCCATCTTAATCCCGAGATGA

#### 37. M8H4DK-человек M41K (SEO ID NO: 89)

ATGCATCACCATCACCATCACCATCACGATGACAAGGGCCCTGTGCCAACGCC
GCCCGACAACATCCAAGTGCAGGAAAACTTCAATATCTCTCGGATCTATGGGAAGTGGTACAAC
CTGGCCATCGGTTCCACCTGCCCCTGGCTGAAGAAGATCAAAGACAGGATGACAGTGAGCACGC
TGGTGCTGGGAGAGGGCGCTACAGAGGCGGAGATCAGCATGACCAGCACTCGTTGGCGGAAAGG
TGTCTGTGAGGAGACGTCTGGAGCTTATGAGAAAACAGATACTGATGGGAAGTTTCTCTATCAC
AAATCCAAATGGAACATAACCATGGAGTCCTATGTGGTCCACACCAACTATGATGAGTATGCCA
TTTTCCTGACCAAGAAATTCAGCCGCCATCATGGACCCACCATTACTGCCAAGCTCTACGGGCG
GGCGCCGCAGCTGAGGGAAACTCTCCTGCAGGACTTCAGAGTGGTTGCCCAGGGTGTGGGCATC
CCTGAGGACTCCATCTTCACCATGGCTGACCGAGGTGAATGTGTCCCTGGGGAGCAGGAACCAG
AGCCCATCTTAATCCCGAGATGA

#### 38. M8H4DK-человек R66H (SEQ ID NO: 90)

ATGCATCACCATCACCATCACCATCACGATGACGATGACAAGGGCCCTGTGCCAACGCC
GCCCGACAACATCCAAGTGCAGGAAAACTTCAATATCTCTCGGATCTATGGGAAGTGGTACAAC
CTGGCCATCGGTTCCACCTGCCCCTGGCTGAAGAAGATCATGGACAGGATGACAGTGAGCACGC
TGGTGCTGGGAGAGGGCGCTACAGAGGCGGAGATCAGCATCATTGGCGGAAAGG
TGTCTGTGAGGAGACGTCTGGAGCTTATGAGAAAACAGATACTGATGGGAAGTTTCTCTATCAC
AAATCCAAATGGAACATAACCATGGAGTCCTATGTGGTCCACACCAACTATGATGAGTATGCCA
TTTTCCTGACCAAGAAATTCAGCCGCCATCATGGACCCACCATTACTGCCAAGCTCTACGGGCG
GGCGCCGCAGCTGAGGGAAACTCTCCTGCAGGACTTCAGAGTGGTTGCCCAGGGTGTGGGCATC
CCTGAGGACTCCATCTTCACCATGGCTGACCGAGGTGAATGTGTCCCTGGGGAGCAGGAACCAG
AGCCCATCTTAATCCCGAGATGA

## 39. M8H4DK-человек N1796D (SEQ ID NO: 91)

ATGCATCACCATCACCATCACCATCACGATGACGATGACAAGGGCCCTGTGCCAACGCC
GCCCGACAACATCCAAGTGCAGGAAAACTTCGATATCTCTCGGATCTATGGGAAGTGGTACAAC
CTGGCCATCGGTTCCACCTGCCCCTGGCTGAAGAAGATCATGGACAGGATGACAGTGAGCACGC
TGGTGCTGGGAGAGGGCGCTACAGAGGCGGAGATCAGCATGACCAGCACTCGTTGGCGGAAAGG
TGTCTGTGAGGAGACGTCTGGAGCTTATGAGAAAACAGATACTGATGGGAAGTTTCTCTATCAC
AAATCCAAATGGGATATAACCATGGAGTCCTATGTGGTCCACACCAACTATGATGAGTATGCCA
TTTTCCTGACCAAGAAATTCAGCCGCCATCATGGACCCACCATTACTGCCAAGCTCTACGGGCG

 $\label{thm:condition} $\operatorname{\mathsf{GGCGCCGCAGCTGAGGGAAACTCTCCTGCAGGACTTCAGAGTGGTTGCCCAGGGTGTGGGCATC}$$ $\operatorname{\mathsf{CCTGAGGACTCCATCTTCACCATGGCTGACCGAGGTGAATGTGTCCCTGGGGAGCAGGAACCAG}$$ $\operatorname{\mathsf{AGCCCATCTTAATCCCGAGATGA}$$}$ 

40. M8H-человеческий wt (SEQ ID NO: 92)

41. M8H-человек R66H+N1796D (SEQ ID NO: 93)

42. без метки, человек R66H+N1796D (SEQ ID NO: 94)

ATGGGCCCTGTGCCAACGCCGCCCGACAACATCCAAGTGCAGGAAAACTTCGATATCTC
TCGGATCTATGGGAAGTGGTACAACCTGGCCATCGGTTCCACCTGCCCCTGGCTGAAGAAGATC
ATGGACAGGATGACAGTGAGCACGCTGGTGCTGGGAGAGGGCGCTACAGAGGCGGAGATCAGCA
TGACCAGCACTCATTGGCGGAAAGGTGTCTGTGAGGAGACGTCTGGAGCTTATGAGAAAACAGA
TACTGATGGGAAGTTTCTCTATCACAAATCCAAATGGGATATAACCATGGAGTCCTATGTGGTC
CACACCAACTATGATGAGTATGCCATTTTCCTGACCAAGAAATTCAGCCGCCATCATGGACCCA
CCATTACTGCCAAGCTCTACGGGCGGGCGCCGCAGCTGAGGGAAACTCTCCTGCAGGACTTCAG
AGTGGTTGCCCAGGGTGTGGGCATCCCTGAGGACTCCATCTTCACCATGGCTGACCGAGGTGAA
TGTGTCCCTGGGGAGCAGCAGCACCATCTTAATCCCGAGATGA

61. без метки, человеческий wt (SEQ ID NO: 95)

ATGGGCCCTGTGCCAACGCCGCCCGACAACATCCAAGTGCAGGAAAACTTCAATATCTC
TCGGATCTATGGGAAGTGGTACAACCTGGCCATCGGTTCCACCTGCCCCTGGCTGAAGAAGATC
ATGGACAGGATGACAGTGAGCACGCTGGTGCTGGGAGAGGGCGCTACAGAGGCGGAGATCAGCA
TGACCAGCACTCGTTGGCGGAAAGGTGTCTGTGAGGAGACGTCTGGAGCTTATGAGAAAACAGA
TACTGATGGGAAGTTTCTCTATCACAAATCCAAATGGAACATAACCATGGAGTCCTATGTGGTC
CACACCAACTATGATGAGTATGCCATTTTCCTGACCAAGAAATTCAGCCGCCATCATGGACCCA
CCATTACTGCCAAGCTCTACGGGCGGGCGCCGCAGCTGAGGGAAACTCTCCTGCAGGACTTCAG
AGTGGTTGCCCAGGGTGTGGGCATCCCTGAGGACTCCATCTTCACCATGGCTGACCGAGGTGAA
TGTGTCCCTGGGGAGCAGGAACCAGAGCCCATCTTAATCCCGAGATGA

### Обоснование конструкций вариантов А1М

Были сконструированы, экспрессированы, выделены и анализированы человеческий wt-A1M, 11 гомологов A1M из разных видов и 15 вариантов A1M с точечными мутациями, в общей сложности 27 вариантов A1M (табл. 2). 11 гомологов A1M были выбраны по следующим соображениям. A1M является высококонсервативным между видами. Проводили поиск последовательностей A1M из разных видов в базах данных (www.ncbi.nlm.nih.gov и www.uniprot.org). Были найдены

последовательности АМВР из 67 разных видов. Последовательности исследовали на присутствие А1М-специфических функциональных групп (К69, К92, К118, К130, У22, У132, Н122 и Н123), липокалиновых мотивов (SCR1, 2, 3) (см. ссылки в разделе "Введение") и прогнозируемых сайтов связывания углеводов (Escribano et al., 1990). Пять были классифицированы в качестве не отосящихся к A1M и отброшены, поскольку в них отсутствовал цистеин 34, три были отброшены, потому что в них отсутствовал цистеин 169, четыре, потому что они были неполными, и два, потому что у них были длинные, сомнительные вставки. Аминокислотные последовательности оставшихся 53 гомологов выравнивали, и была моделирована их гипотетическая трехмерная 3D-структура проекцией их аминокислотных последовательностей на кристаллическую структуру человеческого A1M (Meining and Skerra, 2012), для идентификации расположения отдельных аминокислотных боковых цепей в петлях липокалина или внутри или снаружи кармана. Результат этого моделирования использовали для конструирования точечных мутаций, оказывающих влияние на функцию А1М, как описано ниже. Обоснование для выбора конечных 11 гомологов (см. табл. 2) базировалось на комбинации широко распространенного эволюционного представления, методологической осуществимости, потенциально повышенной экологической нагрузки с точки зрения окислительного стресса в среде обитания видов, наличия или отсутствия функциональных А1М-специфичных групп и отсутствия гликозилирования. 15 вариантов А1М с точечными мутациями были выбраны по следующим соображениям. Восемь вариантов были мутированы в стратегических аминокислотах, связанных с проявлением функциональных свойств, и семь вариантов в гидрофильных положениях для повышения стабильности/растворимости (табл. 2). Восемь функциональных мутаций были выбраны, поскольку они 1) имели место у других видов в положениях в 3D-структурной модели (см. выше), которые потенциально могли влиять на функцию А1М и/или 2) теоретически должны уменьшать рКа цистеина 34 и/или 3) теоретически будут обеспечивать дополнительный сайт захвата раликалов.

Прогнозированные данные для всех вариантов рассчитывали с использованием инструмента http://www.alphalyse.com/gpmaw lite.html (табл. 3).

Таблица 2. Варианты, экспрессированные и анализированные в фазе I проекта по исследованию вариантов A1M

			проскта по		анию вариан	100 / 11111	
Номер *	Название	Системное название	Последователь ность белка	Идентифика тор гена Info	Цель мутации	Обоснование	N- концевая метка
60	человек wt	Homo sapiens	NP_001624	gi:4502067			M8H4DK
1	мышь	Mus musculus	NP_031469	gi:311703	Вид	только грызуны, лабораторные животные, были антитела	M8H5GIEGR
2	голый вемлекоп	Heterocep halus glaber	XP_004885260	gi:5128435 27	Вид	долгожители, низкая частота опухолей предполагает наличие хороших эндогенных антиоксидантов	M8H5GIEGR
3	лягушка	Xenopus laevis	NP_001080820	gi:1479057 74	Вид	отсутствие прогнозированного углевода предполагает высокую растворимость полипептида, 1 дополнительный Суs, высокое значение pI	M8H5GIEGR
4	цыпленок	Gallus gallus	NP_001264627	gi:4787329	Вид	только у птиц	M8H5GIEGR
5	кролик	Oryctolag us cuniculus	XP_008271622	gi:6558786 96	Вид	лабораторные животные, были антитела	M8H5GIEGR
6	беличья обезьяна	Saimiri boliviens is	XP_0039252551	gi:4032661 41	Вид	два примата, меньше замен по сравнению с человеком, более легкое считывание	M8H5GIEGR
7	морж	Odobenus rosmarus	XP_004397010	gi:4723547	Вид	неравномерное окисление за счет деления	M8H5GIEGR
8	ламантин	Trichechu s manatus	XP_004372191	gi:0471363 267	Вид	неравномерное окисление за счет деления	M8H5GIEGR
9	камбала	Pleuronec tes platessa	2021284A	gi:1091607	Вид	неравномерное окисление за счет деления	M8H5GIEGR
10	орангутанг	Pongo abelii	NP_001127069	gi:1971027 75	Вид	одна замена - H122R - в представляющем интерес положении: редуктаза и связывание гема	M8H5GIEGR
11	человек Р35К				Функция	а) встречается у птиц и лягушек, b) может снижать pKa C34, c) может быть местом захвата радикалов	M8H5GIEGR
12	человек M41K				Функция	а) встречается у многих видов,     b) может снижать рКа С34, с)     может быть местом захвата     радикалов	M8H5GIEGR
13	человек R66H				Функция	встречается у многих видов, см. грызуны и кролики	M8H5GIEGR
14	человек Т75К				Функция	а) может снижать pKa C34, b) может быть местом захвата радикалов	M8H5GIEGR
15	человек Т75Y				Функция	может быть местом захвата радикалов	M8H5GIEGR
16	человек М99К				Функция	а) может снижать pKa C34, b) может быть местом захвата радикалов	M8H5GIEGR
17	человек S101Y				Функция	может быть местом захвата радикалов	M8H5GIEGR
18	человек K69,92,118, 130R				Функция	может быть местом захвата радикалов	M8H5GIEGR
19	латимерия	Latimeria chalumnae	XP_005994505. 1	gi:5569726 95	Вид	идентифицированная самая примитивная последовательность AlM	M8H5GIEGR
21	человек L89T				Растворимость	гидрофильное положение, повышенная гидрофильность, имеет место у многих видов	M8H5GIEGR
22	человек N17,96D				Растворимость	углеводные фрагменты, повышенная гидрофильность	M8H5GIEGR
23	человек Т45К				Растворимость	гидрофильное положение, повышенный заряд, имеет место у многих видов	M8H5GIEGR
24	человек А135Е				Растворимость	гидрофильное положение, повышенный заряд, имеет место у многих видов	M8H5GIEGR
25	человек V170S				Растворимость	гидрофильное положение, гидрофильность, имеет место у многих видов	M8H5GIEGR
26	человек V148D				Растворимость	гидрофильное положение, гидрофильность, имеет место у многих видов	M8H5GIEGR
27	человек G172Q				Растворимость	гидрофильное положение, гидрофильность, имеет место у птиц	M8H5GIEGR

Таблица 3. Прогнозируемые данные для вариантов в фазе I

#	Вариант	#	нозируемые даг Молекулярн	рΙ	Суммарны	Коэффиц	Индекс
"		аминокисл	ая масса	-	й заряд	иент	гидрофобно
		OT	(Да)		(D+E) -	экстинк	СТИ
					(R+K)	ции 280nm	
						(cm <sup>-1</sup> )	
60	человечески	197	22561	6,4	-5	1,47	-0,64
1	й wt мышь	200	22732	6,6	-4	1,46	-0,60
					_		, i
2	голый землекоп	201	22741	9,2	2	1,40	-0,73
3	лягушка	197	22660	8,0	0	1,22	-0 <b>,</b> 79
4	цыпленок	197	22302	6,5	-3	1,40	-0,76
5	кролик	201	22911	6,9	-2	1,45	-0,61
6	беличья	201	23066	7,3	-1	1,68	-0,69
7	обевьяна	201	22837	6,6	-4	1,39	-0,63
	морж		22837		-4		-0,63
8	ламантин	200		6,6		1,47	
9	камбала	202	22896	6,6	-4	0,89	-0,71
10	орангутанг	201	22733	7,2	-1	1,46	-0,58
11	человек Р35К	201	22745	7,2	-1	1,46	-0,58
12	человек M41K	201	22711	7,2	-1	1,46	-0,60
13	человек R66H	201	22695	6 <b>,</b> 7	-3	1,46	-0,57
14	человек Т75К	201	22741	7,2	-1	1,46	-0,59
15	человек Т75Y	201	22776	6,9	-2	1,51	-0,58
16	человек М99К	201	22711	7,2	-1	1,46	-0,60
17	человек S101Y	201	22790	6,9	-2	1,51	-0,57
18	человек K69,92,118, 130R	201	22826	6 <b>,</b> 9	-2	1,45	-0,58
19	латимерия	198	22741	6 <b>,</b> 7	-3	1,38	-0,78
21	человек L89T	201	22702	6,9	-2	1,46	-0 <b>,</b> 59
22	человек N17,96D	201	22716	6 <b>,</b> 5	-4	1,46	-0,57
23	человек Т45К	201	22741	7,2	-1	1,46	-0 <b>,</b> 59
24	человек А135Е	201	22772	6 <b>,</b> 7	-3	1,45	-0,60
25	человек V170S	201	22702	6,9	-2	1,46	-0,60
26	человек V148D	201	22730	6 <b>,</b> 7	-3	1,46	-0,61
27	человек G172Q	201	22785	6,9	-2	1,45	-0 <b>,</b> 59

Фаза І.

Варианты экспрессировали в параллельных встряхиваемых колбах. Имела место вариация уровней экспрессии, и для нескольких вариантов A1M экспрессию повторяли несколько раз, чтобы получить приемлемые количества белка. Хорошая экспрессия и относительно большие количества после очистки (>10 мг/л культуры) были получены для белков мыши, беличьей обезьяны, моржа, орангутанга, М41K, R66H, T75Y, M99K, N17,96D, T45K и V148D. Экспрессия и количество очищенного белка были сходны с ранее полученными выходами для человеческого wt A1M (12 мг/л), экспрессированного и выделенного в аналогичных условиях. Варианты с более низкими уровнями экспрессии, что приводило к более низким выходам (1-10 мг/л), представляли белки от голого землекопа, лягушки, кролика, ламантина, P35K, T75K, S101Y, L89T, V170S и G172Q. А1M от цыпленка, камбалы и латимерии имели субоптимальные уровни экспрессии, в результате чего достигался выход выделения <1 мг/л культуры. Человеческий му-

тант с четырьмя мутациями K69,92,118,130R хорошо экспрессировался, но невозможно было успешно провести рефолдинг. Также T75K-A1M показывал повышенную тенденцию к преципитации при очистке.

Все варианты очищали до чистоты >99% согласно данным SDS-PAGE, за исключением A1M цыпленка и камбалы, очистка которых обеспечивала чистоту на уровне 95%. По результатам SDS-PAGE все варианты содержали максимум 0,5% ковалентных димеров без существенных различий между вариантами. Результаты кругового дихроизма показали примерно структуры 2% альфа-спирали и 40% структуры β-листа для всех вариантов без существенных различий между ними, ожидаемые значения для A1M (Kwasek et al., 2007). После очистки все варианты анализировали, как обобщенно в табл. 4. Сначала анализировали стабильность и растворимость. Тенденцию к агрегации и термостабильность сразу же после оттаивания, без приложения напряжения 0,1 мМ растворов белка анализировали с использованием динамического рассеяния света (DLS), PAGE (агрегация) и дифференциальной сканирующей флуориметрии (DSF) (термостабильность). Кроме того, была исследована тенденция к агрегации в ответ на сдвигающие силы или концентрирование до 1 мМ. Человеческий wt A1M относительно хорошо проявлял себя в этих анализах (табл. 4), но некоторые варианты были даже еще лучше в отношение свойств стабильности/растворимости: A1M цыпленка, A1M ламантина и N17,96D-A1M, A1M цыпленка и ламантина отличались от человеческого wt A1M по многим положениям, чтобы допустить предположение об отдельных аминокислотах, пригодных для человеческого А1М, и не использовались в дальнейших исследованиях. Когда исследовали функциональные свойства, то было обнаружено, что М41К и R66H имеют одинаковые (R66H) или улучшенные (M41K) функции. Поскольку данные варианты также имели более высокую термостабильность и лишь незначительно более высокую тенденцию к агрегации, чем большинство других вариантов, то они были отобраны для дальнейшего исследования. Следовательно, исследование N17,96D-A1M, M41K-A1M и R66H-A1M было продолжено в фазе II настоящего проекта.

Таблица 4. Растворимость, стабильность и функциональные свойства вариантов в фазе I

				Cma		раствори	MOCTE	17	Функциональные свойства				
-				CTa	I I IIIIIIII	Стабиль				+упкцио	HIGHDING CHONCTB	<u>.</u>	
		•	егаци 0,1 м		Термостаби льность	к сдв: при 0,	игу	Агрегация при 1 мМ	Свободные тиолы	Связывание гема	Восстановление гема	Восстановление ABTS	
		PAG E	E	LS	DSF	DLS	3	PAGE					
		Агр ега ты (%)	Сред ний ради ус (нм)	Испол ьзова нные измер ения (# из 6)	$T_{m}$	Средний радиус (нм)	Испол ьзова нные измер ения (# из 6)	Агрегаты (%)	нмоль L- цистеин/ нмоль AlM	мкМ связанного /мкМ добавленно го	Пик λ (380-420 нм)	Средняя максимальная общая AUC	
No	Название												
60	человечес кий wt	4,8	3,2	6	46,6	3,8	4	22,3	0,6	0,81	405	-1,84 to -2,04	
1	мышь	45 <b>,</b> 8	20	6	43	32,8	6	93,7	0,3	0,71	393	-1,43	
2	голый землекоп	54 <b>,</b> 8	2,7	6	51,6	3	6	80,1	0,1	0,69	397	-1,42	
3	лягушка	9,9	2,8	5	NM	3	1	24,1	0,1	0,81	410	-1,33	
4	цыпленок	22, 42. 4	3,3	5	67,6767775 67. 67,5 5	3,4	6	3,5	0,1	0,66	391	-1,98	
5	кролик	50, 2	33	6	4848,7 48.77	43,4	6	28,2	0,1	0,65	395	-1,50	
6	беличья обезьяна	20, 2	3,2	6	<b>49</b> 49,9 <b>9</b>	3	6	38,3	0,3	0,72	407	-1,98	
7	морж	4,0	3,8	3	NM	3,9	1	52,3	0,3	0,81	398	-1,33	
8	ламантин	1,7	3,5	6	535453,23. 2	3,6	. 5	2,0	0,1	0,80	391	-1,81	
9	камбала	6,6	3,1	6	NM	3,1	6	30,0	0,0	0,73	388	-1,25	
10	орангутан г	18 <b>,</b> 3	3,1	6	45,9	3	4	29,7	0,6	0,77	401	-2,06	
11	человек Р35К	94 <b>,</b> 5	29,2	6	44,6	40,9	6	86,7	0,1	0,81	396	-1,29	

12	человек M41K	20, 5	3,2	3	44947,87.9	3,2	5	27,5	0,4	0,92	414	-1,87
13	человек R66H	13, 6	3,1	4	44949,97.8	19	6	37,0	0,7	0,79	405	-2,19
14	человек Т75К	60, 0	42,3	6	43,3	82	6	96,3	0,3	0,76	393	-1,28
15	человек Т75Ү	36, 1	35,7	6	49,8	32,4	6	45,7	0,4	0,87	392	-2,08
16	человек М99К	37 <b>,</b> 7	65,8	6	45,9	56,4	6	44,8	0,4	0,69	397	-1,71
17	человек S101Y	36 <b>,</b> 8	2,7	6	46,1	3	3	70,7	0,4	0,79	403	-1,63
	•			Ста	бильность и	раствори	мость			Функцио	нальные свойств	a
			егаци 0,1 м		Термостабил ьность	Стабиль к сдв при 0,	игу	Агрегация при 1 мМ ь	Свободные тиолы	Связывание гема	Восстановление гема	Восстановление ABTS
		PAG E	D	LS	DSF	DLS	3	PAGE				
		Агр ега ты (%)	Сред ний ради ус (нм)	Испол ьзова нные измер ения (# из 6)	$\mathbf{T}_{m}$	Средний радиус (нм)	Испол ьзова нные измер ения (# из 6)	Агрегаты (%)	нмоль L- цистеин/ нмоль AlM	мкМ связанного /мкМ добавленно го	Пик λ (380-420 нм)	Средняя максимальная общая AUC
No	Название											
60	человечес кий, wt	4,8	3,2	6	46,6	3,8	4	22,3	0,6	0,81	405	от -1,84 до - 2,04
19	латимерия	4,1	3,7	6	NM	3,8	6	38,2	0,2	0,68	396	-2,00
21	человек L89T	42, 1	2,9	1	46,1	25,7	6	51,6	0,5	0,96	403	-1,69
22	человек N17,96D	2,9	3,1	6	49,6	3,7	4	9,9	0,6	0,80	409	-2,48
23	человек Т45К	91 <b>,</b> 2	48,5	6	42,8	86,9	6	89,9	0,3	0,94	394	-1,29
24	человек А135Е	54 <b>,</b>	23,9	6	46,1	17,5	6	90,7	0,3	0,70	400	-1,47
25	человек V170S	40, 1	3	6	46	23,7	6	58,8	0,4	0 0,90,90	399	-2,04
26	человек V148D	35 <b>,</b> 8	3	6	46	3	2	44,9	0,6	0 0,86,86	402	-2,16
27	человек G172Q	93 <b>,</b> 4	36,1	6	44,1	34,2	6	89,5	0,2	0,81	396	-1,95

Свойства варианта, которые оцениваются как превосходящие человеческий wt A1M, отмечены синим цветом с белым жирным шрифтом. Свойства, которые рассматриваются как уступающие человеческому wt A1M, отмечены красным цветом. Все остальные свойства рассматриваются как аналогичные с человеческим wt A1M.

В PAGE варианты с достоверно более высоким процентом крупных агрегатов оцениваются как уступающие человеческому wt A1M.

В DLS средний радиус >>3 нм рассматривается как указывающий на наличие агрегатов, а также трудности с регистрацией измерений (это видно по меньшему количеству измерений, используемых для расчетов).

B DSF Tm >3 S.D человеческого wt A1M рассматривается как более высокая или более низкая.

Свободные тиолы человеческого wt A1M обычно находятся в диапазоне 0,6-0,8, все, что достоверно ниже этого показателя, рассматривается как уступающие.

В анализе связывания тема человеческий wt A1M связывается на ≈80% в данном анализе. Связывание других вариантов ниже 75% и выше 85% рассматривается как отличающееся.

В анализе восстановления тема максимум пика полосы Сорета <400 нм считается более низким по сравнению с человеческим wt A1M, и сдвиг >409 нм считается лучше, чем у человеческого wt A1M.

В анализе ABTS считается, что P-значение в t-тесте <0,2 является показателем уступающей активности восстановления ABTS.

Фаза II.

Цель фазы II проекта заключалась в том, чтобы объединить полезные мутации (M41K, R66H и N17,96D), для исследования того, можно ли сконструировать еще более стабильные варианты с аналогичной или улучшенной функцией. Кроме того, вводили аналогичную N-концевую метку (М8Н4DK), которую использовали для человеческого wt A1M (табл. 5). Таким образом, новые комбинированные варианты M8H4DK сравнивали с M8H4DK-человеческим wt.

Таблица 5. Варианты, экспрессированные в фазе II, с прогнозируемыми данными

#	Вариант	# амино кисло т	Молек улярн ая масса (Да)	pI	Суммарны й заряд (D+E)- (R+K)	Коэффиц иент экстинк ции 280 нм (см <sup>-1</sup> )	Индекс гидрофо бности
12	M8H5GIEGR- M41K	201	22711	7,2	-1	1,46	-0,60
13	M8H5GIEGR- R66H	201	22695	6 <b>,</b> 7	-3	1,46	-0 <b>,</b> 57
22	M8H5GIEGR- N17,96D	201	22716	6,5	-4	1,46	-0,57
60	M8H4DK-wt	197	22561	6,4	-5	1,47	-0,64
33	M8H4DK-M41K+R66H	197	22539	6,4	-5	1,47	-0 <b>,</b> 67
34	M8H4DK-M41K+N17,96D	197	22560	6,2	-6	1,47	-0 <b>,</b> 67
35	M8H4DK-R66H+N17,96D	197	22544	6,1	-8	1,47	-0,64
36	M8H4DK-M41K- R66H+N1796D	197	22541	6,2	-7	1,47	-0,67

Все четыре новых варианта (М8Н4DK-M41K+R66H, М8Н4DK-M41K+N17,96D, М8Н4DK-R66H+N17,96D и М8Н4DK-M41K+R66H+N17,96D) очень хорошо экспрессировались и давали 29, 13, 37 и 15 мг чистого белка/л. Четыре новых варианта очищали до чистоты >99% согласно данным SDS-PAGE, и показали такой же или более низкий процент ковалентных димеров, за исключением М8Н4DK-M41K+R66H, который показал наличие примерно 2% ковалентных димеров.

Анализировали показатели солюбилизации/стабильности (табл. 6а). Полученные данные показали, что комбинация М41К и R66H была субоптимальной в отношение термостабильности. С другой стороны, мутация N17,96D была в целом полезной для обеспечения солюбилизации и стабильности, и комбинация с R66H (т.е. М8H4DK-R66H+N17,96D-A1M) обеспечивала еще более высокую солюбилизацию и стабильность.

Анализировали функциональные свойства (табл. 6b). Данные показали, что мутация M41K повышала способность к восстановлению гема, но снижала связывание гема. Однако когда мутацию M41K объединяли с N17,96D, то она показывала более низкий потенциал для спасения клеток от гибели, индуцированной гемом. Комбинация R66H+N17,96D давала аналогичные результаты по сравнению с wt-A1M во всех исследованных функциональных аспектах. Таким образом, M6H4DK-меченный R66H+N17,96D А1M является перспективным кандидатом после проведения фазы II, тогда как мутация M41K в данном случае менее пригодна.

Таблица ба. Растворимость, стабильность и функциональные свойства вариантов в фазе II

	<u> </u>	1.	Стабильность и растворимость								
		7	Агрегация при 0,1 мМ				мостабиль Стабильность к сдвигу при 0,1 мМ		Агрегация при 1 мМ		
		PAGE	PAGE DLS SEC-FPL				I	LS	PAGE	SEC-FPLC	
		Arperaты (%)					Средний радиус (нм)	Использова нные измерения (# из б)	Arperaт ы (%)	Мономер (%)	
No	Название										
60	M8H4DK-wt	1-2	3,0	6	87-94	46,6	3,0	2	8	80-87	
12	M8H5GIEGR-M41K	34	6,0	3	ND	51,8	4,1	2	33	ND	
13	M8H5GIEGR-R66H	25	3,2	6	ND	47,3	10,3	1	51	ND	
22	M8H5GIEGR-N1796D	1	3,0	4	94	49,9	6,5	2	4,2	82	
33	M8H4DK-M41K+R66H	19	3,4	1	ND	34,3	13,7	5	42,9	ND	
34	M8H4DK-M41K+N1796D	1	3,4	6	96	52,7	3,2	5	1,0	77	
35	M8H4DK-R66H+N1796D	0,4	3,3	6	93	51,6	3,1	66	0,4	89	
36	M8H4DK- M41K+R66H+N1796D	0,8	3,3	5	82	37,4	3,6	66	1,1	63	

Свойства варианта, которые оцениваются как превосходящие человеческий wt A1M, отмечены синим цветом с белым жирным шрифтом. Свойства, которые рассматриваются как уступающие человеческому wt A1M, отмечены красным цветом. Все остальные свойства рассматриваются как аналогичные с человеческим wt A1M.

В РАGE варианты с достоверно более высоким процентом крупных агрегатов оцениваются как уступающие человеческому wt A1M.

В DLS средний радиус >> 3 нм рассматривается как указывающий на наличие агрегатов, а также трудности с регистрацией измерений (это видно по меньшему количеству измерений, используемых для расчетов).

B DSF Tm >3 S.D человеческого wt A1M рассматривается как более высокая или более низкая.

Таблица 6b. Функциональные свойства вариантов в фазе II

	Таолица	. оо. Функционал	ьные своиства вариан					
	Функциональные свойства							
		Связывание с гем-агарозой	Красное смещение пика связывания гема	Восстановление ABTS	Спасение от гибели клеток, индуцирова нной гемом			
		мкМ связанного /мкМ добавленного	Пик λ (нм)	Средняя максимальная общая AUC	Визуальное наблюдение в двух отдельных эксперимен тах			
No	Название							
60	M8H4DK-wt	0,85	415	-2,1				
12	M8H5GIEGR-M41K	0,81	408	-1,2	Аналогично дикому типу			
13	M8H5GIEGR-R66H	0,84	ND	-1,5	Аналогично дикому типу			
22	M8H5GIEGR-N1796D	0,82	415	-2,2	Аналогично дикому типу			
33	M8H4DK-M41K+R66H	0,68	417	-1,8	Аналогично дикому типу			
34	M8H4DK- M41K+N1796D	0,74	419	-2,2	Слабее чем дикого типа			
35	M8H4DK- R66H+N1796D	1,07	413	-2,1	Аналогично дикому типу			
36	M8H4DK- M41K+R66H+N1796D	1,13	412	-2,0	Аналогично дикому типу			

В анализе связывания с гем-агарозой человеческий wt A1M связывается на 80%. Связывание других вариантов ниже 75% и выше 85% рассматривается как отличающееся.

В анализе связывания гема красное смещение к <400 нм считается более низким по сравнению с человеческим wt A1M, и смещение ≥409 нм считается лучше, чем у человеческого wt A1M.

В анализе ABTS считается, что P-значение в t-тесте <0,2 является показателем уступающей активности восстановления ABTS.

Фаза III.

Первой целью фазы III было сравнение M8H4DK-меченых R66H+N17,96D-A1M с wt-A1M и перспективных одиночных мутаций с M8H4DK-меткой в фазе I и II при параллельной экспрессии в идентичных условиях. Вторая цель заключалась в исследовании влияния метки на стабильность, растворимость и функциональные свойства. N-концевая метка человеческого wt-A1M (M8H4DK) состоит из 8 гистидиновых меток, за которыми следует сайт расщепления энтерокиназой. Сайт расщепления позволяет отщеплять гистидиновую метку после экспрессии и очистки. Следовательно, wt-A1M и R66H+N17,96D-A1M были экспрессированы с N-концевыми метками M8H4DK- и M8H и без метки. Третья цель состояла в том, чтобы более детально сравнить свойства М8H4DK-wt A1M (Wt-A1M) и M8H4DK-R66H+N17,96D-A1M (35-A1M). Все экспрессированные варианты фазы III с прогнозируемыми данными приведены в табл. 7.

Таблица 7. Варианты, экспрессированные в фазе III с прогнозируемыми данными

#	Вариант	# аминок ислот	Молек улярн ая масса (Да)	pΙ	Суммарны й заряд (D+E)- (R+K)	Коэффиц иент экстинк ции 280 нм (см <sup>-1</sup> )	Индекс гидрофо бности
60	M8H4DK-wt	197	22561	6,4	-5	1,47	-0,64
35	M8H4DK-R66H+N1796D	197	22544	6,1	-8	1,47	-0,64
37	M8H4DK-M41K	197	22558	6 <b>,</b> 5	-4	1,47	-0,67
38	M8H4DK-R66H	197	22542	6,3	-8	1,47	-0,64
39	M8H4DK-N17.96D	197	22563	6,1	-7	1,47	-0,64
40	M8H-wt	192	21973	6,9	-2	1,51	-0,57
41	M8H-R66H+N1796D	192	21956	6,4	-5	1,51	-0 <b>,</b> 56
42	M-R66H+N1796D	184	20859	5,6	-5	1 <b>,</b> 59	-0,45
61	M-wt	184	20876	6,3	-2	1 <b>,</b> 59	-0.45

Параллельные экспрессия и очистка позволили более точно сравнить уровни экспрессии и выходы при выделении. Было обнаружено, что бактерии, экспрессирующие все варианты A1M, растут с одинаковой скоростью (не показано) и с одинаковым относительно хорошим выходом (фиг. 2). Единственное отличие заключалось в более медленной экспрессии немеченных вариантов (# 60 и # 42) по сравнению с остальными. Из экспрессии 2×750 мл можно было выделить 20-60 мг каждого варианта (фиг. 3а). Все варианты с гистидиновой меткой очищали до чистоты >99%, в то время как немеченные варианты (# 61 и # 42) демонстрировали несколько более низкую чистоту (примерно 90%) (фиг. 3b). Все имели небольшое количество ковалентных димеров. Анализ РАGE показал наличие менее 1-2% крупных агрегатов во всех вариантах, за исключением М8H-wt (40) и немеченного wt-A1M (# 61) (фиг. 3c). Таким образом, можно получить все варианты A1M с одиночными и многочисленными М8H4DK-метками, М8H-метками и без метки.

Агрегацию и термостабильность 100 мкМ растворов анализировали обращеннофазовой ВЭЖХ, динамическим рассеянием света и дифференциальной сканирующей флуориметрией (табл. 8). М8Н4DК-меченные варианты элюировались в ОФ-ВЭЖХ примерно через 12 мин с 87-90% белка в основном пике. Единственным исключением был М8Н4DК-М41К, который появлялся со временем удерживания 9,8 мин и только 80% белка было в основном пике. Данные еще раз указывают на то, что мутация М41К придает белку А1М неожиданные свойства и является субоптимальной. Изменение метки на М8Н или полное удаление метки приводило к увеличению времени удерживания до 12,2 и 12,9 мин соответственно, указывая на большее количество гидрофобных молекул, как и ожидалось. Меньше белка проявлялось в основном пике М8Н-wt и обоих немеченных вариантах, что, возможно, отражает несколько более низкую чистоту, наблюдаемую в SDS-PAGE для этих вариантов. Данные DLS указывают средний радиус, равный примерно 3 у всех вариантов, и возможность собрать данные из всех 6 измерений. Все варианты имели одинаковую или более высокую термостабильность по сравнению с М8Н4DK-wt A1М. Более высокая стабильность наблюдалась для всех вариантов, несущих мутацию N17,96D.

Таблица 8. Агрегация и термостабильность не подвергшихся напряжению вариантов в фазе III

1 405	лица от тирегация и термостаонявления не подверганием напряжению вариантов в ф						
		ОФ-1	39XX	DLS	DSF		
			Основной	Средний	Использованны		
#	Вариант	RT [мин]	пик (%	радиус	е измерения	Tm	
			общего)	( HM)	(# из 6)		
60	M8H4DK-wt	12,1	87	2,9	6	46,6	
35	M8H4DK-	12,1	89	3,2	6	49,8	
	R66H+N1796D						
37	M8H4DK-M41K	9,8	80	3,3	6	46,8	
38	M8H4DK-R66H	12,1	89	2,9	6	46,4	
39	M8H4DK- N1796D	12,1	90	3,0	6	49,7	
40	M8H-wt	12,2	78	3,2	6	47,1	
41	M8H-R66H+N1796D	12,2	88	3,2	6	50,2	
61	M-wt	12,9	81	3,8	6	46,3	
42	M-R66H+N1796D	12,9	82	3,4	6	50,2	

Варианты фазы III были подвергнуты воздействию сдвигающих сил пипетированием 80 раз в узком наконечнике пипетки. Агрегацию, вызванную напряжением сдвига, анализировали с помощью DLS. В общем, все варианты с мутацией N17,96D показали высокую устойчивость к напряжению сдвига (табл. 9), за исключением М8Н-меченного варианта R66H+N1796D (# 41). Кроме того, исследовали устойчивость к напряжению, вызванному концентрированием до 1 мМ в различных буферах. Все варианты концентри-

ровали до 1 мМ в 20 мМ Трис-HCl+0,125 M NaCl, pH 8,0 или 7,4, и сразу же анализировали с помощью PAGE (фиг. 4а, табл. 10). 0,1 мМ и 1 мМ образцы также анализировали с помощью PAGE после одного цикла замораживания-оттаивания в Трис-буферах или PBS (фиг. 4b, табл. 10). Среди М8Н4DК-меченых вариантов все несущие N17,96D-мутации, демонстрировали повышенную устойчивость к концентрированию, замораживанию-оттаиванию, снижению рН и изменению буфера (на PBS) по сравнению с wt A1M. Добавление мутации R66H еще больше повышало стабильность и растворимость. Только одна мутация R66H обеспечивала примерно такую же устойчивость, как и у w1 A1M, тогда как мутация М41К давала достоверно более низкую устойчивость. Укорочение или удаление N-концевой метки оказывало отрицательное влияние на устойчивость, что было более выражено для wt A1M по сравнению с соответствующими вариантами R66H+N17,96D.

Таблица 9. Устойчивость к сдвигу вариантов в фазе III

#	Вариант	Средний радиус (нм)	Использованные измерения (#из 6)
60	M8H4DK-wt	2,9	3
35	M8H4DK-R66H+N1796D	3,0	6
37	M8H4DK-M41K		0
38	M8H4DK-R66H		0
39	M8H4DK-N1796D	3,1	6
40	M8H-wt	3,1	1
41	M8H-R66H+N1796D		0
61	M-wt	3,9	5
42	M-R66H+N1796D	3,4	6

Таблица 10. Стабильность при концентрировании и замораживании-оттаивании вариантов в фазе III в различных буферах

		P	T	p		- P		
			Large	e aggregates (	8)			
#	Вариант	0,1 мМ рН	1 мМ рН 8,0	1 мМ рН	0,1 мМ рН	1 мМ рН	1 мМ рН	1 mM PBS pH
		8,0		8,0, 1×	7,4	7,4	7,4, 1x	7,4, 1x
				замораживан			замораживан	замораживан
				ие-			ие-	ие-
			İ	оттаивание	İ		оттаивание	оттаивание
60	M8H4DK-wt	0,3	1,1	2,0	0,4	1,2	3,1	13,2
35	M8H4DK-R66H+N1796D	0,2	0,3	0,1	0,4	0,2	0,3	1,3
37	M8H4DK-M41K	1,3	4,1	4,8	0,8	7,9	11,9	15,6
38	M8H4DK-R66H	0,6	0,5	1,0	0,2	0,7	2,4	16,0
39	M8H4DK-N1796D	0,7	1,1	0,1	0,2	0,1	0,7	2,5
40	M8H-wt	0,8	7,2	3,6	8,4	10,2	11,4	14,0
41	M8H-R66H+N1796D	0,3	0,4	0,4	0,3	0,4	1,2	7,6
61	M-wt	0,4	2,0	2,3	9,1	1,6	3,9	17,9
42	M-R66H+N1796D	0,4	0,3	0,5	0,4	0,5	0,5	1,6

Функциональную активность всех вариантов в фазе III исследовали по расширенной программе для охвата всех возможных аспектов известных функций А1М. Восстановительную способность, не связанную с гемом, исследовали на синтетическом радикале АВТЅ и в коммерчески доступном анализе объема поглощения кислородных радикалов (ORAC) (фиг. 5). М8Н4DK-меченный N17,96D-A1M и R66H+N17,96D-A1M показали одинаковую восстановительную способность с wt A1M, в то время как М8Н4DK-меченный М41K-A1M и R6 6H-A1M демонстрировали несколько более низкую восстановительную способность для АВТЅ (фиг. 5А). Укорочение или удаление метки оказывало незначительное влияние, но варианты R66H-N17,96D демонстрировали тенденцию к более высокой способности к восстановлению, чем wt A1M с М8H-меткой и в отсутствии метки. Функциональную активность М8H4DKмеченного wt A1M в анализе ORAC устанавливали на 100%, и другие варианты сравнивали по отношению к нему. Все варианты M8H4DK показали аналогичные результаты в ORAC, что и M8H4DK-wt, за исключением M8H4DK-R66H+N17,96D, который имел достоверно более высокую активность (фиг. 5b). Также М8Н-меченный и немеченный R66H+N17,96D-A1M показали несколько более высокую восстановительную активность в ORAC, чем wt-A1M. Также исследовали восстановительную активность в анализе восстановления цитохрома С (фиг. 6). Большинство вариантов показало несколько более низкую восстановительную активность в более низких концентрациях по сравнению с wt-A1M, и для N17,96D и R66H+N17,96D эта тенденция была достоверной (при 0,3-0,6 мкМ) (фиг. 6A). Значение этого не понятно. Укорочение и удаление метки не повлияло на данное свойство.

Связывание гема исследовали в анализе включения свободного гема и в анализе связывания с гемагарозой (фиг. 6). Включение и координация свободного гема проявляется в виде появления пика поглощения примерно при 410-415 нм, так называемой полосы Сорета (Karnaukhova et al., 2014; Rutardottir et al., 2016). Гем обычно имеет пик поглощения при 380-390 нм, и это можно увидеть, когда его растворяют один или смешивают и инкубируют с несвязывающим контрольным белком, таким как овальбумин. Однако когда гем смешивают с wt A1M, то пик поглощения появляется между 410-415 нм, давая так называемое красное смещение (т.е. смещение пика в сторону более высоких длин волн) и повышенное соотношение поглощения (413/386). Было показано, что степень красного смещения и отношение поглощений (413/386) связаны с функцией связывания тема A1M (Rutardottir et al., 2016). Следовательно, эти

свойства сравнивали для всех вариантов в фазе III (фиг. 6b). Среди М8Н4DK-меченных вариантов все показали примерно одинаковое красное смещение, что и wt A1M, за исключением вариантов М41K, которые имели более сильное смещение. Интересно, что укорочение метки до М8Н увеличило красное смещение, в то время как удаление метки уменьшало красное смещение. Очевидно, что метка оказывала сильное влияние на это свойство. Связывание гема с A1M исследовали как связывание серийных разведений A1M с гем-агарозой по сравнению со связыванием с контрольной агарозой. Как правило, контрольный белок, такой как овальбумин, не демонстрирует связывания с гем-агарозой выше фонового связывания с контрольной агарозой (фиг. 6C). Как правило, 70-80% добавленного М8Н4DK-wt A1M (35-A1M) связывалось с гем-агарозой, тогда как отсутствие связывания наблюдали для контрольной агарозы. Связывание сравнивали для всех вариантов в фазе III. Все показали сходную степень связывания с гемагарозой (66-72%), тогда как овальбумин не проявлял связывания.

Затем анализировали связывание гема M8H4DK-wt A1M (wt-A1M) и M8H4DK-35-A1M (35-A1M) (фиг. 11) с использованием комбинации изменения миграции и анализа флуоресценции (Karnaukhova et al., 2014). В результате включения гема миграция wt-A1M и 35-A1M в анализе нативным PAGE замедлялась при соотношении гем:белок <1 и ускорялась при соотношении гем:белок >1, проявляя аналогичную зависимость от концентрации гема (фиг. 11A и В). В высоких концентрациях гема оба варианта проявляли тенденцию к олигомеризации, что подтверждает предыдущие результаты для wt-A1M (Karanaukhova et al., 2014). Аналогично включение гема индуцировало гашение флуоресценции триптофана как в wt-A1M, так и в 35-A1M с аналогичной кинетикой (фиг. 11B). Ранее было показано, что координация гема в A1M индуцировала формирование пика поглощения в УФ-свете при 415 нм (Ruttarsdottir et al., 2016; Karnaukhova et al., 2014). Наблюдали аналогичные УФ-спектры поглощения комплексов wt-A1M/- и 35-A1M/гем (фиг. 11C) с небольшим красным смещением пика 35-A1M (415→417 нм).

Исследовали скорость восстановления радикалов ABTS под действием wt-A1M и 35-A1M [10], и она была аналогичной для wt-A1M и 35-A1M с использованием свежеприготовленных белков без приложения напряжения (фиг. 12A). После хранения в течение 7 суток wt-A1M проявлял более медленную скорость восстановления после концентрирования до 1 мМ и при 22°С (фиг. 12B), что указывало на потерю активности белка в дополнение к агрегации, отмеченной в этих условиях (табл. 11). Восстановление цитохрома С 35-A1M (фиг. 12C) (Allhorn et al., 2005) проходило несколько медленнее, в то время как антиоксидантная способность, измеренная анализом ORAC, была несколько выше для 35-A1M (фиг. 12D).

Таблица 11. Физико-химические свойства M8H4DK-wt A1M (wt-A1M) и M8H4DK-35-A1M (35-A1M)

W6114DK-33-ATW (33-ATW)					
Условия <sup>1</sup>	Концентра	Мето	Параметр	wt-	35-
	ция	Д		A1M	A1M
			Время		
Без напряжения <sup>2</sup>	0,1 мМ	вэжх	элюирования	12,1	12,1
			(MMH)		
			Мономер (%)	87	89
		DLS	Радиус (нМ)	2,9	3,2
		PAGE	Агрегаты (%)	1,5	0,4
		SEC	Мономер (%)	87	93
С напряжением					
Нагревание	0,1 мМ	DSF	T <sub>m</sub> (°C)	46,6	51,6
Высокая концентрация	1 мМ	PAGE	Агрегаты (%)	1,1	0,4
pH 7,43	1 mM	PAGE	Агрегаты (%)	1,2	0,4
Замораживание-			l :	•	
оттаивание <sup>3</sup>	1 MM	PAGE	Агрегаты (%)	2,0	0,4
Замораживание-	4				
оттаивание/ PBS	1 MM	PAGE	Агрегаты (%)	13,2	7,6
Длительное хранение <sup>4</sup>					
4°C - 1 сутки	1 мМ	SEC	Извлечение <sup>5</sup> (%)	100	100
			Агрегаты (%)	17,9	3,9
4°C − 7 суток	1 мМ	SEC	Извлечение (%)	100	100
l ro / cyron			Aгрегаты (%)	12,1	3,7
RT - 7 суток	1 MM	SEC	Извлечение (%)	44	100
IXI / CYTOR	1 1/11/1	550	Arperatu (%)	0,2	0,1
27°a 1 5	1 . M	SEC	· · ·	67	100
37°С - 1,5 ч	1 MM	SEC.	Извлечение (%)		
_			Агрегаты (%)	53	28
37°С – 4 <b>,</b> 5 ч	1 мМ	SEC	Извлечение (%)	0	44
			Агрегаты (%)	NDe	15

### Примечания:

- 1) комнатная температура, если не указано иное;
- 2) 20 мМ Трис-HCl, 0,125 M NaCl, pH 8,0;
- 3) 20 мМ Трис-HCl, 0,125 M NaCl, pH 7,4;
- 4) PBS
- 5) рассчитано после центрифугирования при 10000×g от общей площади пиков по сравнению с исходным материалом;
- 6) не определяли

Проводили биологический анализ, в котором была исследована способность вариантов A1M в отношение спасения клеток K562 от гибели, индуцированной гемом (фиг. 7). Степень гибели клеток, которую определяли по высвобождению лактатдегидрогеназы, устанавливали на 100% для клеток, инкубированных с гемом без A1M. Все М8Н4DК-меченные варианты, включая wt-A1M, показали почти 100% спасение при 10 мкМ (фиг. 7), без достоверных различий между вариантами. М8Х-меченные варианты демонстрировали почти одинаковую способность к спасению клеток, в то время как для немеченных вариантов наблюдали несколько более низкий потенциал.

Способность M8H4DK-wt A1M (35-A1M) и M8H4DK-35-A1M (wt-A1M) защищать клетки

Способность двух вариантов A1M защищать клетки тестировали на клетках K562 и линии эпителиальных клеток проксимальных канальцев почки человека (HK-2), подвергнутых воздействию свободного тема и свободного железа. На фиг. 12 показано, что оба варианта A1M полностью ингибировали гибель клеток, измеренную по внеклеточному высвобождению цитозольного маркера ЛДГ, на клетках K562, подвергнутых воздействию 0,1 мМ гема. Кривые доза-реакция wt-A1M и 35-A1M перекрываются почти полностью, что указывает на аналогичную способность защищать клетки.

Данные по защите клеток НК-2 приведены на фиг. 14. Сначала повреждение клеток индуцировали реакцией Фентона, смесью свободного железа, аскорбата и перекиси водорода, которая генерирует гидроксильные радикалы. Жизнеспособность клеток, измеренная с помощью анализа WST-1, восстановливалась под действием обоих вариантов А1М, о чем свидетельствует наложение кривых зависимости доза-ответ (фиг. 14A). Повышающая регуляция гемоксигеназы-1 (HO-1), хорошо известного биомаркера ответа на окислительный стресс (Alam et al., 1999), достоверно подавлялась под действием wt-A1M и 35-A1M в одинаковой степени (фиг. 14B). Повреждение клеток НК-2 также индуцировали инкубацией с гемом, и оно подавлялось вариантами А1М (фиг. 14C и 14D). Вновь, жизнеспособность клеток, измеренная методом WST-1, восстанавливалась под действием обоих белков с аналогичной степенью, при использовании двух концентраций гема, 10 и 30 мкМ (фиг. 14C). Повышающая регуляция гена НО-1 и другого гена ответа на клеточный стресс, Нsp70, ингибировалась в одинаковой степени обоими вариантами А1М (фиг. 14D).

Распределение in vivo M8H4DK-wt A1M (wt-A1M) и M8H4DK-35-1M (35-A1M) у мышей

Ранее было показано, что после внутривенного введения A1M быстро подвергался клиренсу из крови и преимущественно локализовался в почках и печени у крыс и мышей (Larsson et al., 2001; Ahlstedt et al., 2015). Сравнивали скорости клиренса в крови и распределение в органах wt-AlM и 35-A1M (фиг. 15). Аналогичные скорости обмена наблюдали в течение первых 60 мин, тогда как 35-A1M выделялся быстрее через 1 ч. Распределение A1M в анализированных органах через 10 и 30 мин не выявило достоверных различий между двумя белками. Оба wt-A1M и 35-A1M были обнаружены преимущественно в почках, и меньшие количества отмечали в сердце, печени, легких, коже и селезенке, в то время как в головном мозгу были обнаружены незначительные количества.

Защита in vivo почек M8H4DK-wt A1M (wt-A1M) и M8H4DK-35-A1M (35-A1M)

Ранее было показано, что A1M проявляет терапевтические эффекты in vivo на животных моделях, на которых индуцировали связанные с гемом и окислительным стрессом повреждения почек (Wester-Rosenlöf et al., 2014; Nääv et al., 2015; Sverrison et al., 2014). Исследовали защитные эффекты in vivo двух вариантов A1M на мышиной модели рабдомиолиза, индуцированного инъекцией глицерина, где острые повреждения почек (AKI) развиваются в результате повреждения мышечной ткани с высвобождением миоглобина, свободного тема, радикалов и других компонентов ткани. Инъекция глицерина приводила к массивной повышающей регуляции генов HO-1 и Hsp70, двух биомаркеров клеточного стресса (фиг. 16A и B), и большая часть повышающей регуляции ингибировалась одновременной инъекцией wt-A1M или 35-A1M. Достоверного различия между двумя вариантами A1M не наблюдали в использованных дозах (7 мг/кг массы тела животных).

Таким образом, исследования в фазе III показали, что мутации A1M, включающие N17,96D, достоверно повышали стабильность молекулы A1M, которая дополнительно увеличивалась при добавлении мутации R66H. Кроме того, М8Н4DK-меченные варианты A1M были более стабильными, чем варианты с более короткой меткой или без метки. Следовательно, метка служит не только средством очистки, но также обеспечивает A1M повышенной стабильностью, и стабильность не мешает проявлению функций. Молекула М8Н4DK-R66H+N1796D (35-A1M) обладает аналогичными или лучшими функциональными свойствами, возможно, за исключением восстановления цитохрома С. В заключение следует отметить, что исследования стабильности/растворимости и функциональных свойств показывают, что M8H4DK-R66H+N17,96D (35-A1M) обладает улучшенными молекулярными свойствами по сравнению с М8H4DK-wt A1M (wt-A1M), и оба wt-A1M, так и 35-A1M показывают в vivo защитные эффекты для почек с использованием модели рабдомиолиза, индуцированного инъекцией глицерина, острой почечной недостаточности.

Дополнительные исследования стабильности на M8H4DK-R66H+N1796D по сравнению с M8H4DK-wt

Для дополнительного сравнения M8H4DK-R66H+N17,96D-A1M и wt-A1M агрегацию и функциональные свойства тестировали с использованием SEC-FPLC и анализа восстановления ABTS после циклов

замораживания-оттаивания и хранения при +4°C и комнатной температуре (фиг. 8). Образцы (100 мкМ) wt-AlM и R66H+N17,96D-A1M очень хорошо выдерживали 5 циклов замораживания-оттаивания. Как было показано выше, wt-A1M демонстрировал более высокий уровень агрегации после концентрирования до 1 мМ, чем R66H+N17,96D-A1M, и аналогичные результаты наблюдали после хранения в течение 1 недели по сравнению с хранением в течение ночи. Повышенная агрегация wt-A1M не влияла на восстановительную активность для ABTS 2 мкМ образцов. Визуальные исследования показывают полностью прозрачные растворы обоих вариантов после замораживания-оттаивания, концентрирования и хранения в течение 1 недели при +4°C. Для того, чтобы подвергнуть растворы A1M дополнительному напряжению, 100 мМ и 1 мМ растворы хранили при комнатной температуре в течение 1 недели. Визуальное исследование 100 мкМ растворов свидетельстовало о наличии небольшого помутнения wt-A1M, но раствор R66H+N17,96D-A1M оставался прозрачным. Результаты SEC-FPLC показали уменьшенную площадь под кривой wt-A1M до 80% исходного вещества, что указывает на потерю wt-A1M, несмотря на то, что не наблюдали повышения образования крупных агрегатов. Потери, скорее всего, были вызваны выпалением в осалок белка и удалением фильтрацией перед анализом FPLC. Для R66H+N17.96D-A1M можно было наблюдать некоторую повышенную агрегацию, но без потери белка после хранения при комнатной температуре в течение одной недели при концентрации 100 мкМ. В анализе восстановления ABTS R66H+N17,96D-A1M все еще проявлял полную активность, в то время как небольшое снижение наблюдали для wt-AlM. Визуальное исследование 1 мМ растворов, хранящихся в течение 1 недели, выявило наличие помутнения обоих вариантов, но раствор wt-A1M оказался более мутным. Когда растворы разбавляли в 10 раз для загрузки на SEC, то осадок R66H+N17,96D-A1M, но не wt-A1M, растворялся. В SEC наблюдали очень небольшое количество аггрегатов, но оставалось только 44% исходного вещества wt-A1M. Напротив, оставалось 100% R66H+N17,96D-A1M. В анализе восстановления ABTS активность wt-A1M существенно снижалась, тогда как активность R66H+N17,96D-A1M оставалась без изменений. Результаты этого исследования показывают, что M8H4DK-R66H+N17,96D-A1M может выдерживать хранение при высоких концентрациях при комнатной температуре, тогда как wt-A1M не может.

Исследована стабильность 1 мМ растворов при 37°C. Образцы инкубировали в течение 1,5; 2,5 и 4,5 ч и затем осматривали визуально, анализировали SEC-FPLC и анализом восстановительной активности для АВТЅ (фиг. 9). После инкубации в течение 1,5 ч оба раствора все еще были прозрачными при осмотре, но анализ SEC-FPLC выявил большее количество агрегатов в растворе wt-A1M (53%) по сравнению с раствором R66H+N17.96D-A1M (28%). Только 67% исходного вещества элюировалось в SEC wt-A1M, и 100% элюировалось R66H+N17,96D-A1M, что определяли по площади под кривой. Оба варианта показали полную активность в анализе восстановления АВТЅ. Через 2,5 ч инкубации раствор wt-A1M становился мутным, в котором частички было невозможным растворить. 40% исходного вещества было обнаружено в SEC, и активность в восстановлении ABTS достоверно снижалась. Раствор R66H+N17,96D-А1М все еще был прозрачным и показал полную активность в анализе восстановления АВТЅ, но образование крупных агрегатов повышалось с 28 до 38% по данным SEC-FPLC. Через 4,5 ч wt-A1M превратился в мутное вещество, которое невозможно было пипетировать. Следовательно, далее его не анализировали. R66H+N17, 96D-A1M стал мутным, но все еще его можно было набирать пипеткой. Некоторое количество осадка оставалось после разбавления. Количество белка, элюированного в SEC, составляло 44% от исходного вещества, и наблюдали пониженную активность в анализе восстановления АВТЅ. На основании результатов исследования можно предположить, что после инкубации при +37°C A1M сначала образует растворяющиеся агрегаты, затем он образует необратимые агрегаты, и имеет место потеря активности в анализе восстановления АВТЅ. Через 2,5 ч инкубации наблюдали полное необратимое осаждение wt-A1M, частичное необратимое осаждение наблюдали только через 4,5 ч для М8H4DK-R66H+N17,96D-A1M. Следовательно, M8H4DK-R66H+N17,96D-A1M более устойчивы к хранению при +37°С, чем M8H4DK-wt-A1M.

Ссылки.

```
Ahlstedt J., Tran T.A., Strand F., Holmqvist B., Strand S.-
E., Gram M. and Åkerström B. Biodistribution and
```

#### 039776

pharmacokinetics of recombinant  $\alpha_1$ -microglobulin and its potential use in radioprotection of kidneys. Am. J. Nucl. Med. Mol. Imaging., 5(4): 333-347, 2015.

Alam J., Stewart D., Touchard C., Boinapally S., Choi A.M., and Cook J.L. Nrf2, a Cap'n'Collar transcription factor, regulates induction of the heme-oxygenase gene. J. Biol. Chem., 274: 26071-26078, 1999.

Allhorn M., Berggård T., Nordberg J., Olsson M.L., Åkerström B. Processing of the lipocalin  $\alpha_1$ -microglobulin by hemoglobin induces heme-binding and heme-degradation properties. Blood, 99; 2002: 1894-1901.

Allhorn M., Klapyta A., Åkerström B. Redox properties of the lipocalin  $\alpha_1$ -microglobulin: reduction of cytochrome c, hemoglobin, and free iron. Free Radic. Biol. Med., 38; 2005: 557-567.

Anderson U.D., Rutardottir S., Centlow M., Olsson M.G., Kristensen K., Isberg P.E., Thilaganatan B., Åkerström B., Hansson S.R. Fetal hemoglobin and  $\alpha_1$ -microglobulin as first and early second trimester predictive biomarkers of preeclampsia. Am. J. Obst. Gynecol., 204; 2011: 520.e1-520.e5

Berggård T., Cohen A., Persson P., Lindqvist A., Cedervall T., Silow M., Thøgersen I.B., Jönsson J.-Å., Enghild J.J., Åkerström B.  $\alpha_1$ -Microglobulin chromophores are located to three lysine residues semiburied in the lipocalin pocket and associated with a novel lipophilic compound. Protein Sci., 8; 1999: 2611-2620.

Berggård T., Thelin N., Falkenberg C., Enghild J.J., Åkerström B. Prothrombin, albumin and immunoglobulin A form covalent complexes with  $\alpha_1$ -microglobulin in human plasma. Eur. J. Biochem., 245; 1997: 676-683.

Bratt T., Olsson H., Sjöberg E.M., Jergil B., Åkerström B. Cleavage of the  $\alpha_1$ -microglobulin -bikunin precursor is localized to the Golgi apparatus of rat liver cells. Biochim. Biophys. Acta, 1157; 1993: 147-154.

Centlow M., Carninci P., Nemeth K., Mezey E., Brownstein

#### 039776

M., Hansson S.R. Placental expression profiling in preeclampsia: local overproduction of hemoglobin may drive pathological changes. Fertility and sterility, 90; 2008: 1834-1843.

Ekström B., Berggård I. Human  $\alpha_1$ -microglobulin: Purification procedure, chemical and physicochemical properties. J. Biol. Chem., 252(22); 1977: 8048-8057.

Escribano J., Lopez-Otin C., Hjerpe A., Grubb A., Mendez E. Location and characterization of the three carbohydrate prosthetic groups of human protein HC. FEBS Lett., 266(1-2); 1990: 167-170.

Flower D.R. The lipocalin family. Biochem. J., 318; 1996: 1-14.

Gram M., Anderson U.D., Johansson M.E., Edström-Hägerwall A., Larsson I., Jälmby M., Hansson S.R., and Åkerström B. The human endogenous protection system against cell-free hemoglobin and heme is overwhelmed in preeclampsia and provides potential biomarkers and clinical indicators. *PloS. One.*, 10(9): e0138111, 2015.

Hansson S.R., Gram M. and Åkerström B. Fetal hemoglobin in preeclampsia: a new etiological tool for prediction/diagnosis and a potential target for therapy. Curr. Opin. Obstet. Gynecol., 25(6); 2013: 448-455.

Karnaukhova E., Rutardottir S., Majabi M., Wester Rosenlöf L., Alayash A.I., Åkerström B. Characterization of heme binding to recombinant  $\alpha_1$ -microglobulin. Front. Physiol., 5; 2014: 465. doi: 10.3389/fphys.2014.00465.

Kaumeyer J.F., Polazzi J.O., Kotick M.P. The mRNA for a proteinase inhibitor related to the HI-30 domain of inter-alphatrypsin inhibitor also encodes  $\alpha_1$ -microglobulin (protein HC). Nucleic Acids Res., 14(20); 1986: 7839-7850.

Kwasek A., Osmark P., Allhorn M., Lindqvist A., Åkerström B., Wasylewski Z. Production of recombinant human  $\alpha_1$ -microglobulin and mutated forms involved in chromophore formation. Prot. Expr. Purif., 53; 2007: 145-152.

Laemmli U.K. Cleavage of structural proteins during the

assembly of the head of bacteriophage T4. Nature, 227; 1970: 680-685.

Larsson J., Wingårdh K., Berggård T., Davies J.R., Lögdberg L., Strand S.-E., Åkerström B. Distribution of  $^{125}$ I-labelled  $\alpha_1$ -microglobulin in rats after intravenous injection. *J. Lab. Clin. Med.*, 137: 165-175, 2001

Lindqvist A., Bratt T., Altieri M., Kastern W., Åkerström B. Rat  $\alpha_1$ -microglobulin: co-expression in liver with the light chain of inter-alpha-trypsin inhibitor. Biochim. Biophys. Acta, 1130; 1992: 63-67.

May K., Rosenlöf L., Olsson M.G., Centlow M., Mörgelin M., Larsson I., Cederlund M., Rutardottir S., Schneider H., Siegmund W., Åkerström B., Hansson S.R. Perfusion of human placenta with haemoglobin introduces preeclampsia-like injuries that are prevented by  $\alpha_1$ -microglobulin. Placenta, 32(4); 2011: 323-332.

Meining W., Skerra A. The crystal structure of human  $\alpha_1$ -microglobulin reveals a potential haem-binding site. Biochem. J., 445(2); 2012: 175-82.

Nääv Å., Erlandsson L., Axelsson J., Larsson I., Johansson M., Wester Rosenlöf L., Mörgelin M., Casslén V., Gram M., Åkerström B., Hansson S.R. AlM ameliorates preeclampsia-like symptoms in placenta and kidney induced by cell-free fetal hemoglobin in rabbit. PloS One, 10(5); 2015: e0125499.

Olsson M.G., Allhorn M., Larsson J., Cederlund M., Lundqvist K., Schmidtchen A., Sørensen O.E., Mörgelin M., Åkerström B. Up-regulation of  $A1M/\alpha_1$ -microglobulin in skin by heme and reactive oxygen species gives protection from oxidative damage. PLoS One, 6(11); 2011: e27505.

Olsson M.G., Centlow M., Rutardottir S., Stenfors I., Larsson J., Hosseini-Maaf B., Olsson M.L., Hansson S.R., Åkerström B. Increased levels of free hemoglobin, oxidation markers, and the antioxidative heme scavenger  $\alpha_1$ -microglobulin in preeclampsia. Free Rad. Biol. Med., 48; 2010: 284-291.

Olsson M.G., Olofsson T., Tapper H., Åkerström B. The lipocalin  $\alpha_1$ -microglobulin protects erythroid K562 cells against

oxidative damage induced by heme and reactive oxygen species. Free Rad. Res., 42; 2008: 725-736.

Olsson M.G., Rosenlöf L.W., Kotarsky H., Olofsson T., Leanderson T., Mörgelin M., Fellman V., Åkerström B. The radical-binding lipocalin A1M binds to a Complex I subunit and protects mitochondrial structure and function. Antiox. Redox. Signal., 18(16); 2013: 2017-2028.

Rutardottir S., Karnaukhova E., Nantasenamat C., Songtawee N., Prachayasittikul V., Rajabi M., Wester Rosenlöf L., Alayash A.I., Åkerström B. Studies of two heme binding sites in  $A1M/\alpha_1$ -microglobulin using site-directed mutagenesis and molecular simulation. Biochim. Biophys. Acta, 1864(1); 2016: 29-41.

Sala A., Campagnoli M., Perani E., Romano A., Labó S., Monzani E., Minchiotti L., Galliano M. Human  $\alpha_1$ -microglobulin is covalently bound to kynurenine-derived chromophores. J. Biol. Chem., 279(49); 2004: 51033-51044.

Sverrisson K., Axelsson J., Rippe A., Gram M., Åkerström B., Hansson S.R., Rippe B. Extracellular fetal hemoglobin (HbF) induces increases in glomerular permeability. Inhibition with  $\alpha_1$ -microglobulin (A1M) and Tempol. Am. J. Physiol. Renal. Physiol., 306(4); 2014: F442-448.

Wester-Rosenlöf L., Casslén V., Axelsson J., Edström-Hägerwall A., Gram M., Holmquist M., Johansson M.E., Larsson I., Ley D., Marsal K., Mörgelin M., Rippe B., Rutardottir S., Shohani B., Åkerström B., Hansson S.R. AlM/ $\alpha_1$ -microglobulin protects from heme-induced placental and renal damage in a pregnant sheep model of preeclampsia. PLoS One, 9(1); 2014: e86353.

Åkerström B., Borregaard N., Flower D., Salier J.P. Lipocalins, an introduction. In Lipocalins. Eds. Åkerström B., Borregaard N., Flower D., Salier J.P., Landes Bioscience, Georgetown TX.

Åkerström B., Gram M. AlM, an extravascular tissue cleaning and house-keeping protein. Free Rad. Biol. Med., 74; 2014: 274-282.

Åkerström B., Maghzal G.J., Winterbourn C.C., Kettle A.J. The lipocalin  $\alpha_1$ -microglobulin has radical scavenging activity. J. Biol. Chem., 282; 2007: 31493-31503.

Åkerström B., Bratt T., Enghild J.J. Formation of the  $\alpha_1$ -microglobulin chromophore in mammalian and insect cells: a novel post-translational mechanism? FEBS Lett., 362, 50-54, 1995.

## ФОРМУЛА ИЗОБРЕТЕНИЯ

1. Белок, полученный из альфа-1-микроглобулина, выбранный из аминокислотной последовательности, состоящей из формулы I:

 $\dot{X}^1$ - $\dot{X}^2$ - $\dot{X}^3$ - $\dot{X}^4$ - $\dot{X}^5$ - $\dot{X}^6$ - $\dot{X}^7$ - $\dot{X}^8$ - $\dot{X}^9$ - $\dot{X}^{10}$ - $\dot{X}^{11}$ - $\dot{X}^{12}$ - $\dot{X}^{13}$ - $\dot{X}^{14}$ -GPVPTPPDN IQVQENF- $\dot{X}^{15}$ -IS RIYGKWYNLA IGSTCPWLKK I- $\dot{X}^{16}$ -DRMTVSTL VLGEGATEAE ISMTST- $\dot{X}^{17}$ -WRK GVCEETSGAY EKTDTDGKFL

YHKSKW-X<sup>18</sup>-ITM ESYVVHTNYD EYAIFLTKKF SRHHGPTITA KLYGRAPOLR ETLLODFRVV AOGVGIPEDS IFTMADRGEC VPGEOEPEPI LIPR (SEO ID NO: 10).

и аминокислотной последовательности, состоящей из формулы II:

X<sup>1</sup>-X<sup>2</sup>-X<sup>3</sup>-X<sup>4</sup>-X<sup>5</sup>-X<sup>6</sup>-X<sup>7</sup>-X<sup>8</sup>-X<sup>9</sup>-X<sup>10</sup>-X<sup>11</sup>-X<sup>12</sup>-X<sup>13</sup>-X<sup>14</sup>-GPVPTPPDN IQVQENF-X<sup>15</sup>-IS RIYGKWYNLA IGSTCPWLKK I-X<sup>16</sup>-DRMTVSTL VLGEGATEAE ISMTST-X<sup>17</sup>-WRK GVCEETSGAY EKTDTDGKFL YHKSKW-X<sup>18</sup>-ITM ESYVVHTNYD EYAIFLTKKF SRHHGPTITA KLYGRAPQLR ETLLQDFRVV AQGVGIPEDS IFTMADRGEC VPGEQEPEPI (SEQ ID NO: 17),

```
где присутствует по меньшей мере один из X^{1}-X^{14}, и
```

 $X^1$  отсутствует или представляет Met или N-формил-Met;

 $X^2$  отсутствует или представляет His;

X<sup>3</sup> отсутствует или представляет His;

X<sup>4</sup> отсутствует или представляет His;

X<sup>5</sup> отсутствует или представляет His;

 $X^6$  отсутствует или представляет His;

 $X^7$  отсутствует или представляет His;

 $X^8$  отсутствует или представляет His;

 $X^9$  отсутствует или представляет His;

X<sup>10</sup> отсутствует или выбран из Asp, Glu, Lys и Arg;

X<sup>11</sup> отсутствует или выбран из Asp, Glu, Lys и Arg;

X<sup>12</sup> отсутствует или выбран из Asp, Glu, Lys и Arg;

X<sup>13</sup> отсутствует или выбран из Asp, Glu, Lys и Arg;

X<sup>14</sup> отсутствует или выбран из Asp, Glu, Lys и Arg;

X<sup>15</sup> представляет Asp или Asn;

 $X^{16}$  представляет Met, или Lys, или Arg;

X<sup>17</sup> представляет Arg, или His, или Lys;

X<sup>18</sup> представляет Asp или Asn;

или его фармацевтически приемлемая соль,

при условии, что последовательность не представляет SEQ ID NO:1 или SEQ ID NO:2,

где указанный белок обладает улучшенными стабильностью и/или растворимостью при сохраненной или улучшенной функции по сравнению с альфа-1-микроглобулином человека дикого типа (SEO ID NO:1).

2. Белок по п.1, где

 $X^1$  представляет Met или N-формил-Met;

 $X^2, X^3, X^4, X^5, X^6, X^7$  представляют His;  $X^8$  и  $X^9$  отсутствуют;  $X^{10}, X^{11}, X^{12}$  и  $X^{13}$  представляют Asp;

X<sup>14</sup> представляет Lys;

и  $X^{15}$ - $X^{18}$  имеют значения, определенные выше.

3. Белок по п.1, где

X<sup>1</sup> представляет Met или N-формил-Met;

 $X^2, X^3, X^4, X^5, X^6, X^7, X^8$  и  $X^9$  представляют His;  $X^{10}, X^{11}, X^{12}$  и  $X^{13}$  представляют Asp;

X<sup>14</sup> представляет Lys;

и  $X^{15}$ - $X^{18}$  имеют значения, определенные выше.

4. Белок по п.1, где

 $X^1$  представляет Met;

 $X^2, X^3, X^4, X^5, X^6, X^7, X^8, X^{10}, X^{11}, X^{12}, X^{13}$  и  $X^{14}$  отсутствуют;  $X^{15}$  представляет Asp;

 $X^{16}$  представляет Met;

 $X^{17}$  представляет His;

X<sup>18</sup> представляет Asp.

5. Белок по п.4, имеющий аминокислотную последовательность, соответствующую SEQ ID NO: 3 или SEO ID NO: 18.

6. Белок по п.1. где

 $X^1$  представляет Met;

 $X^2, \overset{F}{X^3}, X^4, X^5, X^6, X^7, X^8, X^{10}, X^{11}, X^{12}, X^{13}$  и  $X^{14}$  отсутствуют;  $X^{15}$  представляет Asn;

X<sup>16</sup> представляет Lys;

X<sup>17</sup> представляет Arg;

X<sup>18</sup> представляет Asp.

7. Белок по п.6, имеющий аминокислотную последовательность, соответствующую SEO ID NO: 4 или SEO ID NO: 19.

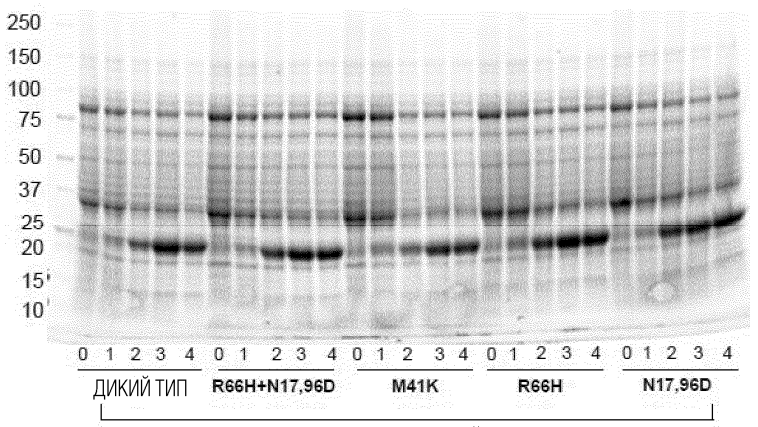
8. Белок по п.1. где

```
X^1 представляет Met или N-формил-Met;
       X^2, X^3, X^4, X^5, X^6, X^7 представляют His; X^8 и X^9 отсутствуют;
       X^{10} X^{11}, X^{12} и X^{13} представляют Аsp; X^{14} представляет Lys; X^{15} представляет Asp;
       X представляет Аsp; X^{16} представляет Met; X^{17} представляет His; X^{18} представляет Asp.
       9. Белок по п.8, имеющий аминокислотную последовательность, соответствующую SEQ ID NO: 5
или SEQ ID NO: 20.
       10. Белок по п.1, где
       X^1 представляет Met или N-формил-Met;
       X^2, X^3, X^4, X^5, X^6, X^7 представляют His; X^8 и X^9 отсутствуют;
       X^{10}, X^{11}, X^{12} и X^{13} представляют Asp;
       X<sup>14</sup> представляет Lys;
       X<sup>15</sup> представляет Asn;
       X<sup>16</sup> представляет Lys;
       X<sup>17</sup> представляет Arg;
       X<sup>18</sup> представляет Asn.
       11. Белок по п.10, имеющий аминокислотную последовательность, соответствующую SEQ ID NO: 6
или SEQ ID NO: 21.
       12. Белок по п.1, где
       X<sup>1</sup> представляет Меt или N-формил-Меt;
       X^2, X^3, X^4, X^5, X^6, X^7, X^8 и X^9 представляют His; X^{10}, X^{11}, X^{12} и X^{13} представляют Asp; X^{14} представляет Lys;
       X<sup>15</sup> представляет Аsp;
       X^{16} представляет Меt; X^{17} представляет His;
       X<sup>18</sup> представляет Asp.
       13. Белок по п.12, имеющий аминокислотную последовательность, соответствующую SEQ ID NO: 7
или SEQ ID NO: 22.
       14. Белок по п.1, где
       X<sup>1</sup> представляет Меt или N-формил-Меt;
       X^2, X^3, X^4, X^5, X^6, X^7, X^8 и X^9 представляют His; X^{10}, X^{11}, X^{12} и X^{13} представляют Asp;
       X<sup>14</sup> представляет Lys;
       X<sup>15</sup> представляет Asn;
       X<sup>16</sup> представляет Lys;
       X<sup>17</sup> представляет Arg;
       X<sup>18</sup> представляет Asn.
       15. Белок по п.14, имеющий аминокислотную последовательность, соответствующую SEQ ID NO: 8
или SEQ ID NO: 23.
       16. Белок по любому из предшествующих пунктов, где указанный белок является антиоксидантом.
```

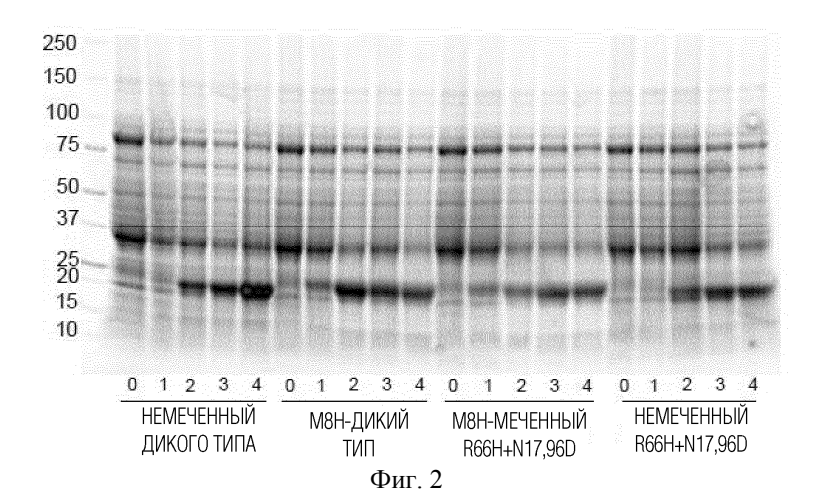
- 17. Белок по любому из предшествующих пунктов, где указанный белок связывает гем.
- 18. Фармацевтическая композиция, содержащая белок по любому из пп.1-17, и один или более фармацевтически приемлемых эксципиентов.
  - 19. Применение белка по любому из пп.1-17 в качестве антиоксиданта в медицине.

```
gi|4502067|4ENOBEK | LGEGATEAEISMTSTRNRKGV CEETSGAVEKTOTOGKFLVEKSKNVITME 100 gi|197102775|OPAHFYTAHF LGEGATEAEISMTSTRNRKGV CEETSGAVEKTOTOGKFLVEKSKNVITME 100
gi|4502067|YENOBEK SYVVHTN*DEYAIFLTKKFSRHEGPTITAKIYGRAPQLETLLQDFRVVA 150
gi|197102775|OPAHCYTAHC SYVVHTN*DEYAIFLTKKFSRHEGPTITAKIYGRAPQLETLLQDFRVVA 150
gi|403266141|6ENVH5NOBESSHASYVAHTNYEEYAIFLTKKFSRHEGPTITAKIYGREPQLESLLQDFRVVA 150
gi|311703|Mb|UJb SYVVHTN*DEYAIFLTKKFSRHEGPTITAKIYGREPQLESLLQEFRVA 149
gi|655878696|KPONIK SYVVHTN*DEYAIFLTKKFSRHEGPTITAKIYGREPQLESLLQEFRVA 150
gi|472354701|MOPX SYVVHTN*DEYAIFLTKKFSRHEGPTITAKIYGREPQLESLLQEFREMA 150
gi|471363267|NAMAHTNH SYVVHTN*DEYAIFLTKKFSRHEGPTITAKIYGRQPQVESLLEEFRELA 150
gi|471363267|NAMAHTNH SYVVHTN*DEYAIFLTKKFSR-YGLTITAKIYGRQPQVESLLEEFRELA 149
gi|147805774|NACHIKA SYVVHTN*DEYAVILMKKTSN-FGPTTTLKIYGRSPELFEELFAFQQLA 149
gi|147905774|NACHIKA SYVVHTN*DEYSVVMQNYKS-SMSTTVRIYGRSPELFEELFAFQQLA 149
gi|1091607|KAMBANA AYVVHTN*DEYAIIIMSKQKTSGENSTSLKIYSPTMSVSDTVLDDFKTLV 148
 qi | 4502067 | ЧЕЛОВЕК
                                                   ggvgipedsiftmadrgecvfgeqepepilipr--- 183 ИДЕНТИЧНОСТЬ: 100%
gi|197102775|OPAHTYTAHT QGVGIPEDSIFTMADRGE QVFGEQEPEPILIPR--- 183
gi|403266141|GETMYD905E3B9HAQGVGIPEDSIFTMANRGE QVFGEQEPQPILHRR--- 183
                                                                                                                                                           88.5%
75.8%
                                                                                                                                                          83.1%
                                                                                                                                                           77.6%
                                                                                                                                                          R1 48
                                                                                                                                                          50.3%
                                                                                                                                                          50.0%
                                                  LAC SIPEDSIVMLPNNGE SPGEIEVRPRR----- 179
RHQ MSDDTIIIKQNKGD SPGEQVEEAPSQPEPKR 184
48.0%
```

Фиг. 1



М8Н4DK-МЕЧЕННЫЙ



В

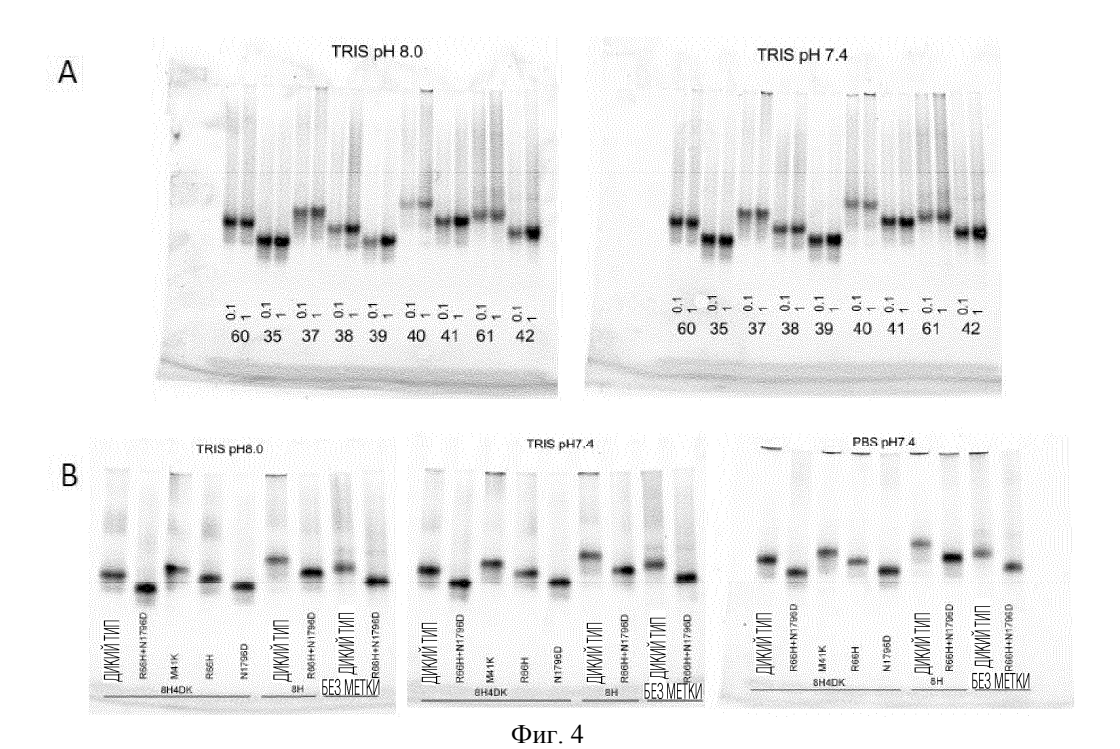
ВЫХОД				
#	ВАРИАНТ	КОЛИЧЕСТВО (мг)		
60	M8H4DK-wt (rhA1M)	36.7		
35	M8H4DK-R66H+N17,96D	30.6		
37	M8H4DK-M41K	42.5		
38	M8H4DK-R66H	39.4		
39	M8H4DK-N17,96D	48.6		
40	M8H-wt	23.2*		
41	M8H-R66H+N17,96D	57.6		
61	M-wt	22.3		
42	M-R66H+N17,96D	37.4		
	60 35 37 38 39 40 41 61	# BAPVAHT 60 M8H4DK-wt (rhA1M) 35 M8H4DK-R66H+N17,96D 37 M8H4DK-M41K 38 M8H4DK-R66H 39 M8H4DK-N17,96D 40 M8H-wt 41 M8H-R66H+N17,96D 61 M-wt		

<sup>\*</sup> ОЧЕВИДНЫЙ НИЗКИЙ ВЫХОД ВАРИАНТА «40» ВЫЗВАН ТЕХНИЧЕСКОЙ ОШИБКОЙ ПРИ ОЧИСТКЕ

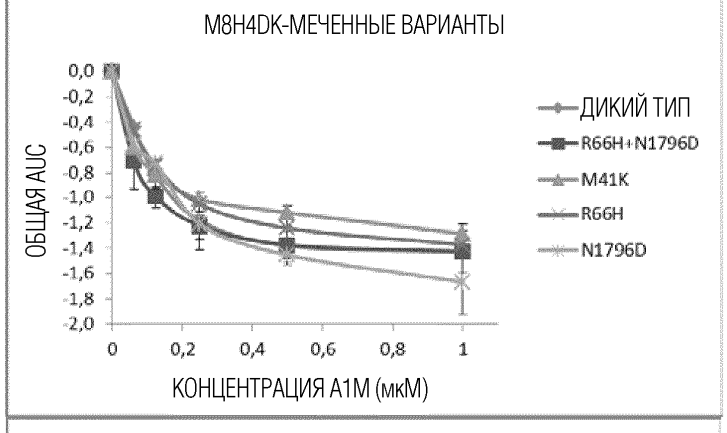
41	1CTOTA	
	#	ОСНОВНАЯ
250		ПОЛОСА (%)
150	60	99.7
100	35	99.6
75	37	99.5
50	38	99.7
37	39	99.6
25 20	40	97.2
15.	41	99.5
10	61	87.6
std 35 37 38 39 40	<b>11 42 60 61</b> 42	93.8

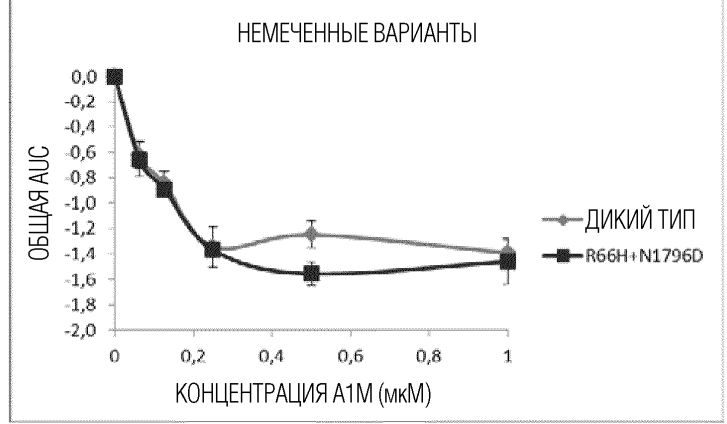
$c^{\perp}$				AFPEFA	ЯИД/		
			100	_ =	#	ПОЛОСА КРУПНЫХ	ПОЛОСА МОНО-
			Maa			АГРЕГАТОВ (%)	MEPA (%)
					60	0.6	23
					35	0.2	45
					37	1.4	36
					38	0.4	26
		-			39	0.4	60
					40	4.3	17
std	std 35	1 35 37 38 39 40 41 42 60 61	41	0.5	32		
					61	5.4	14
				on Colonia	42	1.9	36

Фиг. 3



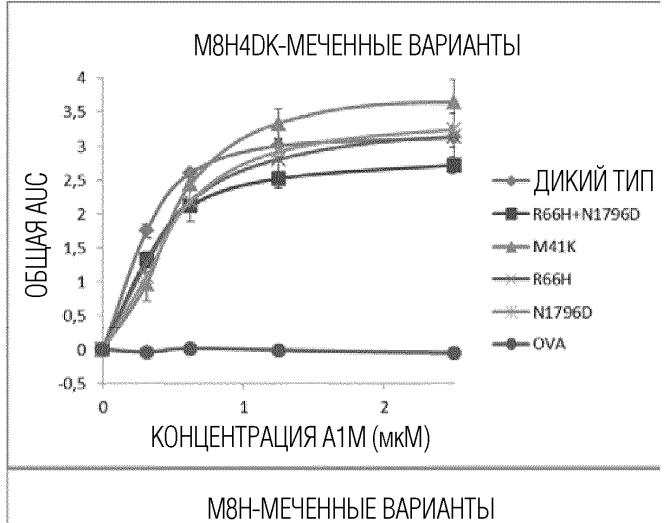
#### **А** АНАЛИЗ ВОССТАНОВЛЕНИЯ ABTS М8Н-МЕЧЕННЫЕ ВАРИАНТЫ 0,0 -0,2 -0,4 ОБЩАЯ АИС -0,6 -0,8 -1,0 **—** ДИКИЙ ТИП -1,2 -1,4 R66H+N1796D -1,6 -1,8 -2,0 0,2 0,4 0,6 0,8 КОНЦЕНТРАЦИЯ А1М (мкМ)

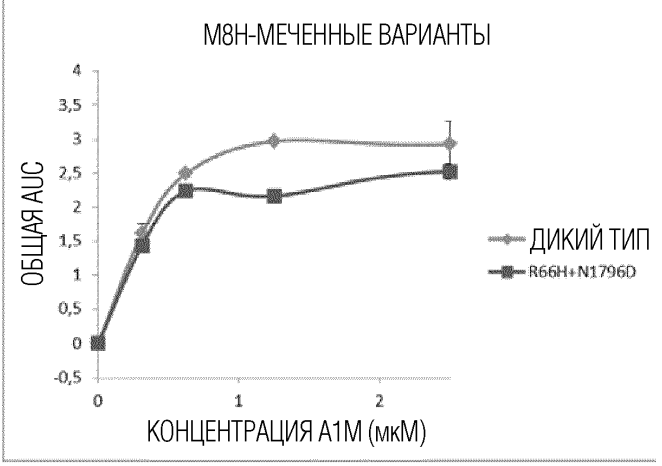


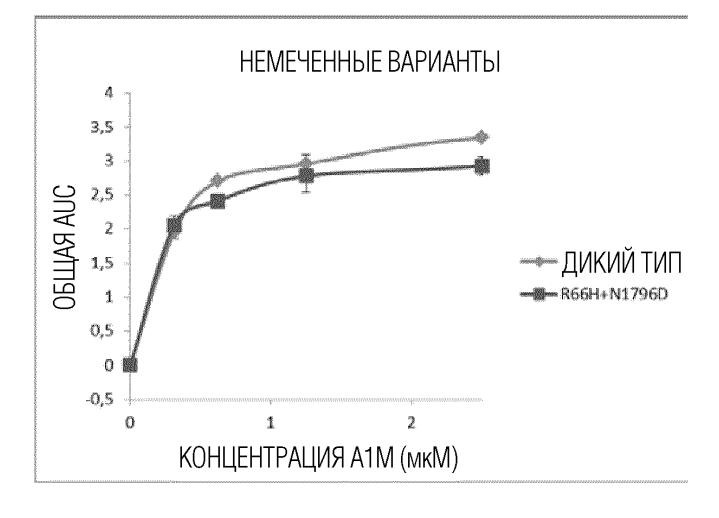


### **в** АНАЛИЗ ORAC М8H4DK-МЕЧЕННЫЕ ВАРИАНТЫ ТРОЛОКС ЭКВ В ВИДЕ % ОТ М8Н4DK-WT 180 160 140 120 100 80 60 40 20 0 THEMTH REGHALTAGO MAIK Q.GGH ONE ВЛИЯНИЕ РАЗЛИЧНЫХ МЕТОК ТРОЛОКС ЭКВ В ВИДЕ % ОТ М8Н4DK-WT 180 160 140 120 100 **■** ДИКИЙ ТИП 80 ■ R66H+N1796D 60 40 20 0 M8H4DK M8H untag.

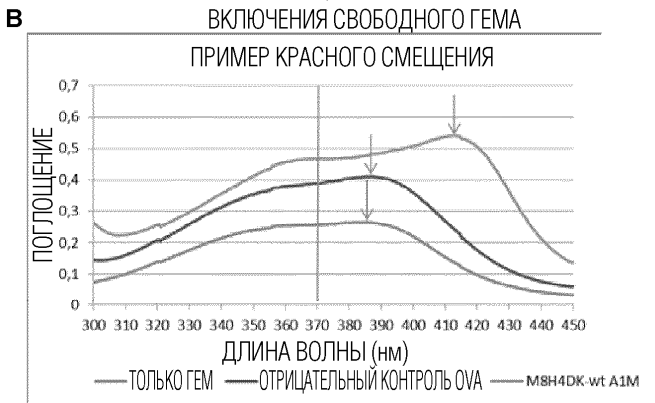
## **А** АНАЛИЗ ВОССТАНОВЛЕНИЯ ЦИТОХРОМА С







# АНАЛИЗ КРАСНОГО СМЕЩЕНИЯ ЗА СЧЕТ ВОССТАНОВЛЕНИЯ/

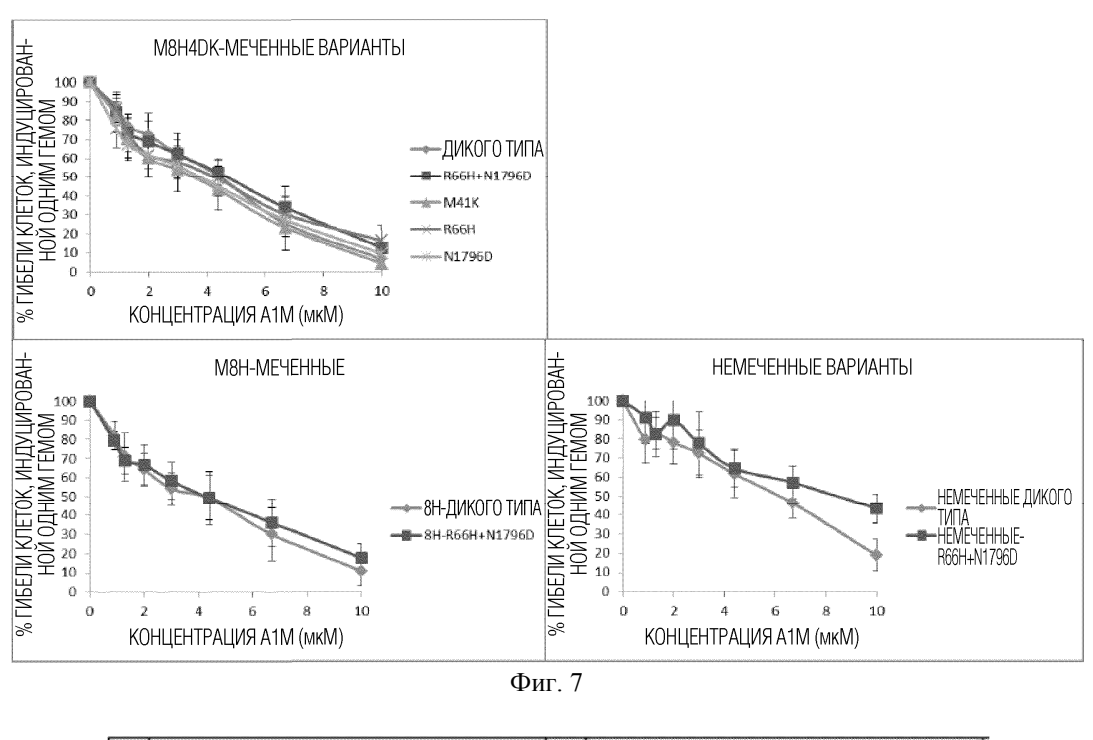


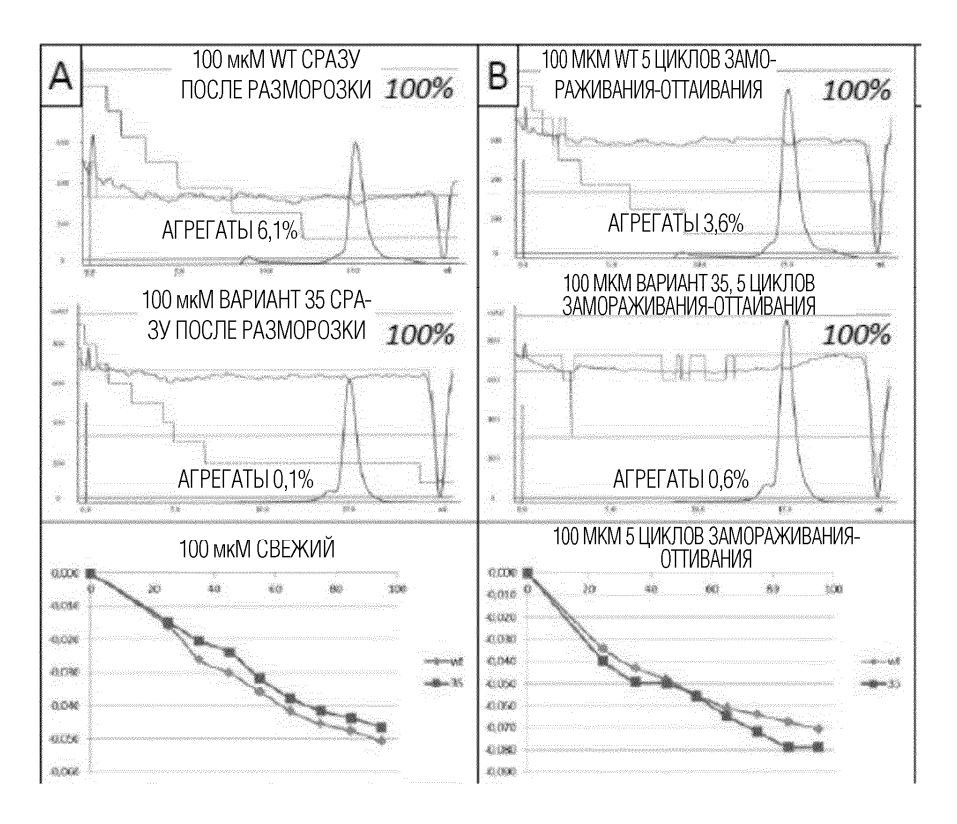
#	ВАРИАНТ	МАКСИМАЛЬНОЕ (370-450 нм)	СООТНОШЕ- НИЕ 413:386
	ТОЛЬКО ГЕМ	386	0.52
	OVA	387	0.59
60	M8H4DK-wt (rhA1M)	413	1.13
35	M8H4DK-R66H+N17,96D	411	1.11
37	M8H4DK-M41K	415	1.27
38	M8H4DK-R66H	412	1.12
39	M8H4DK-N17,96D	413	1.15
40	M8H-wt	415	1.34
41	M8H-R66H+N17,96D	415	1.41
61	M-wt	386	0.87
42	MR66H+N1796D	387	0.76

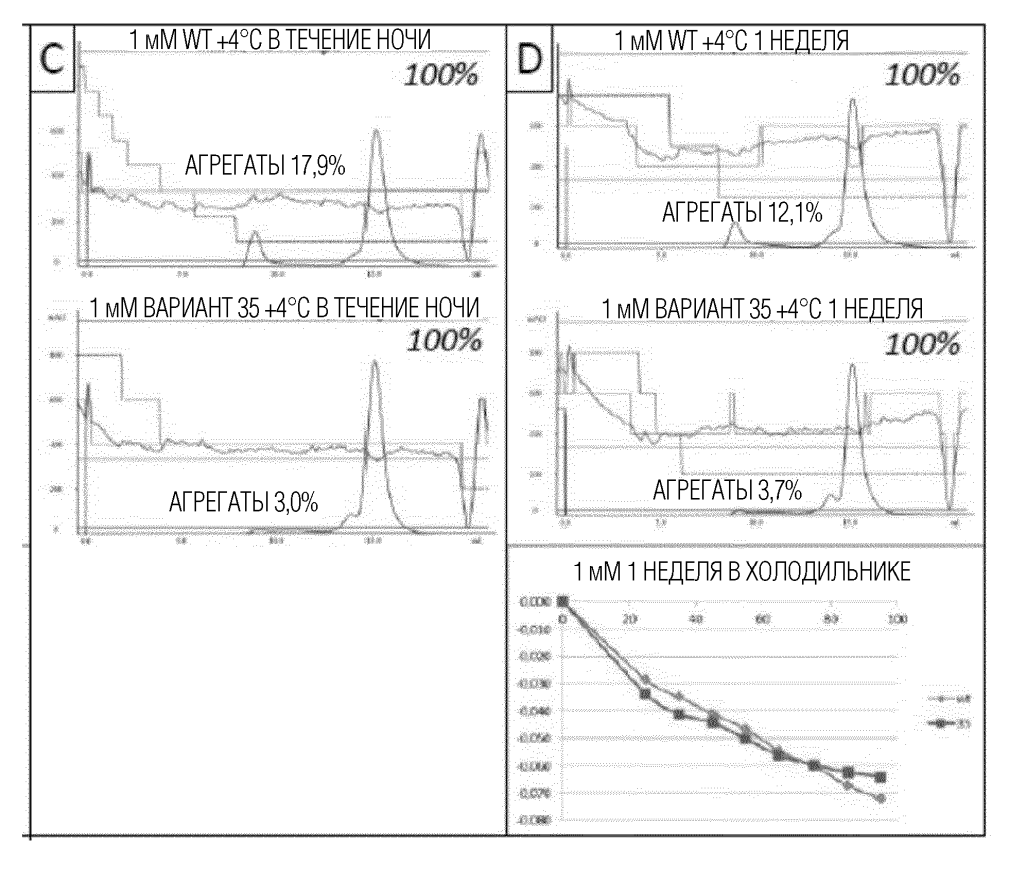
#### С СВЯЗЫВАНИЕ С ГЕМ-АГАРОЗОЙ

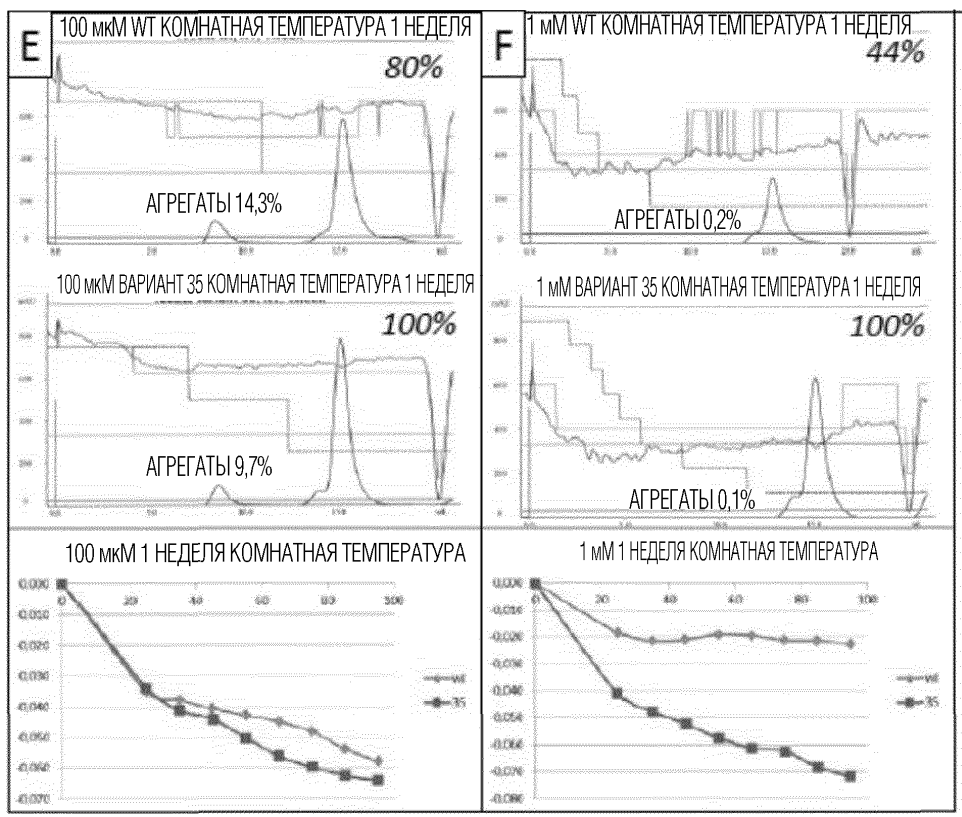
	1	
#	ВАРИАНТ	мкМ СВЯЗАННО-
		ГО/мкМ БЕЛКА
	OVA	0.008
60	M8H4DK-wt (rhA1M)	0.71
35	M8H4DK-R66H+N17,96D	0.72
37	M8H4DK-M41K	0.76
38	M8H4DK-R66H	0.66
39	M8H4DK-N17,96D	0.69
40	M8H-wt	0.68
41	M8H-R66H+N17,96D	0.72
61	M-wt	0.68
42	MR66H+N17,96D	0.66

Фиг. 6

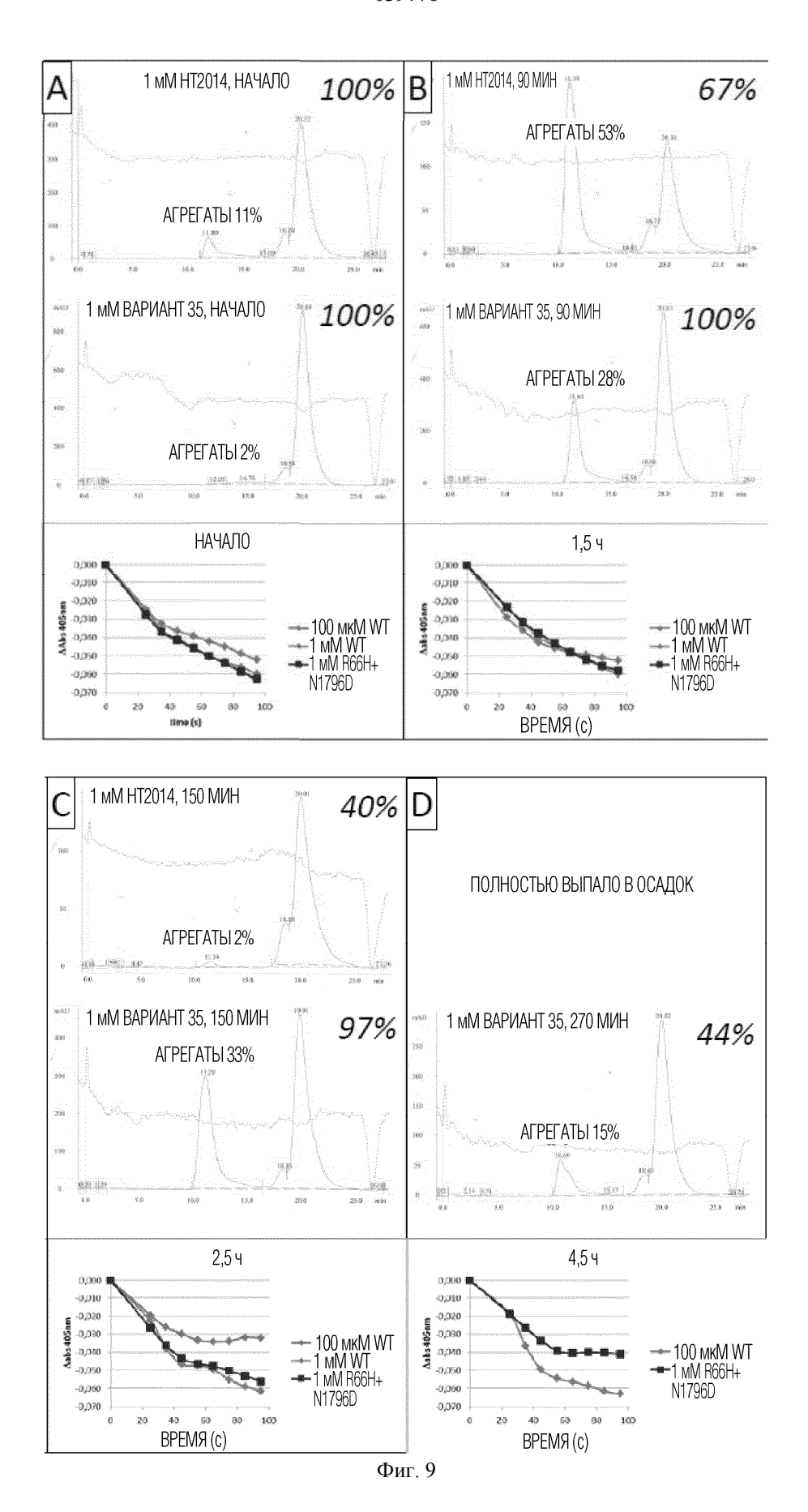


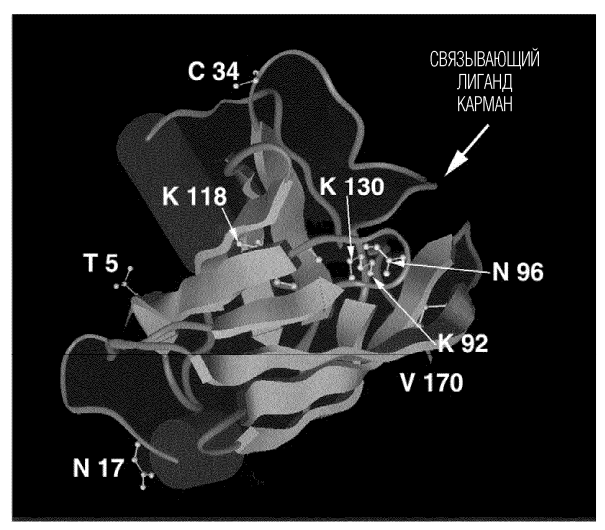




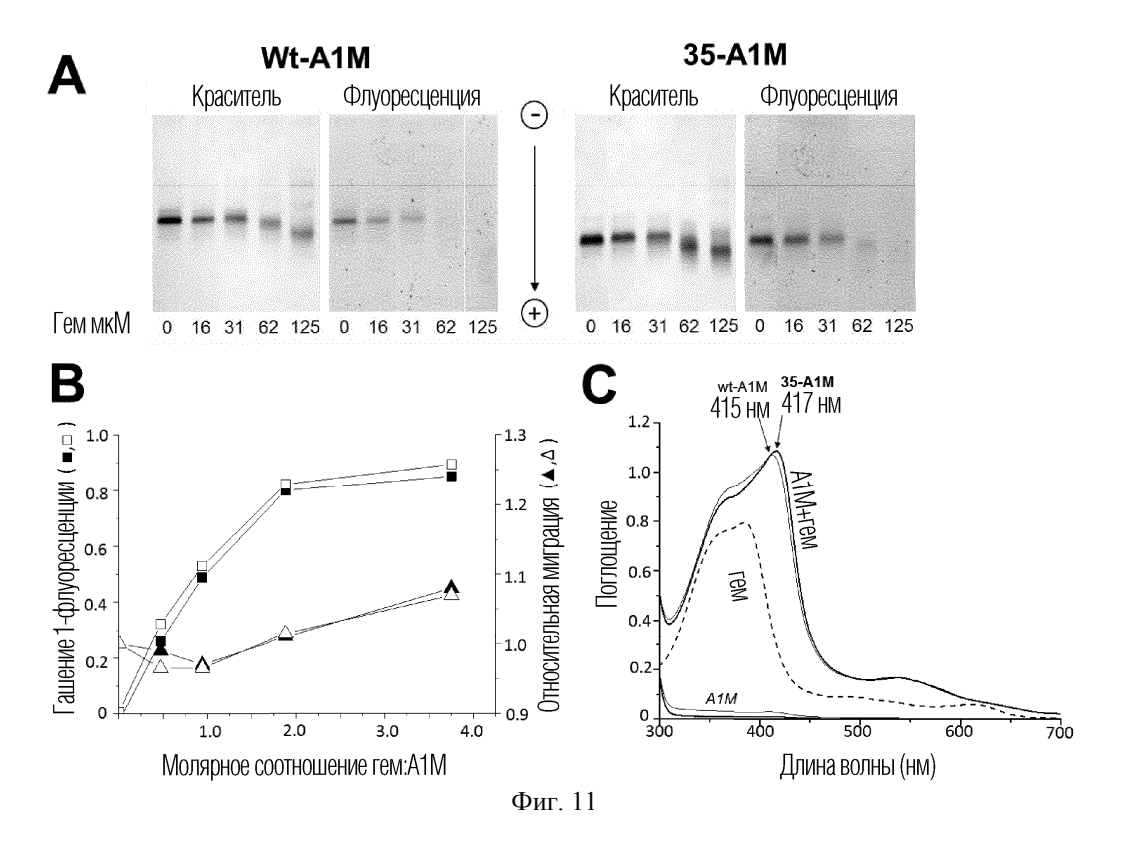


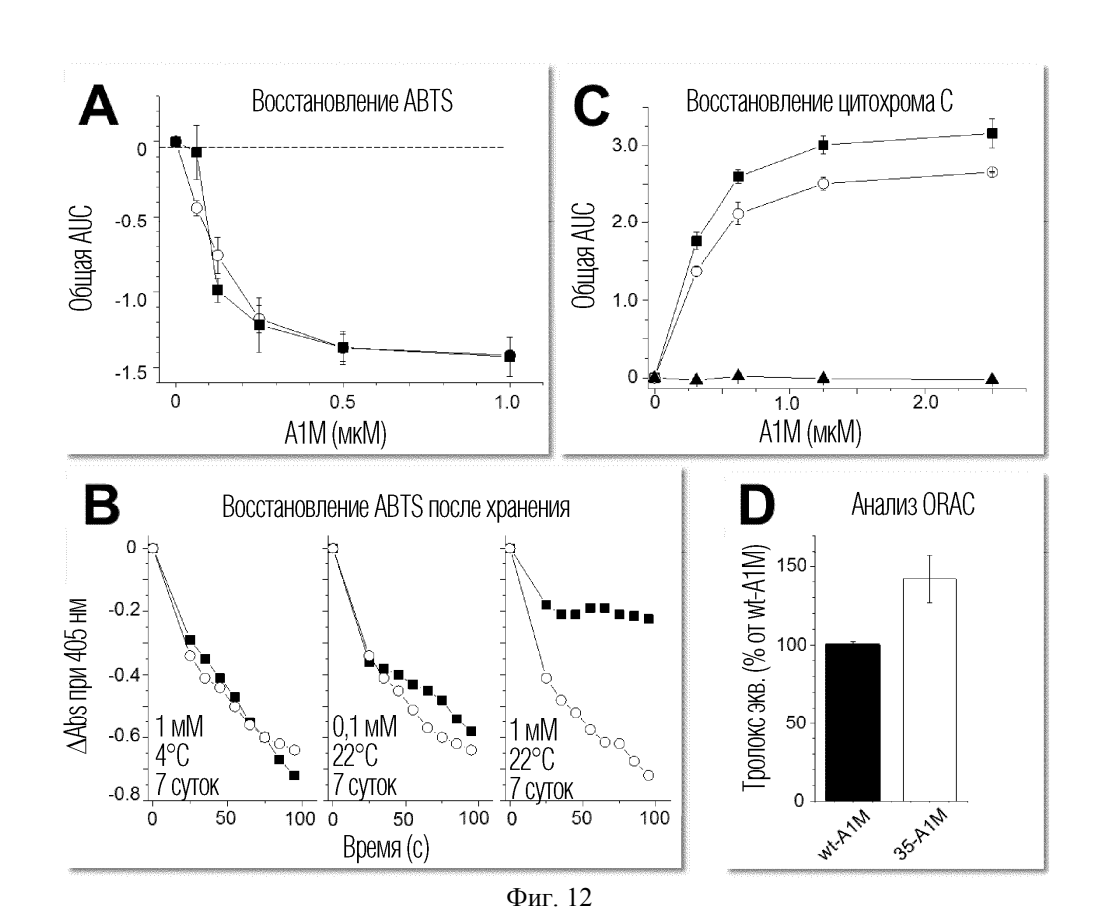
Фиг. 8

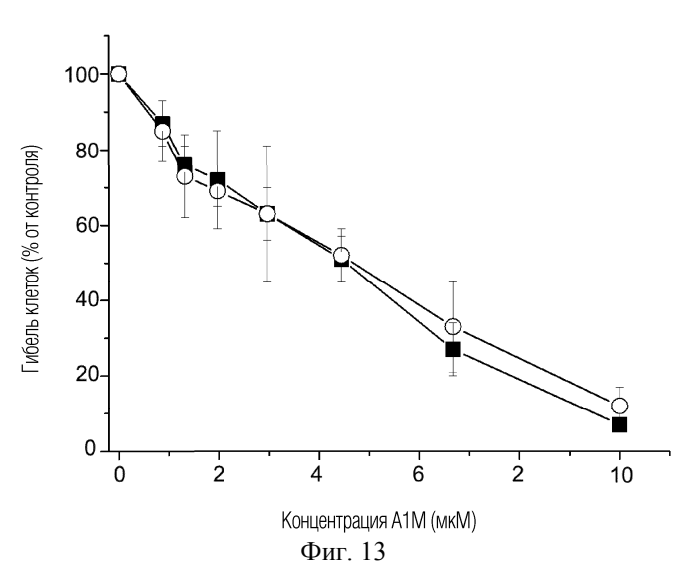


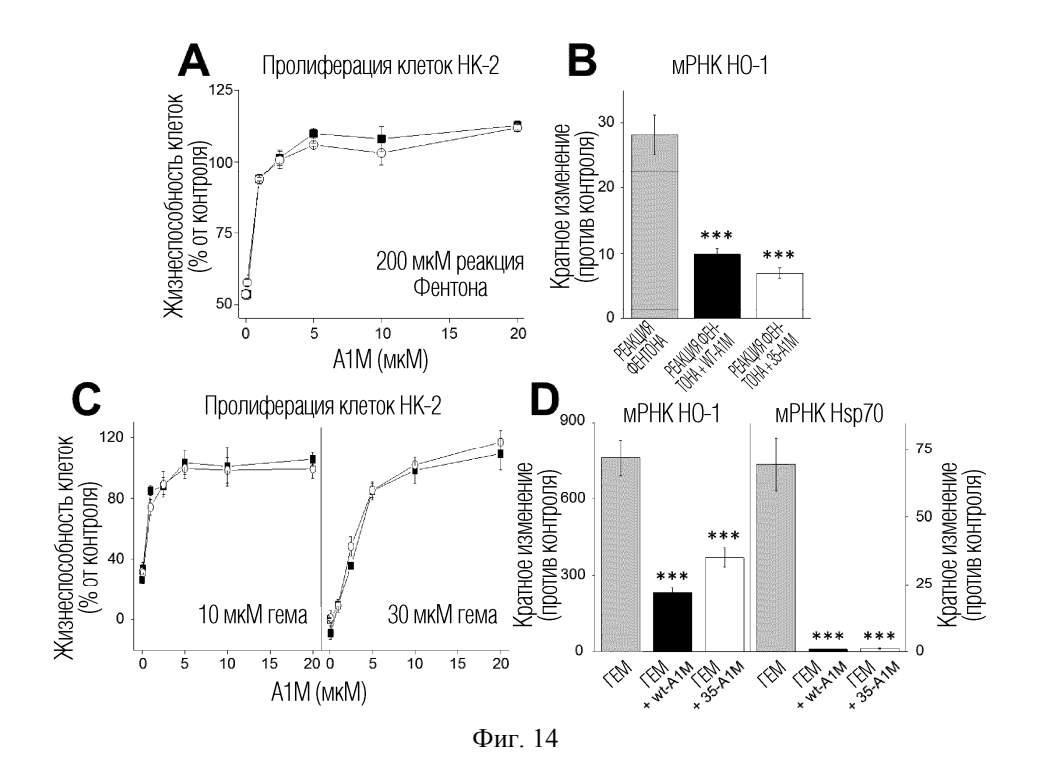


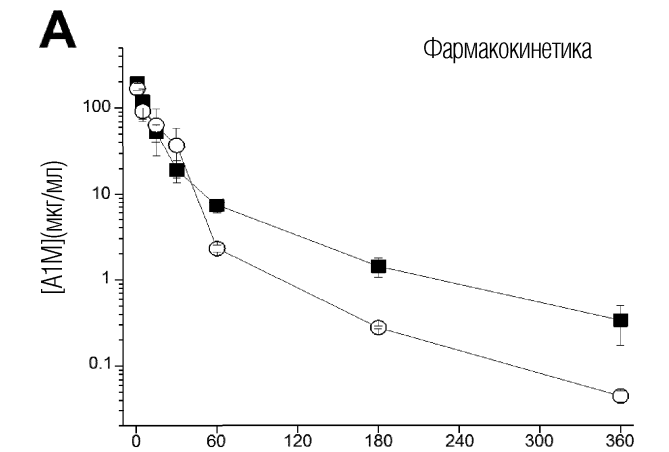
Фиг. 10

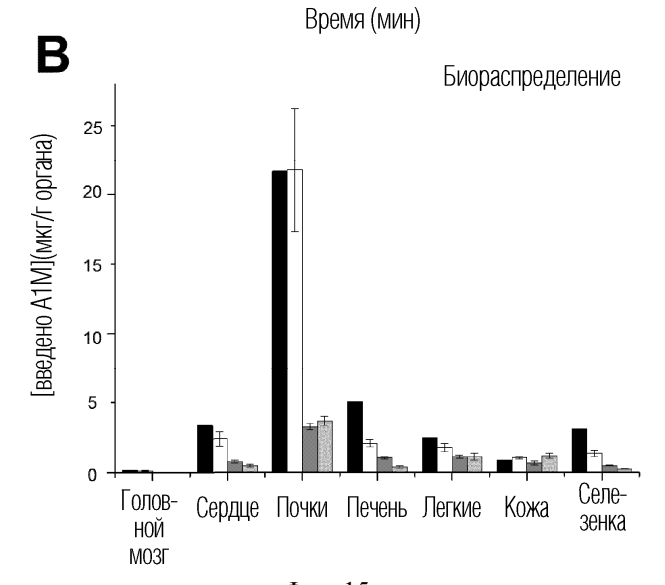




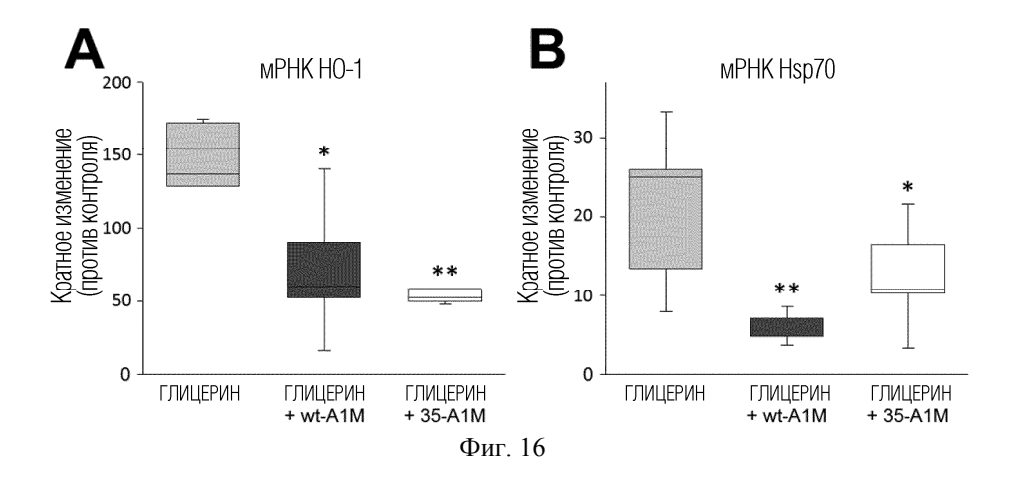








Фиг. 15



Евразийская патентная организация, ЕАПВ Россия, 109012, Москва, Малый Черкасский пер., 2